



## รายงานวิจัยฉบับสมบูรณ์

การลดสีน้ำทึ้งจากอุตสาหกรรมเยื่อและกระดาษโดยถังปฏิกิริณ์เยื่อกรองร่วมกับ<sup>1</sup>  
เชื้อราขาวสายพันธุ์ในประเทศไทย

Decolorization of Pulp and Paper Mill Effluent by the Combination of  
Membrane Bioreactor (MBR) and White-rot Fungi in Thailand

โดย

ต่อพงศ์ กรีราชาติ และ ชาติ เจียมไชยศรี

สิงหาคม 2555

สัญญาเลขที่ MRG5180107

## รายงานวิจัยฉบับสมบูรณ์

การลดสีน้ำทึ้งจากอุตสาหกรรมเยื่อและกระดาษโดยถังปฏิกรณ์เยื่อกรองร่วมกับ<sup>1</sup>  
เชื้อราขาวสายพันธุ์ในประเทศไทย

Decolorization of Pulp and Paper Mill Effluent by the Combination of  
Membrane Bioreactor (MBR) and White-rot Fungi in Thailand

โดย

ต่อพงศ์ กรีราชาติ  
สาขาวิชาวิศวกรรมสิ่งแวดล้อม วิทยาลัยพลังงานและสิ่งแวดล้อม มหาวิทยาลัยพะเยา<sup>2</sup>  
ชาติ เจียมไชยศรี  
ภาควิชาวิศวกรรมสิ่งแวดล้อม คณะวิศวกรรมศาสตร์ มหาวิทยาลัยเกษตรศาสตร์

สนับสนุนโดยสำนักงานกองทุนสนับสนุนการวิจัย

(ความเห็นในรายงานนี้เป็นของผู้วิจัย สกว. ไม่จำเป็นต้องเห็นด้วยเสมอไป)

## กิตติกรรมประกาศ

โครงการวิจัยเรื่อง “การลดสีน้ำทึ้งจากอุตสาหกรรมเยื่อและกระดาษโดยถังปฏิกรณ์เยื่อกรองร่วมกับเชื้อราข้าวสาปพันธุ์ในประเทศไทย” ได้รับการสนับสนุนจากทุนพัฒนาศักยภาพในการทำงานวิจัยของอาจารย์รุ่นใหม่ประจำปี 2551 จากสำนักงานสนับสนุนงานวิจัย (สกว.) ผู้ทำการวิจัยขอขอบคุณเป็นอย่างสูงสำหรับรองศาสตราจารย์ ดร.ชาติ เจียมไชยศรี ภาควิชาวิศวกรรมสิ่งแวดล้อม มหาวิทยาลัยเกษตรศาสตร์ สำหรับคำแนะนำในการดำเนินงานวิจัย ดร.พิลาณี ไวยณอมสัตย์ หน่วยวิจัยเทคโนโลยีเอนไซม์และการจัดการของเสียอันตราย สถาบันวิจัยและพัฒนาผลิตภัณฑ์ทางการเกษตรและอุตสาหกรรมเกษตร มหาวิทยาลัยเกษตรศาสตร์ สำหรับความอนุเคราะห์เชื้อราข้าวและอุปกรณ์ต่างๆ ในการดำเนินงานวิจัยครั้งนี้ และ วิทยาลัยพลังงานและสิ่งแวดล้อม มหาวิทยาลัยพะเยา ที่ให้ความสละเวทั้งหมด

Project Code: MRG5180107

Project Title: Decolorization of Pulp and Paper Mill Effluent by the Combination of Membrane Bioreactor (MBR) and White-rot Fungi in Thailand

## Abstract

This study focused on a white-rot fungus in Thailand (*Lentinus strigosus*) producing a ligninolytic enzyme, in a simple medium indicated the production of laccase (Lac), manganese peroxidase (MnP) and lignin peroxidase (LiP) in the secondary growth phase. Samples were collected periodically for the measurement of COD, color, Lac, MnP and LiP activity. Preliminary study showed cellobiose and L-asparagine as the suitable nutrient sources for highest Lac and MnP production. The highest Lac activity (6947.26 unit/L) and MnP activity (409.49 unit/L) was detected under optimal conditions. For the experimental of pulp and paper mill effluents (initial COD and color approximate  $210\pm10.5$  mg/L and  $500\pm20.0$  unit, respectively) in Membrane bioreactor (MBR) with white-rot fungus, *Lentinus strigosus* efficiently performed more than 80% COD treatment efficiency and 85% decolorization, respectively. Therefore, the result indicated that *Lentinus strigosus* was able clearly, to breakdown the lignin and its derivatives in pulp and paper mill effluents and the Lac and MnP activities were considered as a major lignin-degradation enzyme in reaction.

รหัสโครงการ: MRG5180107

ชื่อโครงการ: การลดสีน้ำทึบจากอุตสาหกรรมเยื่อและกระดาษโดยถังปฏิกิริณ์เยื่อกรองร่วมกับเชื้อราก  
สายพันธุ์ในประเทศไทย

## บทคัดย่อ

งานวิจัยครั้งนี้ มุ่งเน้นที่จะศึกษาพฤติกรรมการผลิตเอนไซม์สำหรับย่อยสลายลิกนินจากเชื้อราขาวสายพันธุ์ในประเทศไทย (เน้นเชื้อราขาวสายพันธุ์ *Lentinus strigosus*) โดยเอนไซม์ที่สนใจและทำการศึกษาในช่วงการเจริญเติบโตแบบทุติยภูมิของเชื้อราขาว *Lentinus strigosus* ได้แก่ เอนไซม์แลคเคส (Lac) เอนไซม์แมงกานีส เปอร์ออกซิเดส (MnP) และเอนไซม์ลิกนินเปอร์ออกซิเดส (LiP) ซึ่งในการศึกษาจะเก็บตัวอย่างน้ำเสียจากอุตสาหกรรมเยื่อและกระดาษเพื่อวิเคราะห์ประสิทธิภาพในการบำบัดของเชื้อราขาวมาวิเคราะห์ปริมาณสีซีโอดี และกิจกรรมของเอนไซม์ Lac MnP และ LiP จากผลการศึกษา พบว่า แหล่งคาร์บอนและไนโตรเจนที่เหมาะสมสำหรับการผลิตเอนไซม์เพื่อย่อยสลายลิกนินในน้ำเสียจากโรงงานอุตสาหกรรมเยื่อและกระดาษได้สูงสุด คือ น้ำตาลเซลโลไบโอส และ L-Asparagine ตามลำดับ ซึ่งเมื่อใช้สารดังกล่าวเป็นแหล่งคาร์บอนและไนโตรเจน เชื้อรา *Lentinus strigosus* จะผลิตเอนไซม์ Lac และ MnP ได้สูงสุดเท่ากับ 6947.3 หน่วยต่อลิตร และ 409.49 หน่วยต่อลิตร ตามลำดับ และในสภาวะดังกล่าวไม่พบการผลิต LiP นอกจากนี้เมื่อทำการทดสอบประสิทธิภาพในการบำบัดน้ำทึบจากโรงงานอุตสาหกรรมเยื่อและกระดาษ (ซีโอดีเริ่มต้น  $210 \pm 10.5$  มิลลิกรัมต่อลิตร และปริมาณสีเริ่มต้น  $500 \pm 20.0$  หน่วย) โดยเชื้อราขาว *Lentinus strigosus* ภายในถังปฏิกรณ์เยื่อกรอง พบว่า ระบบดังกล่าวมีประสิทธิภาพในการบำบัดสารอินทรีย์ในรูปซีโอดีและสีได้มากกว่าร้อยละ 80.0 และ 85.0 ตามลำดับ ดังนั้น จากผลการทดลองดังกล่าวแสดงให้เห็นว่าเชื้อราขาว *Lentinus strigosus* สามารถที่จะผลิตเอนไซม์เพื่อย่อยสลายลิกนินและอนุพันธุ์ของลิกนินที่ปนเปื้อนอยู่ในน้ำทึบจากอุตสาหกรรมเยื่อและกระดาษได้อย่างมีประสิทธิภาพ

# สารบัญ

หน้า

หน้าปก

กิตติกรรมประกาศ

Abstract

บทคัดย่อ

สารบัญ

สารบัญรูป

สารบัญตาราง

บทที่ 1 บทนำ

1

บทที่ 2 การทบทวนวรรณกรรม

3

    น้ำเสียงและลักษณะสมบัติของน้ำเสียงจากอุตสาหกรรมเยื่อและกระดาษ

3

    เข็อราขวะและการย่ออยสลายลิกนินด้วยเข็อราขวะ

5

    เอนไซม์ย่ออยสลายลิกนิน

10

    ปัจจัยที่มีผลต่อการผลิตเอนไซม์ย่ออยสลายลิกนินของเข็อราขวะ

13

    การคัดแยกสายพันธุ์เข็อราขวะ

16

    การบำบัดน้ำเสียงด้วยกระบวนการถังปฏิกรณ์เยื่อกรอง

19

    ปัจจัยที่ส่งผลต่อการทำางของเมมเบรนภายในถังปฏิกรณ์เยื่อกรอง

22

บทที่ 3 วิธีดำเนินการวิจัย

25

บทที่ 4 ผลและอภิปรายผลการวิจัย

32

    การศึกษาชนิดของธาตุอาหารที่เหมาะสมต่อการผลิตเอนไซม์ย่ออยสลายลิกนิน

32

    ของเข็อราขวะสายพันธุ์ *L. strigosus*

    การศึกษาองค์ประกอบของอาหารเลี้ยงเข็อที่เหมาะสมต่อการผลิตเอนไซม์

40

    ย่ออยสลายลิกนินของ *L. strigosus*

    การทดสอบการบำบัดน้ำเสียงที่ป่นเปื้อนลิกนินโดยเอนไซม์ย่ออยสลายลิกนิน

45

    ของ *L. strigosus*

## สารบัญ (ต่อ)

หน้า

บทที่ 4 (ต่อ)

การศึกษาการบำบัดสีจากน้ำทึ้งอุตสาหกรรมเยื่อและกระดาษของเชื้อรากขาว 46

*L. strigosus* ภายในถังปฏิกรณ์เยื่อกรอง

บทที่ 5 สรุปผลการวิจัย 52

บทที่ 6 เอกสารอ้างอิง 54

## สารบัญรูป

หน้า

รูปที่ 2.1	โคมไฟ tro 外格栅ขององค์ประกอบที่พับในน้ำทึ้งของโรงงานอุตสาหกรรมเยื่อและกระดาษ	5
รูปที่ 2.2	โครงสร้างของไม้เลกุลลิกนิน	6
รูปที่ 2.3	กลไกการทำงานของเอนไซม์ลิกนินเปอร์ออกซิเดส	11
รูปที่ 2.4	กลไกการทำงานของเอนไซม์แมงกานีสเปอร์ออกซิเดส	12
รูปที่ 2.5	กลไกการทำงานของเอนไซม์แลคเคสเมื่อออกซิไดซ์สับสเตรตประเภทฟีนอลิก	13
รูปที่ 2.6	ขั้นตอนการคัดเลือกสายพันธุ์เชื้อราขาว	17
รูปที่ 2.7	ลักษณะดอกเห็ดของ <i>L. strigosus</i>	18
รูปที่ 2.8	ประเภทของเมมเบรนที่มีการใช้งาน (a) เมมเบรนชนิด Submersed/Immersed MBR และ (b) เมมเบรนชนิด Side Stream MBR	20
รูปที่ 2.9	ตำแหน่งการติดตั้งเยื่อกรอง (a) ติดตั้งภายใน และ (b) ติดตั้งภายนอกถังปฏิกรณ์	23
รูปที่ 2.10	หลักการทำงานของถังปฏิกรณ์เยื่อกรอง	24
รูปที่ 3.1	ผังการทำงานของระบบถังปฏิกรณ์เยื่อกรองที่ใช้ในการทดลอง	30
รูปที่ 3.2	แผนผังขั้นตอนการทดลองในระบบถังปฏิกรณ์เยื่อกรอง	31
รูปที่ 4.1	การเจริญของ <i>L. strigosus</i> หรือเห็ดเพ็กในระยะสร้างเส้นใยบนอาหาร PDA ที่เวลา 5 วัน	32
รูปที่ 4.2	ความสัมพันธ์ระหว่างน้ำหนักเซลล์แห้งและกิจกรรมเอนไซม์แลคเคสของ <i>L. strigosus</i>	33
รูปที่ 4.3	ความสัมพันธ์ระหว่างน้ำหนักเซลล์แห้งและกิจกรรมเอนไซม์แมงกานีสเปอร์ออกซิเดส ของ <i>L. strigosus</i>	34
รูปที่ 4.4	ความสัมพันธ์ระหว่างกิจกรรมเอนไซม์แลคเคส (ยูนิต/ลิตร) ที่ผลิตโดย <i>L. strigosus</i> เมื่อเพาะเลี้ยงในอาหาร MM และระยะเวลา (วัน) ที่มีแหล่งคาร์บอนต่างชนิดกัน	35
รูปที่ 4.5	ความสัมพันธ์ระหว่างกิจกรรมเอนไซม์แมงกานีสเปอร์ออกซิเดส (ยูนิต/ลิตร) ที่ผลิตโดย <i>L. strigosus</i> เมื่อเพาะเลี้ยงในอาหาร MM และระยะเวลา (วัน) ที่มีแหล่งคาร์บอนต่างชนิดกัน	37
รูปที่ 4.6	ความสัมพันธ์ระหว่างกิจกรรมเอนไซม์แลคเคส (ยูนิต/ลิตร) ที่ผลิตโดย <i>L. strigosus</i> เมื่อเพาะเลี้ยงในอาหาร MM และระยะเวลา (วัน) ที่มีแหล่งไนโตรเจนต่างชนิดกัน	38

## สารบัญรูป (ต่อ)

หน้า

รูปที่ 4.7	ความสัมพันธ์ระหว่างกิจกรรมเอนไซม์แมงกานีสเปอร์ออกซิเดส (ยูนิต/ลิตร) ที่ผลิตโดย <i>L. strigosus</i> เมื่อเพาะเลี้ยงในอาหาร MM และระยะเวลา (วัน) ที่มีแหล่งไนโตรเจนต่างชนิดกัน	39
รูปที่ 4.8	การจำจัดสีจากลิกนินโดย <i>L. strigosus</i> ที่เพาะเลี้ยงในอาหาร MM โดยแสดงความสัมพันธ์ ระหว่างร้อยละการจำจัดสี กิจกรรมเอนไซม์แลคเคส และกิจกรรมเอนไซม์แมงกานีสเปอร์ออกซิเดส	45
รูปที่ 4.9	ลักษณะของน้ำเสียก่อน (a) และหลังการบำบัด (b) ด้วยเชื้อราขาว <i>L. strigosus</i> ภายในถังปฏิกรณ์เยื่อกรองที่ใช้เมมเบรนที่มีขนาดรูพรุน 0.4 ไมครอน	48
รูปที่ 4.10	ผลของความดันคร่อมเมมเบรน (TMP) ที่ SRT แตกต่างกัน	49

## สารบัญตาราง

	หน้า
ตารางที่ 2.1 คุณภาพน้ำทึ้งจากโรงงานอุตสาหกรรมเยื่อและกระดาษและมาตราฐานคุณภาพน้ำทึ้งของกรมโรงงานอุตสาหกรรม	3
ตารางที่ 2.2 ชนิดของเอนไซม์ย่อยสลายลิกนินที่พบในเชื้อราขาว	7
ตารางที่ 3.1 ปัจจัยและระดับของปัจจัยที่กำหนด	28
ตารางที่ 4.1 orthogonal array แบบ $L_9(3^4)$	40
ตารางที่ 4.2 กิจกรรมเอนไซม์แลคเคสของ <i>L. strigosus</i> ในวันที่ 12 ของการทดลองภายใต้องค์ประกอบของอาหารเลี้ยงเชื้อที่แตกต่างกันตามการทดลองโดยวิธีทางกุชิ	41
ตารางที่ 4.3 กิจกรรมเอนไซม์แมงกานีสเปอร์ออกซิเดสของ <i>L. strigosus</i> ในวันที่ 12 ของการทดลองภายใต้องค์ประกอบของอาหารเลี้ยงเชื้อที่แตกต่างกันตามการทดลองโดยวิธีทางกุชิ	42
ตารางที่ 4.4 ค่าอิทธิพลเฉลี่ยที่ได้จากการผลิตเอนไซม์แลคเคสของ <i>L. strigosus</i> เมื่อแปรผันปัจจัยที่ระดับต่าง ๆ ของแต่ละการทดลอง	43
ตารางที่ 4.5 ค่าอิทธิพลเฉลี่ยที่ได้จากการผลิตเอนไซม์แมงกานีสเปอร์ของ <i>L. strigosus</i> เมื่อแปรผันปัจจัยที่ระดับต่าง ๆ ของแต่ละการทดลอง	44
ตารางที่ 4.6 ประสิทธิภาพในการบำบัดสีและสารอินทรีย์เมื่อทำการควบคุมระบบที่ SRT ต่างๆ	47
ตารางที่ 4.7 ความถี่ในการทำความสะอาดเมมเบรนที่ SRT แตกต่างกัน	51

## บทที่ 1

### บทนำ

กระบวนการบำบัดน้ำเสียอุตสาหกรรมในปัจจุบัน มุ่งเน้นที่จะกำจัดสารอินทรีย์ที่ละลายอยู่ในน้ำทึ้งในรูปของค่าบีโอดี แต่สำหรับน้ำทึ้งจากอุตสาหกรรมเยื่อและกระดาษปัญหาในด้านสีของน้ำทึ้งที่มีลักษณะเป็นสีน้ำตาลเข้มแม้ว่าจะผ่านการบำบัดโดยกระบวนการบำบัดน้ำเสียแล้วก็ตาม ยังคงเป็นปัญหาสำคัญและควรที่จะได้รับการปรับปรุงระบบบำบัดน้ำเสียให้มีประสิทธิภาพ สามารถลดความเข้มสีของน้ำทึ้งก่อนปล่อยออกสู่แหล่งรองรับน้ำทึ้งตามธรรมชาติ

สาเหตุสำคัญที่ทำให้น้ำทึ้งของอุตสาหกรรมเยื่อและกระดาษมีสีน้ำตาลเข้ม คือ สารประกอบลิกนิน (Lignin compound) และอนุพันธุ์ของลิกนิน (Lignin derivative compound) ที่ปนเปื้อนในน้ำทึ้ง โดยสารประกอบดังกล่าวจัดเป็นสารโมเลกุลใหญ่ มีโครงสร้างไม่แน่นอน ย่อยสลายทางชีวภาพได้ยาก และส่งผลกระทบโดยตรงต่อสภาพแวดล้อม ประกอบกับในปัจจุบันมีการส่งเสริมการประยุกต์ใช้กระบวนการทางชีวภาพร่วมกับกระบวนการบำบัดน้ำเสีย เนื่องจากเป็นเทคโนโลยีที่เป็นมิตรต่อสิ่งแวดล้อมและไม่ก่อให้เกิดสารเคมีตกค้างในระบบสิ่งแวดล้อม อีกทั้งประเทศไทยยังคงมีทรัพยากรทางธรรมชาติที่อุดมสมบูรณ์และมีความหลากหลายทางชีวภาพ เพื่อแก้ปัญหาดังกล่าวจึงได้มีการศึกษาวิธีการบำบัดสารประกอบลิกนิน และสารที่มีโครงสร้างคล้ายลิกนิน เช่น สีย้อม ทางชีวภาพอย่างกว้างขวาง งานวิจัยส่วนมากรายงานว่าจุลินทรีย์ทั้งแบคทีเรีย (Banat *et al.*, 1996) สาหร่าย (Mohan *et al.*, 2002) และรา (Wesenberg *et al.*, 2003) มีประสิทธิภาพในการบำบัดสีย้อมได้แตกต่างกัน อย่างไรก็ตามจุลินทรีย์เพียงกลุ่มเดียวที่มีรายงานว่ามีประสิทธิภาพสูงในการบำบัด มีความทนทานต่อความเป็นกรดได้มากกว่าจุลินทรีย์กลุ่มอื่น ๆ และไม่ก่อให้เกิดสารพิษตกค้าง ได้แก่ รากลุ่มไวต์ร็อท (White Rot Fungi; WRF) ซึ่งสามารถสร้างเอนไซม์ย่อยสลายลิกนิน (Ligninolytic enzyme) ได้ เอนไซม์ดังกล่าวสามารถย่อยสลายสารประกอบลิกนินและสารที่มีโครงสร้างคล้ายลิกนิน ราไวต์ร็อทที่มีรายงานว่ามีประสิทธิภาพในการบำบัด เช่น *Phanerochaete chrysosporium* (Moldes *et al.*, 2003; Radha *et al.*, 2005) *Trametes versicolor* (Swamy and Ramsay, 1999; Borchert and Libra, 2001) *Pleurotus ostreatus* (Novotny *et al.*, 2001; Palmieri *et al.*, 2005) *Ganoderma* sp. (Revankar and Lele, 2006) และ *Lentinus edodes* (Boer *et al.*, 2004) เป็นต้น

งานวิจัยนี้จึงมีแนวคิดที่ใช้ประโยชน์จากเชื้อราขาวโดยเฉพาะอย่างยิ่งสายพันธุ์ที่พบในประเทศไทย และมีความสามารถสูงในการย่อยสายลิกลินินและอนุพันธุ์ของลิกลินิน แต่เนื่องจากข้อจำกัดต่างๆ ของกระบวนการทางชีวภาพอาจมีข้อจำกัดต่อประสิทธิภาพของระบบบำบัดจึงพิจารณากระบวนการบำบัดให้สามารถประยุกต์ใช้งานกับกระบวนการบำบัดแบบถังปฏิกรณ์เยื่อกรองซึ่งเป็นเทคโนโลยีการบำบัดน้ำเสียที่มีประสิทธิภาพการบำบัดสูง

ดังนั้นวัตถุประสงค์หลักของงานวิจัยครั้งนี้ คือ การพัฒนากระบวนการบำบัดน้ำเสียขั้นสูงร่วมกับการใช้เทคโนโลยีชีวภาพ เพื่อประยุกต์ใช้สำหรับการบำบัดน้ำทิ้งที่เกิดขึ้นจากอุตสาหกรรมการผลิตเยื่อและกระดาษ โดยมุ่งเน้นทำการศึกษาวิจัยเพื่อ (1) หาชนิดและสายพันธุ์ของเชื้อราขาวภายในประเทศไทย ที่มีประสิทธิภาพในการย่อยสายลิกลินินและอนุพันธุ์ของลิกลินินที่ปนเปื้อนกับน้ำทิ้งจากอุตสาหกรรมการผลิตเยื่อและกระดาษ ตลอดจนหาประสิทธิภาพในการกำจัดลิกลินินของเชื้อราขาวสายพันธุ์ดังกล่าว และ (2) เพื่อให้ได้สภาวะที่เหมาะสมต่างๆ สำหรับการประยุกต์ใช้ระบบถังปฏิกรณ์เยื่อกรองร่วมกับเชื้อราขาวในการบำบัดน้ำทิ้งจากอุตสาหกรรมเยื่อและกระดาษ

## บทที่ 2

### การทบทวนวรรณกรรม

#### 1. น้ำเสียและลักษณะสมบัติของน้ำเสียจากอุตสาหกรรมเยื่อและกระดาษ

Thompson และคณะ (2001) ทำการศึกษาการบำบัดน้ำเสียที่เกิดขึ้นจากอุตสาหกรรมการผลิตเยื่อและกระดาษ พบว่า อุตสาหกรรมดังกล่าวเป็นอุตสาหกรรมที่ใช้น้ำในกระบวนการผลิตจำนวนมากขึ้นอยู่กับชนิดของกระดาษที่ผลิตและวัตถุดิบที่ใช้ในกระบวนการ จึงส่งผลให้ปริมาณน้ำเสียที่เกิดขึ้นมีปริมาณมากตามไปด้วย นอกจากนั้นน้ำเสียที่เกิดขึ้นยังมีความสกปรกในรูปของของแข็งแขวนลอย (SS) บีโอดี (BOD) ค่าความเป็นพิษ (Toxicity) สี (Color) และสารอาหารต่างๆ (Nutrients) ในปริมาณที่สูงอีกด้วย

กระบวนการบำบัดน้ำเสียที่นิยมใช้ทั่วไปในภาคอุตสาหกรรมภายในประเทศไทย ได้แก่ กระบวนการตะกอนเร่ง (Activated sludge) โดยประสิทธิภาพของกระบวนการดังกล่าวสามารถที่จะบำบัดน้ำทึบให้คุณภาพน้ำทึ้งภายในห้องจากการบำบัดมีค่าความสกปรกในรูปของค่าบีโอดีต่ำกว่าเกณฑ์มาตรฐานน้ำทึ้งของกรมโรงงานอุตสาหกรรมได้ ( $< 20 \text{ mg/L}$ ) (Kreetachat T. และคณะ, 2006) ตารางที่ 2.1 แสดงการเปรียบเทียบคุณภาพน้ำทึ้งเฉลี่ยของโรงงานอุตสาหกรรมเยื่อและกระดาษในประเทศไทยและมาตรฐานคุณภาพน้ำทึ้งของกรมโรงงานอุตสาหกรรม

ตารางที่ 2.1 คุณภาพน้ำทึ้งจากโรงงานอุตสาหกรรมเยื่อและกระดาษและมาตรฐานคุณภาพน้ำทึ้งของกรมโรงงานอุตสาหกรรม

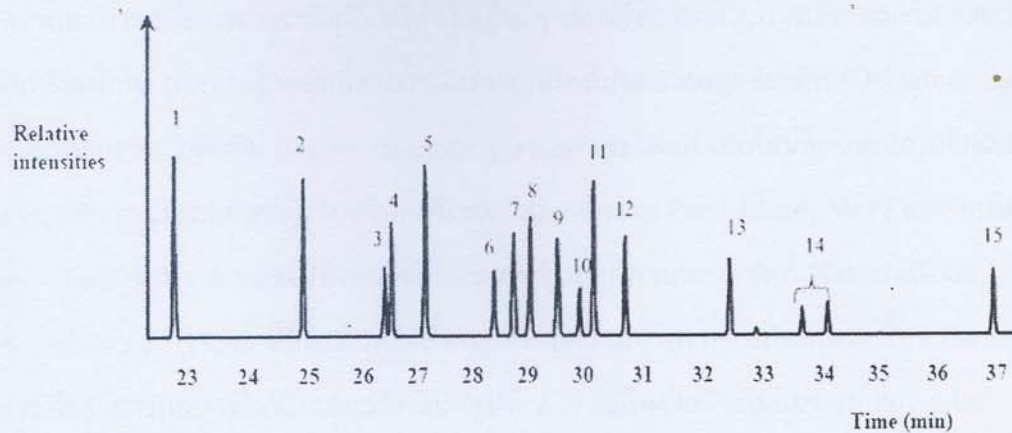
พารามิเตอร์	น้ำเสียก่อนบำบัด <sup>(1)</sup>	น้ำทึ้งภายหลังการบำบัด <sup>(1)</sup>	มาตรฐานคุณภาพน้ำทึ้ง <sup>(2)</sup>
pH	$7.5 \pm 0.5$	$7.4 \pm 0.5$	
BOD, มิลลิกรัมต่อลิตร	$550 \pm 50$	$25 \pm 5$	
COD, มิลลิกรัมต่อลิตร	$2,000 \pm 100$	$210 \pm 10$	
อัตราส่วน BOD/COD	$0.27 \pm 0.01$	$0.12 \pm 0.02$	ไม่กำหนด
TOC, มิลลิกรัมต่อลิตร	$650 \pm 50$	$50 \pm 5$	ไม่กำหนด
สี, ADML unit	$1,000 \pm 100$	$300 \pm 50$	ไม่กำหนด

<sup>(1)</sup> อ้างอิงจาก Kreetachat T. และคณะ (2007)

<sup>(2)</sup> มาตรฐานคุณภาพน้ำทึ้งของกรมโรงงานอุตสาหกรรม พ.ศ. xxxx

จากรายงานการศึกษาของ Lacorte และคณะ (2003) พบว่า องค์ประกอบต่างๆ ที่พบในน้ำเสียและน้ำทึ้งภายในกระบวนการบำบัดด้วยกระบวนการบำบัดน้ำเสียของอุตสาหกรรมการผลิตเยื่อและกระดาษสามารถแยกได้เป็น 3 ประเภท คือ (1) สารอินทรีย์ทางธรรมชาติ (2) สารเติมแต่งที่ใช้ในการผลิตกระดาษ เช่น สารลดความตึงผิว สารเพิ่มความสว่างให้กระดาษ สารประกอบเคมีต่างๆ และ (3) สารเคมีที่ใช้ในการพอกขาว ซึ่งในการวิเคราะห์องค์ประกอบต่างๆ จะใช้วิธีการสกัดโดย Liquid-liquid extraction (LLE) และ solid phase extraction (SPE) จากนั้นนำสารที่สกัดได้มาวิเคราะห์ทางองค์ประกอบโดยวิธี Gas chromatography-mass spectrometry (GC/MS) โครงสร้างเคมีที่วิเคราะห์ได้แสดงดังรูปที่ 2.1 จากโครงสร้างเคมีดังกล่าวทำให้สามารถระบุชนิดองค์ประกอบที่พบว่าประกอบด้วยสารอินทรีย์ทางธรรมชาติที่มีลักษณะโครงสร้างซึ่งแตกตัวมากจากลิกนินและอนุพันธุ์ของลิกนินบนเปื้อนกับน้ำทึ้ง

นอกจากนั้น ในน้ำทึ้งจากโรงงานอุตสาหกรรมเยื่อและกระดาษหลังจากการบำบัดโดยกระบวนการรีอากาศตามด้วยกระบวนการใช้อากาศยังวิเคราะห์พับสารประกอบกลุ่มวงแหวน (Aromatic compounds) อีกด้วย โดย Hernández และคณะ (1997) ตรวจพบสารกลุ่มวงแหวน ได้แก่ 1,2-benzenedicarboxylic acid, trimethylsilyl-benzoic acid, 2-trimethylsilyl benzoyl acid, trimethylsilyl-*o*-hydroxyphenyl acetic acid, 4-hydroxybenzoic acid, 2,4-bis trimethylsilyl-*o*-benzoic acid, 4-bis trimethylsilyl-*o*-benzenepropanoic acid, 4-hydroxybenzeneacetic acid, vanillic acid, syringic acid, and *p*-coumaric acid ซึ่งสารดังกล่าวมีลักษณะโครงสร้างไม่เลกุลเกล้าคึ่งกับโครงสร้างไม่เลกุลพื้นฐานของลิกนินในเนื้อไม้ ได้แก่ กลุ่ม *p*-hydroxyphenyl กลุ่ม guaiacyl และ กลุ่ม syringyl โดยผลการทดลองดังกล่าวสอดคล้องกับผลการวิเคราะห์องค์ประกอบในน้ำทึ้งของอุตสาหกรรมเยื่อและกระดาษในประเทศไทยโดย Kreetachat T. และคณะ (2007)



รูปที่ 2.1 โครโนทรอแกรมขององค์ประกอบที่พบในน้ำทึ้งของโรงงานอุตสาหกรรมเยื่อและกระดาษ;

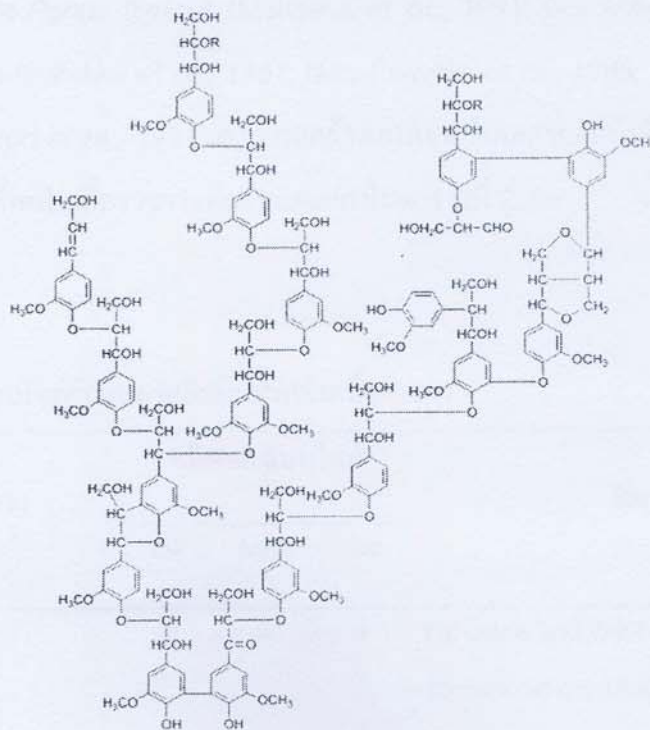
(1) palmitic acid, (2) margaric acid, (3) linoleic acid, (4) oleic acid, (5) stearic acid, (6) pimaric acid, (7) sandaracopimaric acid, (8) isopimaric acid, (9) palustric acid, (10) levopimaric acid, (11) dehydroabietic acid, (12) abietic acid, (13) neoabietic acid, (14) chlorodehydroabietic acid, and (15) dichlorodehydroabietic acid

(Lacorte และคณะ, 2003)

## 2. เชื้อราขาวและการย่อยสลายลิกนินด้วยเชื้อราขาว

เชื้อราขาวเป็นราในคลาสแบคทีเดียมัมบีชีท (Basidiomycetes) ที่พบได้ทั่วไปในธรรมชาติ โดยเชื้อราขาวสามารถเจริญเติบโตบนเนื้อเยื่อพืช (Plant tissue) หรือไม้ที่ตายแล้ว (Dead tree) โดยใช้เซลลูโลส (Cellulose) และลิกนิน (Lignin) ซึ่งเป็นองค์ประกอบสำคัญในพืชเป็นแหล่งคาร์บอนและพลังงานสำหรับการเจริญเติบโตจนพัฒนาเป็นดอกเห็ด (Fruiting body) (Madhavi and Lele, 2006) ความสามารถในการย่อยสลายทั้งเซลลูโลสและลิกนินของราไว้ต่อทอมีความสำคัญต่อการหมุนเวียนของคาร์บอนในวัฏจักรคาร์บอน (Carbon cycle) เป็นอย่างมาก เนื่องจากเซลลูโลสและลิกนินเป็นชีวมวล (Biomass) ที่มีปริมาณมากเป็นอันดับหนึ่งและสองในธรรมชาติ (Biosphere) อีกทั้งลิกนินจัดเป็นโมเลกุลอะโรมาติกขนาดใหญ่ (Aromatic macromolecule) ที่มีความซับซ้อนสูง จึงทนทานต่อการย่อยสลายโดยเอนไซม์ประเทอไรด์ิก (Hydrolytic enzyme) ของจุลินทรีย์โดยทั่วไป (Ralph and Catcheside, 2002) นอกจากนี้เชื้อราขาวยังเป็นจุลินทรีย์เพียงกลุ่มเดียวที่มีรายงานว่าสามารถเลือก (Selectively) และย่อยสลายลิกนินในธรรมชาติได้อย่างสมบูรณ์จนเกิดผลิตภัณฑ์สุดท้ายเป็นคาร์บอนไดออกไซด์ ( $CO_2$ ) และน้ำ ( $H_2O$ ) (Kirk and Farrell, 1987)

ความสามารถที่แตกต่างจากจุลินทรีย์ชนิดอื่น ๆ ของเชื้อราขาวในการเลือกและย่อยสลายลิกนินในเนื้อเยื่อพืชหรือเนื้อไม้ เกิดจากรากลุ่มนี้สามารถสร้างเอนไซม์ประเทออกซิเดทีฟ (Oxidative enzyme) ที่เรียกว่าเอนไซม์ย่อยสลายลิกนิน (Lignin degrading enzyme) ได้แก่ เอนไซม์ลิกนินเปอร์ออกซิเดส (Lignin Peroxidase; LiP) เอนไซม์แมงกานีสเปอร์ออกซิเดส (Manganese Peroxidase; MnP) และเอนไซม์แลคเคส (Laccase; Lac) ซึ่งทั้ง 3 ชนิดเป็นเอนไซม์ประเทขับออกภายนอกเซลล์ (Extracellular enzyme) (Eriksson *et al.*, 1990) ที่มีคุณสมบัติสำคัญ คือ มีความจำเพาะต่อสับสเตรตต่า (Low substrate specificity) จึงสามารถออกซิไดซ์โมเลกุลลิกนิน (รูปที่ 2.2) ที่มีโครงสร้างไม่แน่นอน (Irregular structure) และมีพันธะที่แตกต่างกันในโมเลกุลอย่างน้อย 12 ชนิด เช่น พันธะคาร์บอน-คาร์บอน (Carbon - carbon bond) พันธะอะรีล-อีเทอร์ (Aryl - ether bond) เป็นต้นได้ (Ward *et al.*, 2004) โดยการเปลี่ยนแปลงภายในโมเลกุลลิกนินที่เกิดจากการเร่งปฏิกิริยาของเอนไซม์ย่อยสลายลิกนิน เช่น การแยกของโซ่ข้างโพรงน้อยด (Propanoid side chain cleavage) ดีเมทิเลชัน (Demethylation) และการแยกของวงแหวนอะโรมาติก (Aromatic ring cleavage) เป็นต้น



รูปที่ 2.2 โครงสร้างของโมเลกุลลิกนิน

ที่มา: Adler (1977)

ในกระบวนการย่อยสลายลิกนินโดยเชื้อราขาว นอกจากเอนไซม์ย่อยสลายลิกนินจะทำหน้าที่เป็นเอนไซม์หลักแล้ว ยังมีเอนไซม์สนับสนุน (Auxiliary enzyme) ชนิดอื่น ๆ เช่น ไกลอออกซอส ออกซิเดส (Glyoxal oxidase; GLOX) เอริล แอลกออล ออกซิเดส (Aryl alcohol oxidase; AAO) ที่มีความสำคัญต่อกระบวนการย่อยสลายลิกนินด้วยเช่นกัน โดยเอนไซม์ทั้ง 2 ชนิดจะทำหน้าที่ผลิตไฮโดรเจนเปอร์ออกไซด์ ( $H_2O_2$ ) ที่เป็นสับสเตรตร์วัม (Co - substrate) ของเอนไซม์ลิกนินเปอร์ออกซิเดสและเอนไซม์แมงกานีสเปอร์ออกซิเดส เป็นต้น ผลจากการทำงานร่วมกันของเอนไซม์เหล่านี้ทำให้กระบวนการย่อยสลายลิกนินเกิดขึ้นได้ (Wesenberg *et al.*, 2003)

โดยทั่วไปแล้วเชื้อราขาวจะเมตาบอไลซ์ลิกนินในสภาวะที่มีแหล่งพลังงานอื่น ๆ เช่น เชลลูโลสหรือเอมิเซลลูโลสร่วมอยู่ด้วย เนื่องจากการเมตาบอไลซ์ลิกนินเพียงอย่างเดียวจะไม่ให้พลังงานแก่เชื้อราขาวดังนั้นกลไกการย่อยสลายลิกนินในธรรมชาติจึงจัดเป็นกลไกแบบเมตาบอโลิกร่วม (Co - metabolism) โดยเชื้อราขาวส่วนใหญ่จะเมตาบอไลซ์ลิกนินในช่วงเมตาบอไลซ์ทุติยภูมิ (Secondary metabolism) ซึ่งถูกกระตุ้นโดยสภาวะสารอาหารที่จำกัด (Nutrient limitation) (Wesenberg *et al.*, 2003) นอกจากนี้งานวิจัยส่วนใหญ่รายงานว่าเชื้อราขาวแต่ละชนิดจะสร้างเอนไซม์ย่อยสลายลิกนินได้เพียง 1-2 ชนิด เช่น *Ganoderma lucidum* (Orth *et al.*, 1993) และ *Panus tigrinus* (Maltseva *et al.*, 1991; Golovleva *et al.*, 1993) เป็นต้น ขณะที่ *Phlebia radiata* (Hatakka *et al.*, 1987; Niku-Paavola *et al.*, 1988; Vares *et al.*, 1994) และ *Trametes hirsuta* (Nerud *et al.*, 1991) สามารถสร้างเอนไซม์ย่อยสลายลิกนินได้ทั้ง 3 ชนิด โดยชนิดของเอนไซม์ย่อยสลายลิกนินที่พบในเชื้อราขาวแต่ละชนิดแสดงในตารางที่ 2.2

ตารางที่ 2.2 ชนิดของเอนไซม์ย่อยสลายลิกนินที่พบในเชื้อราขาว

ชนิดของเชื้อราขาว	ชนิดของเอนไซม์			ที่มา
	LiP	MnP	Lac	
<i>Trametes versicolor</i>	+	+	+	Fahraeus and Reinhammar, 1967; Jonsson <i>et al.</i> , 1968; Dodson <i>et al.</i> , 1987; Johansson and Nyman, 1987; Waldner, 1987; Waldner <i>et al.</i> , 1988; Johansson, 1993

<i>Phanerochaete chrysosporium</i>	+	+	+	Glenn <i>et al.</i> , 1983; Tien and Kirk, 1983; Leisola <i>et al.</i> , 1987
<i>Phlebia radiata</i>	+	+	+	Hatakka <i>et al.</i> , 1987; Niku-Paavola <i>et al.</i> , 1988; Vares <i>et al.</i> , 1994
<i>Pleurotus ostreatus</i>	+	+	+	Waldner <i>et al.</i> , 1988; Sannia <i>et al.</i> , 1991; Beckeret <i>et al.</i> , 1993
<i>Pleurotus sajor-caju</i>	+	+	+	Fukuzumi, 1987; Bourbonnais and Paice, 1989; Boyle <i>et al.</i> , 1992
<i>Trametes hirsuta</i>	+	+	+	Nerud <i>et al.</i> , 1991
<i>Ceriporiopsis subvermispora</i>	-	+	+	Ruttimann <i>et al.</i> , 1992; Lobos <i>et al.</i> , 1994
<i>Ganoderma lucidum</i>		+	+	Orth <i>et al.</i> , 1993
<i>Panus tigrinus</i>		+	+	Maltseva <i>et al.</i> , 1991; Golovleva <i>et al.</i> , 1993
<i>Lentinula edodes</i>	-	+	+	Leatham and Stahmann, 1981; Leatham, 1986; Forrester <i>et al.</i> , 1990; Orth <i>et al.</i> , 1993
<i>Rigidoporus lignosus</i>	-			Geiger <i>et al.</i> , 1986; Galliano <i>et al.</i> , 1991
<i>Stereum hirsutum</i>		+	+	Jong <i>et al.</i> , 1992
<i>Coriolus pruinosa</i>	+	+		Waldner, 1987; Waldner <i>et al.</i> , 1988
<i>Oudemansiella radiata</i>	+		+	Huttermann <i>et al.</i> , 1989
<i>Pleurotus florida</i>	+		+	Huttermann <i>et al.</i> , 1989
<i>Polyporus platensis</i>	+		+	Huttermann <i>et al.</i> , 1989
<i>Ustulina deusta</i>	+		+	Huttermann <i>et al.</i> , 1989

---

<i>Bjerkandera adusta</i>	+	Waldner, 1987; Huttermann et al., 1989; Muheim et al., 1990; Muheim, 1991
<i>Daedaleopsis confragosa</i>	+	Huttermann et al., 1989
<i>Phallus impudicus</i>	+	Huttermann et al., 1989
<i>Abortiporus biennis</i>	+	Nerud and Misurcova, 1996
<i>Agaricus bisporus</i>	+	Wood, 1980; Sermanni et al., 1982; Matcham and Wood, 1992; Perry et al., 1993; Ratcliffe et al., 1994
<i>Agaricus brunnescens</i>	+	Fagan and Fergus, 1984
<i>Aspergillus nidulans</i>	+	Law and Timberlake, 1980; Kurtz and Champe, 1982; Aramayo and Timberlake, 1990
<i>Botryosphaeria sp.</i>	+	Barbousa et al., 1996
<i>Cerrena maxima</i>	+	Gindilis et al., 1990
<i>Cerrena unicolor</i>	+	Zakariashvili and Elisashvili, 1993; Gianfreda et al., 1998
<i>Chaetomium thermophila</i>	+	Ishigami et al., 1988
<i>Coriolus versicolor</i>	+	Zhou et al., 1993
<i>Cryphonectria parasitica</i>	+	Rigling and Alfen, 1993; Slomozynski et al., 1995
<i>Daedalea flavida</i>	+	Arora and Sandhu, 1985
<i>Flammulina velutipes</i>	+	Lee and Suh, 1985
<i>Fomes annosus</i>	+	Kaufmann and Wellendorf, 1980; Bollag and Leonowicz, 1984

---

<i>Grifola frondosa</i>	+	Xing et al., 2006
<i>Inonotus hispidus</i>	+	Nerud and Misurcova, 1996
<i>Phellinus noxius</i>	+	Geiger et al., 1986
<i>Pycnoporus cinnabarinus</i>	+	Nerud et al., 1991
<i>Trametes sanguinea</i>	+	Nishizawa et al., 1995
<i>Perenniporia medulla-panis</i>	+	Orth et al., 1993
<i>Trametes cingulata</i>	+	Orth et al., 1993
<i>Phanerochaete sordida</i>	+	Ruttimann et al., 1994

หมายเหตุ + คือ มีรายงานว่าผลิตเอนไซม์ชนิดดังกล่าว  
- คือ มีรายงานว่าไม่ผลิตเอนไซม์ชนิดดังกล่าว  
      คือ ไม่มีรายงานการศึกษาการผลิตเอนไซม์ดังกล่าว

LiP คือ เอนไซม์ลิกนินเปอร์ออกซิเดส

MnP คือ เอนไซม์แมงกานีสเปอร์ออกซิเดส

Lac คือ เอนไซม์แลคเคส

ที่มา: ดัดแปลงจาก Teerapatsakul (2007)

### 3. เอนไซม์ย่อยสลายลิกนิน (Lignin degrading enzyme)

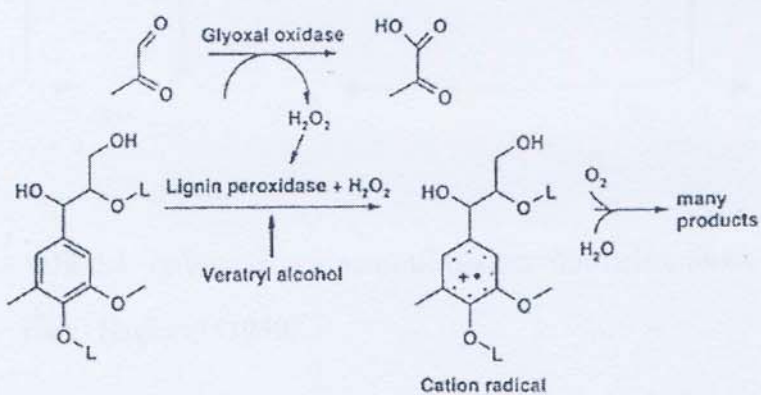
เอนไซม์หลักในกระบวนการย่อยสลายลิกนิน ได้แก่ เอนไซม์ลิกนินเปอร์ออกซิเดส (Lignin Peroxidase) เอนไซม์แมงกานีสเปอร์ออกซิเดส (Manganese Peroxidase) และเอนไซม์แลคเคส (Laccase)

#### 3.1 เอนไซม์ลิกนินเปอร์ออกซิเดส (E.C. 1.11.1.14)

เอนไซม์ลิกนินเปอร์ออกซิเดสถูกค้นพบครั้งแรกใน *Phanerochaete chrysosporium* (Glenn, 1983; Tien and Kirk, 1984) โดยเอนไซม์ลิกนินเปอร์ออกซิเดสเป็นไกลโคโปรตีน (glycoprotein) ที่มีฮีม (Heme) เป็นองค์ประกอบและมีไฮโดรเจนเปอร์ออกไซด์ ( $H_2O_2$ ) เป็นสับสเตรตร์วัม (Co - substrate) เช่นเดียวกับเอนไซม์เปอร์ออกซิเดสโดยทั่วไป ซึ่งคุณสมบัติที่สำคัญของเอนไซม์ลิกนินเปอร์ออกซิเดส คือ มีความสามารถในการออกซิไดซ์สูง (High redox potential) และมีค่า pH ที่เหมาะสม (Optimum) ในการทำงานต่อ (Gold and Alic, 1993) โดยเอนไซม์ลิกนินเปอร์ออกซิเดสสามารถออกซิไดซ์สารประกอบ

ประเภทฟีนอลิก (Phenolic compound) จะเกิดผลิตภัณฑ์เป็นอนุมูลฟีโนกซี (Phenoxy radical) ที่ไม่เสถียร และเนื่องจากเอนไซม์ลิกนินเปอร์ออกซิเดสมีความสามารถในการออกซิไดซ์สูง ทำให้สามารถออกซิไดซ์สารประกอบประเภทที่ไม่ใช่อะโรมาติกฟีนอล (Nonphenolic aromatic compound) เช่น ส่วนที่ไม่ใช่ฟีนอลิกของฟีนิวพรพานอยด์ (Nonphenolic phenylpropanoid unit) ในลิกนิน เป็นต้น ซึ่งโดยปกติแล้วจะไม่ถูกออกซิไดซ์โดยเอนไซม์กลุ่มเปอร์ออกซิเดส (Ward *et al.*, 2004)

ปฏิกิริยาที่เร่งโดยเอนไซม์ลิกนินเปอร์ออกซิเดสประกอบด้วยปฏิกิริยา benzyl alcohol oxidation, side-chain cleavage, ring-opening reaction, dimethoxylation และ oxidative dechlorination และเนื่องจากเอนไซม์ลิกนินเปอร์ออกซิเดสสามารถเข้าจับ (Attack) ที่พันธะได้หลายชนิด ทำให้เอนไซม์ลิกนินเปอร์ออกซิเดสมีบทบาทสำคัญต่อกระบวนการย่อยสลายลิกนิน (Ward *et al.*, 2004) โดยตัวอย่างกลไกการเร่งปฏิกิริยา (Catalytic cycle) ของเอนไซม์ลิกนินเปอร์ออกซิเดสแสดงในรูปที่ 2.3



รูปที่ 2.3 กลไกการทำงานของเอนไซม์ลิกนินเปอร์ออกซิเดส

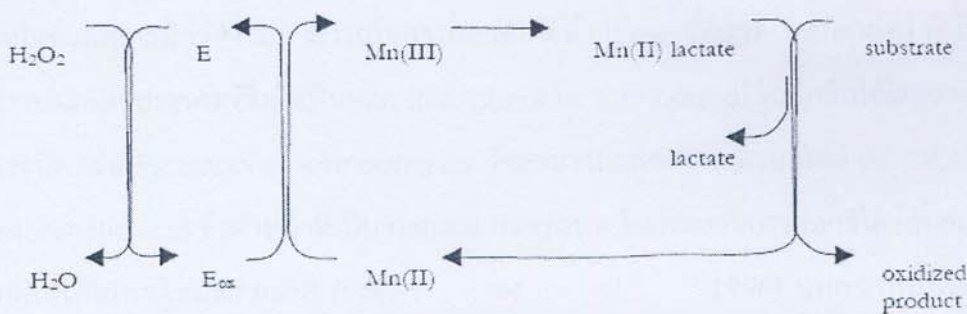
ที่มา: Hatakka (2001)

### 3.2 เอนไซม์แมงกานีสเปอร์ออกซิเดส (E.C. 1.11.1.13)

เอนไซม์แมงกานีสเปอร์ออกซิเดสสูญพบรุ้งแรกใน *Phanerochaete chrysosporium* (Glenn and Gold, 1985) เช่นเดียวกับเอนไซม์ลิกนินเปอร์ออกซิเดส โดยเอนไซม์แมงกานีสเปอร์ออกซิเดสเป็นไกโลโพรตีน (Glycoprotein) ที่มีฮีม (Heme) เป็นองค์ประกอบและมีไฮโดรเจนเปอร์ออกไซด์ ( $H_2O_2$ ) เป็นสับสเตรตร่วม (Co - substrate) ซึ่งเอนไซม์แมงกานีสเปอร์ออกซิเดสจะ ออกซิไดซ์  $Mn^{2+}$  ให้กลายเป็น  $Mn^{3+}$  โดย  $Mn^{3+}$  จะมีความเสถียรมากขึ้นเมื่อร่วมตัวกับกรดอินทรีย์ (Organic acid) บางชนิดที่ขับออกมาระบบเชลล์ ของราไว์ร็อท เช่น กรดออกชาลิก (Oxalic acid) กรดฟูมาริก (Fumalic acid) และกรดมาลิก (Malic acid)

เป็นต้น โดย chelate Mn<sup>3+</sup> จะทำหน้าที่เป็น strong diffusible oxidizing agent เพื่อออกซิไดซ์สารประกอบฟีนอลิกในลิกนินจนเกิดผลิตภัณฑ์เป็นอนุมูลฟีนออกซี (Phenoxy radical) ที่ไม่เสถียร (Hatakka, 1994) ซึ่งจะถูกเปลี่ยนแปลงต่อไปโดยปฏิกิริยาดังนี้ เช่น demethylation, alkyl - phenyl cleavage, Ca oxidation และ Ca - C<sub>β</sub> cleavage เป็นต้น (Tuor *et al.*, 1992)

โดยทั่วไปเอนไซม์แมงกานีสเปอร์ออกซิเดสสามารถพบในเชื้อราขาวได้มากกว่าเอนไซม์ลิกนินเปอร์ออกซิเดส (Hatakka, 1994) ตัวอย่างกลไกการเร่งปฏิกิริยา (Catalytic cycle) ของเอนไซม์แมงกานีสเปอร์ออกซิเดสแสดงในรูปที่ 2.4

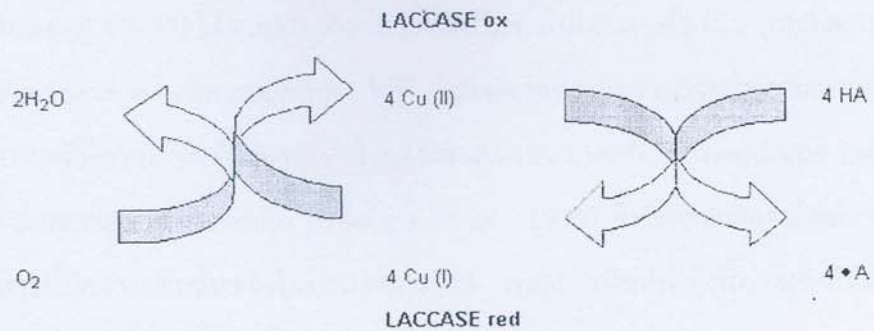


รูปที่ 2.4 กลไกการทำงานของเอนไซม์แมงกานีสเปอร์ออกซิเดส

ที่มา: Haglund (1999)

### 3.3 เอนไซม์แลคเคส (E.C. 1.10.3.2)

เอนไซม์แลคเคสเป็นเอนไซม์ประเภท phenol oxidase ที่มีโลหะคอปเปอร์ (Copper) จำนวน 4 อะตอม อยู่ที่บริเวณแอคทีฟไซต์ (Active site) ของเอนไซม์ ซึ่งเอนไซม์แลคเคสจะออกซิไดซ์สารประกอบประเภทฟีนอล (Phenolic compound) โดยใช้โมเลกุลออกซิเจน (O<sub>2</sub>) เป็นตัวรับอิเล็กตรอนทำให้เกิดผลิตภัณฑ์เป็นน้ำ (H<sub>2</sub>O) และอนุมูลฟีนออกซี (Phenoxy radical) (Ward *et al.*, 1996) ตัวอย่างกลไกการเร่งปฏิกิริยา (Catalytic cycle) ของเอนไซม์แลคเคสเมื่อออกซิไดซ์สับสเตรตประเภทฟีนอลิก (Phenolic substrate) แสดงในรูปที่ 2.5



รูปที่ 2.5 กลไกการทำงานของเอนไซม์แลคเคสเมื่อออกซิเดช์สับสเตรตประเกทฟีนอลิก

เอนไซม์แลคเคสมีค่าความสามารถในการออกซิเดช์ต่ำ (Low redox potential) ทำให้ไม่สามารถออกซิเดช์สารประกอบประเกทที่ไม่ใช่ฟีนอลิก (Nonphenolic compound) ในลิกนินได้โดยตรง ดังนั้นในราไวย์ต์ Roth ของชนิด เช่น *Pycnoporus cinnabarinus* จึงสามารถผลิตสารเมตาบอไลต์ (Metabolite) เช่น 3-hydroxyanthranillic acid ซึ่งทำหน้าที่เป็น natural mediator ในกระบวนการออกซิเดช์สับสเตรตประเกทที่ไม่ใช่ฟีนอลิกโดยเอนไซม์แลคเคส (Eggert *et al.*, 1996) นอกจากนี้ยังมีรายงานว่า hydroxybenzotriazole และ 2,2'-azinobis(3-ethylbenzthiazoline-6-sulfonate) (ABTS) ที่ทำหน้าที่เป็น mediator ในกระบวนการย่อยสลายลิกนินโดยราไวย์ต์ Roth ด้วยเช่นกัน (Ward *et al.*, 1996)

#### 4. ปัจจัยที่มีผลต่อการผลิตเอนไซม์ย่อยสลายลิกนินของเชื้อราขาว

การศึกษาทางสรีรวิทยา (Physiology) ของการผลิตเอนไซม์ย่อยสลายลิกนินจากเชื้อราขาวได้ถูกศึกษาอย่างกว้างขวาง โดยพบว่าเอนไซม์ย่อยสลายลิกนินจะถูกผลิตออกมากเมื่อเกิดการออกซิเดชันไม่เลกุลลิกนินในช่วงการเจริญพัฒนามุ่ง (Secondary metabolism) ซึ่งจะไม่ให้พลังงานแก่ราไวย์ต์ Roth (Wesenberg *et al.*, 2003; Gold and Alic, 1993) นอกจากนี้ยังพบว่าการผลิตเอนไซม์ย่อยสลายลิกนินไม่ได้ขึ้นอยู่กับชนิดของเชื้อราขาวเพียงอย่างเดียว แต่ยังขึ้นอยู่กับสภาวะของการเจริญเติบโต เช่น ชนิดและปริมาณของอินดิเออร์ ชนิดและปริมาณขององค์ประกอบในอาหารเลี้ยงเชื้อ และความเข้มข้นของออกซิเจน เป็นต้น

##### 4.1 ปริมาณสารอาหาร

โดยทั่วไปแล้วการสังเคราะห์และการขับเอนไซม์ย่อยสลายลิกนินของเชื้อราขาวจะถูกกระตุ้นในสภาวะที่สารอาหารถูกจำกัด ดังเช่นการศึกษาการผลิตเอนไซม์ย่อยสลายลิกนินใน *Phanerochaete chrysosporium* ซึ่งพบว่ากิจกรรมเอนไซม์ลิกนินเปอร์ออกซิเดสและเอนไซม์แมงกานีสเปอร์ออกซิเดสจะเพิ่มขึ้นเมื่อเพาะเลี้ยงในอาหารที่จำกัดแหล่งไนโตรเจน (Nitrogen limitation) (Kapich *et al.*, 2004).

นอกจากนี้ Eggert *et al.* (1996) ได้รายงานว่าอาหารที่มีปริมาณไนโตรเจนต่ำ (1.2 mM) สามารถกระตุ้นการผลิตเอนไซม์ใน *Pycnoporus cinnabarinus* ได้ดี ในขณะที่เชื้อราขาวบางชนิดสามารถผลิตเอนไซม์ย่อยสลายลิกนินในสภาวะที่มีความเข้มข้นของเหลวในไนโตรเจนสูง เช่น *Cyathus stercoreus* (Sethuraman *et al.*, 1999) และ *Ganoderma lucidum* (D'souza *et al.*, 1999) ซึ่งมีกิจกรรมเอนไซม์แลคเคสสูงขึ้นเมื่อเพาะเลี้ยงในอาหารที่มีความเข้มข้นของไนโตรเจนสูง (24 mM) เป็นต้น ดังนั้นจะเห็นได้ว่าหากพิจารณาความสัมพันธ์ของการผลิตเอนไซม์ย่อยสลายลิกนิน กับความเข้มข้นของสารอาหาร เช่น เหลวในไนโตรเจน เป็นต้น พบว่าขึ้นอยู่กับชนิดของเชื้อราขาวเป็นสำคัญ

#### 4.2 ความเข้มข้นของออกซิเจน

โดยทั่วไปสภาวะที่เหมาะสมต่อการสร้างเอนไซม์ลิกนินเปอร์ออกซิเดสและเอนไซม์แมงกานีสเปอร์ออกซิเดสของเชื้อราขาว คือ ปริมาณออกซิเจนต่ำ (High oxygen tension) เช่น การเพาะเลี้ยงแบบอาหารแข็ง (Solid state culture) และสามารถถูกยับยั้งด้วยการกวน (Agitation) ในการเพาะเลี้ยงแบบอาหารเหลว (Submerged culture) แต่ในขณะที่การผลิตเอนไซม์แลคเคสสามารถกระตุ้นได้โดยการกวน (Wesenberg *et al.*, 2003) โดยมีรายงานว่าการเติมอากาศลงในอาหารเลี้ยงเชื้อจะช่วยเพิ่มการผลิตเอนไซม์แลคเคสใน *Botryosphaeria* sp. (Dekker and Barbosa, 2001) และ *Phanerochaete chrysosporium* (Srinivasan *et al.*, 1995; Gold and Alic, 1993)

#### 4.3 ไอออนของโลหะ

โลหะหนักบางชนิดมีความจำเป็นต่อการเจริญเติบโตของเชื้อราขาว เช่น Cu Mn และ Zn เป็นต้น โดยเชื้อราขาวต้องการโลหะหนักเหล่านี้ปริมาณเพียงเล็กน้อยสำหรับกระบวนการผลิตเอนไซม์ย่อยสลายลิกนิน แต่ในบางครั้งหากมีปริมาณที่สูงเกินไปอาจเป็นพิษต่อราได้ จากการศึกษาของ Baldrian (2003) พบว่าการเติม Zn ที่ความเข้มข้นในช่วง 0.006 - 1.8 mM และ Cu ความเข้มข้นในช่วง 0.0004 - 1.2 mM ลงในอาหารเลี้ยง เชื้อที่ปราศจากโลหะ (Metal-free synthetic cultivation medium) จะช่วยเพิ่มประสิทธิภาพการผลิตเอนไซม์ลิกนินเปอร์ออกซิเดสและเอนไซม์แมงกานีสเปอร์ออกซิเดสจาก *Phanerochaete chrysosporium* นอกจากนี้ยังช่วยเพิ่มการละลาย (Solubilization) และการย่อยสลายของโมเลกุลลิกนิน ซึ่งจะเห็นได้ว่าโลหะทั้งสองชนิดเกี่ยวข้องโดยตรงต่อการเร่งปฏิกิริยาของเอนไซม์ย่อยสลายลิกนิน

ในกรณีของเอนไซม์แลคเคสที่มี Cu เป็นองค์ประกอบอยู่ภายในโครงสร้างนั้น พบว่า การเติม Cu ลงในอาหารเลี้ยงเชื้อจะช่วยเพิ่มการถอดรหัส (Transcription) และเพิ่มการผลิตเอนไซม์แลคเคส (Palmieri *et al.*, 2000; Galhaup and Haltrich, 2001) นอกจากนี้ Baldrian *et al* (2002) ได้รายงานว่าการเติม Cu ที่

ความเข้มข้น 50 mM สามารถกระตุ้นกิจกรรมเอนไซม์แลคเคสของ *Pleurotus ostreatus* ได้ ซึ่งสอดคล้องกับงานวิจัยจำนวนมากที่รายงานว่าการเติม Cu สามารถกระตุ้นการผลิตเอนไซม์แลคเคสของเชื้อรากหลายชนิด เช่น *Trametes versicolor* (Collins et al., 1997), *Trametes pubescens* และ *Ganoderma applanatum* (Galhaup and Haltrich, 2001) *Pleurotus ostreatus* (Palmieri et al., 2000) เป็นต้น

#### 4.4 อินดิวเซอร์

จากการศึกษาการผลิตเอนไซม์ย่อยสลายลิกนินในเชื้อรากฯ พบว่า กลไกการผลิตเอนไซม์มีทั้งแบบ constitutive enzyme และ inducible enzyme โดยการประกอบทางเคมีหลายชนิดสามารถเห็นได้ยานำ (Induce) ให้เกิดการผลิตเอนไซม์ย่อยสลายลิกนินในเชื้อรากฯได้ ซึ่งส่วนมากเป็นสารประกอบประเภทฟีโนลิก (Phenolic compound) ที่มีโครงสร้างคล้ายลิกนินหรืออนุพันธ์ของลิกนิน โดยงานวิจัยส่วนใหญ่จะศึกษาถึงชนิด ปริมาณ และระยะเวลาในการเติมอินดิวเซอร์ที่เหมาะสมสำหรับการกระตุ้นการผลิตเอนไซม์ย่อยสลายลิกนินในเชื้อรากฯ ดังเช่น

Arora and Gill (2001) ศึกษาผลของอินดิวเซอร์ต่อการกระตุ้นการผลิตเอนไซม์แลคเคสจาก *Phlebia radiata* โดยพบว่า veratryl alcohol (3,4-Dimethoxybenzyl alcohol) ที่ความเข้มข้น 1 mM สามารถกระตุ้นการผลิตเอนไซม์แลคเคสมากถึง 200 เท่า เมื่อเปรียบเทียบกับสภาวะที่ไม่มีอินดิวเซอร์ ซึ่งสอดคล้องกับการศึกษาของ Eggert และคณะ (1996) ที่รายงานว่า veratryl alcohol ที่ความเข้มข้น 1 mM สามารถกระตุ้นให้กิจกรรมเอนไซม์แลคเคสของ *Pycnoporus cinnabarinus* เพิ่มขึ้นเป็น 2 เท่า เมื่อเปรียบเทียบกับสภาวะที่ไม่มีอินดิวเซอร์ นอกจากนี้ veratryl alcohol ยังเห็นยานำให้การผลิตเอนไซม์แลคเคสใน *Ganoderma lucidum* เพิ่มขึ้นเป็น 3 เท่า (D'souza et al., 1999) ซึ่งจะเห็นได้ว่า veratryl alcohol ถูกใช้อย่างแพร่หลายสำหรับการกระตุ้นการผลิตเอนไซม์แลคเคสในเชื้อรากฯหลายชนิด อีกทั้งสารชนิดนี้ยังมีบทบาทสำคัญในกระบวนการย่อยสลายลิกนินในธรรมชาติตัวอย่าง

Eggert และคณะ (1996) ศึกษาผลของอินดิวเซอร์ต่อการกระตุ้นการผลิตเอนไซม์แลคเคสจาก *Pycnoporus cinnabarinus* โดยพบว่ากิจกรรมเอนไซม์เพิ่มขึ้นเป็น 9 เท่า หลังจากเติม 2,5 - xylidine ลงไป 24 ชั่วโมง ในสภาวะการเพาะเลี้ยงแบบเบี่ยง ซึ่งสอดคล้องกับงานวิจัยของ Chen และคณะ (2003) ที่พบว่า 2,5 - xylidine สามารถกระตุ้นการผลิตเอนไซม์แลคเคสจาก *Volvariella volvacea* ได้ แต่ในทางกลับกันมีรายงานว่าสารดังกล่าวสามารถยับยั้งการผลิตเอนไซม์แลคเคสจาก *Podospora anserine* (Rogalski et al., 1990) ได้เช่นกัน

การศึกษาผลของอินดิวเซอร์ต่อการกระตุ้นการผลิตเอนไซม์ย่อยสลายลิกนินของเชื้อราขาว พบว่า สารประกอบประเภทฟาราโนติก เช่น guaiacol และ ferulic acid เป็นต้น สามารถกระตุ้นการผลิตเอนไซม์ แลคเคสได้ เช่น ferulic acid สามารถหนี่ยวนำให้ *Trametes versicolor* ผลิตเอนไซม์แลคเคสมากขึ้นเป็น 2 เท่า (Leonowicz *et al.*, 1978) guaiacol สามารถหนี่ยวนำให้ *Trametes pubescens* ผลิตเอนไซม์แลคเคสเพิ่มขึ้น 2 เท่า (Galhaup and Haltrich, 2001) เป็นต้น นอกจากนี้ยังมีรายงานว่า lignocellulosic substrate สามารถหนี่ยวนำให้ *Phanerochaete chrysosporium* ผลิตเอนไซม์แมงกานีสเปอร์ออกซิเดส เพิ่มขึ้นด้วย (Kapich *et al.*, 2004)

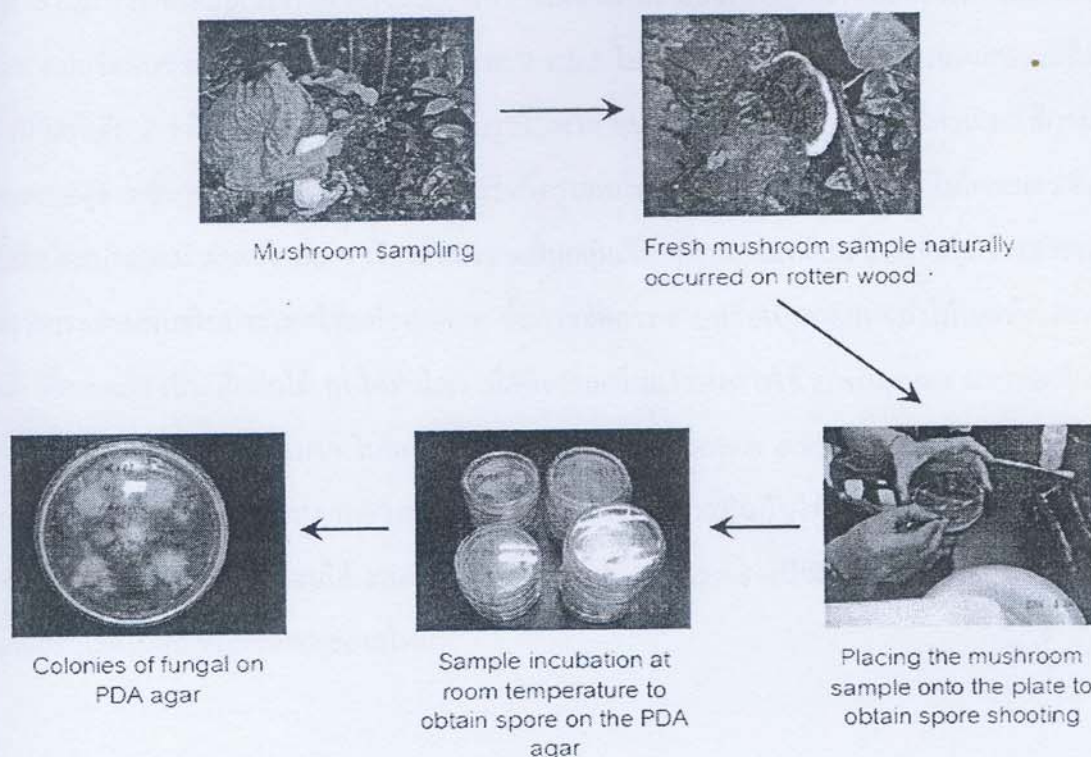
#### 4.5 การควบคุมแบบ Catabolite repression

โดยปกติแล้วกลูโคสมักถูกพบว่าสามารถยับยั้งการผลิตเอนไซม์ย่อยสลายลิกนิน เนื่องจากสาร catabolite ที่เกิดขึ้นจะทำหน้าที่ยับยั้งยินของกลุ่มเอนไซม์ย่อยสลายลิกนิน และจากการศึกษาของ Boominathan and Reddy (1992) ได้อธิบายว่าระยะเริ่มต้นของการสร้างเอนไซม์ย่อยสลายลิกนินใน *Phanerochaete chrysosporium* กิจกรรมเอนไซม์ที่เพิ่มขึ้นจะสัมพันธ์กับการเพิ่มขึ้นของปริมาณ cAMP นอกจากนี้การศึกษาเพิ่มเติมพบว่าเมื่อยับยั้ง cAMP จะทำให้เอนไซม์ลิกนินเปอร์ออกซิเดสถูกยับยั้งและการผลิตเอนไซม์แมงกานีสเปอร์ออกซิเดสถูกทำให้ผลิตช้าลงหรือถูกยั้งเมื่อรับดับของ cAMP ภายในเซลล์ลดลง

จากการศึกษาโดย Galhaup *et al.* (2002) พบว่าการยับยั้งที่เกิดจากกลูโคสมีผลต่อ *Trametes pubescens* โดยเมื่อค่อย ๆ เพิ่มความเข้มข้นของกลูโคสจาก 10 กรัมต่อลิตร ไปจนถึง 40 กรัมต่อลิตร ลดลงให้กิจกรรมเอนไซม์แลคเคสเพิ่มขึ้นถึง 5 เท่า แต่เมื่อเพิ่มความเข้มข้นกลูโคสเป็น 60 กรัมต่อลิตร กิจกรรมของเอนไซม์แลคเคสกลับมีค่าลดลง ซึ่งสอดคล้องกับรายงานของ Dekker and Barbosa (2001) ที่พบว่าเมื่อความเข้มข้นของกลูโคสมากกว่า 10 กรัมต่อลิตร จะยับยั้งการสังเคราะห์เอนไซม์แลคเคสของ *Botryosphaeria* sp.

#### 5. การคัดแยกสายพันธุ์เชื้อราขาว

Apiwattanapiwat W. และคณะ (2006) ทดลองนำตัวอย่างเชื้อราขาวที่มีผู้ภัยในเขตบริเวณอุทยานแห่งชาติเขาใหญ่ จ.นครราชสีมา มาเพื่อคัดเลือกสายพันธุ์เชื้อราขาวที่พบในประเทศไทย โดยวิธีการคัดเลือกสายพันธุ์สามารถแสดงได้ดังรูปที่ 2.6



รูปที่ 2.6 ขั้นตอนการคัดเลือกสายพันธุ์เชื้อราขาว (สถานที่ทำการทดลอง: ฝ่ายปฏิบัติการเทคโนโลยีเอนไซม์ และการจัดการของเสีย สถาบันค้นคว้าและพัฒนาผลิตผลทางการเกษตรและอุสาหกรรมเกษตร มหาวิทยาลัยเกษตรศาสตร์)

ผลการทดลองดังกล่าว พบว่า มีสายพันธุ์เชื้อราขาวจำนวน 64 สายพันธุ์ และเชื้อราขาวจำนวน 7 สายพันธุ์ ได้แก่ KAPI03 KAPI04 KAPI13 KAPI25 KAPI30 KAPI39 และ KAPI50 สามารถเจริญเติบโตได้ดีบนอาหารเลี้ยงเชื้อแข็งที่มีลิกนินสังเคราะห์เป็นองค์ประกอบ จากเหตุผลดังกล่าวแสดงให้เห็นว่าเชื้อราขาวทั้ง 7 สายพันธุ์สามารถใช้ลิกนินสังเคราะห์เป็นแหล่งอาหารได้ อย่างไรก็ตามเมื่อนำเชื้อราขาวทั้ง 7 สายพันธุ์มาทดสอบประสิทธิภาพเบื้องต้นในทดสอบทดลองเพื่อกำจัดสีทึ้งจากโรงงานผลิตเยื่อและกระดาษ ผลการทดลองแสดงให้เห็นว่าเชื้อราสายพันธุ์ KAPI25 KAPI39 และ KAPI50 มีประสิทธิภาพในการลดสีน้ำทึ้งเท่ากับ 54.4% 54.9% และ 53.7% ตามลำดับ (P. Vaithanomsat และคณะ, 2006)

*Lentinus strigosus* เป็นเชื้อราขาวที่จัดอยู่ในคลาสแบสิโนมายซีท (Basidiomycetes) ซึ่งมีพัฒนาการขั้นสูงที่สามารถเจริญเป็นดอกเห็ดได้ (รูปที่ 2.7) โดยภาษาท้องถิ่นเรียกว่าเห็ดหูกระหรือเห็ดเพ็ก เมื่อเจริญเป็นดอกเห็ดจะมีลักษณะทางกายภาพดังนี้ คือ ดอกเห็ดอ่อนสีน้ำตาลอ่อนอมม่วงแดงแล้วเปลี่ยนเป็นสีน้ำตาลอ่อนหรือขาวนวล หมวดเห็ดเลี้นผ่านศูนย์กลาง 1.5 - 5 ซม. รูปกรวยตื้นหรือรูปพัดเพราการเจริญของหมวดไม่เท่ากัน ส่วนมากด้านหนึ่งจะเล็กกว่าอีกด้านหนึ่ง ขอบมีขนละเอียดหนาแน่น ครีบสีขาวนวล ขานกันตามยาว และมีความยาว 4 ขนาด สันจักฟันเลือยเล็ก ๆ ก้านยาว 0.5 - 3 ซม. เส้นผ่านศูนย์กลาง 2.5

- 8 มม. ส่วนมากก้านไม่อุ้ยกึงกลางดอกจะเยื่องไปข้างได้ข้างหนึ่ง มีขนละเอียดสีเทาเมื่อ่อนมากๆ เนื้อเห็ดเนี้ยวยังเล็กน้อย สปอร์ค่อนข้างกลมหรือรี ใส ไม่มีสี ขนาด  $2 \times 5.5$  ไมโครเมตร ที่ปลายข้างหนึ่งของสปอร์มีติ่งเล็ก ๆ ในครีบมีซิสทิเดีย 2 ชนิด ชนิดที่อยู่ตามขอบครีบรูปใบพาย ขนาด  $4 - 6 \times 18 - 23$  ไมโครเมตร อีกชนิดหนึ่งเริ่มแรกอยู่ตามชั้นของเซลล์สร้างสปอร์รูป芽รีหรือรูปคนโถ ขนาด  $5 - 7 \times 28 - 45$  ไมโครเมตร ซิสทิเดียชนิดนี้มีผนังหนาและมักมีเส้นใยสัน ๆ เรียงล้อมรอบเป็นกลุ่มเล็ก ๆ รูปสามเหลี่ยม โดยเห็ดหุกว้างหรือเห็ดเพ็กมีเขตการกระจายพันธุ์ในประเทศไทยทั่วทุกภาค ขั้นกระจัดกระจายหรือเป็นกลุ่มบนลำไม้ไผ่แห้งและตามกอหญ้าเพ็กที่ต่ายแล้ว เป็นเห็ดกินได้ พบรได้ทั่วโลก เมื่อพิจารณาในแง่ของการใช้ *L. strigosus* มากำจัดลิกนินพบว่ามีรายงานวิจัยที่เกี่ยวข้องน้อยมาก ในขณะที่มีรายงานการใช้ *Lentinus edodes* (เห็ดหอม) มากำจัดสีเย็บอย่างกว้างขวาง อย่างไรก็ตามจากรายงานวิจัยดังกล่าวเป็นการยืนยันได้ว่าในจีนสนีสามารถกำจัดสารประกอบที่มีโครงสร้างซับซ้อนได้ และด้วยเหตุผลที่ว่า *L. strigosus* เป็นเห็ดพื้นเมืองที่สามารถพึ่งได้ทุกภาคและเริ่มได้ในอุณหภูมิของประเทศไทย



รูปที่ 2.7 ลักษณะดอกเห็ดของ *L. strigosus*

Manzanares และคณะ (1995) ทำการศึกษาการบำบัดสีน้ำของน้ำทึ้งจากขั้นตอนการต้มเยื่อกระดาษด้วยสารละลายด่างของโรงงานผลิตกระดาษและเยื่อกระดาษ โดยใช้ราขวainในกลุ่ม *Trametes versicolor* IJFM A-137 ผลการศึกษาพบว่า เชื้อราในกลุ่มดังกล่าวสามารถกำจัดปริมาณสีในน้ำทึ้งได้ 21% ภายในระยะเวลาการบำบัด 9 วัน และพบว่ามีปริมาณเอนไซม์แคลคेशันสูงผลิตขึ้นจากเชื้อราขวainเป็นเอนไซม์หลักในกระบวนการย่อยสลายสารประกอบลิกนินในน้ำทึ้ง ในลักษณะงานวิจัยเดียวกัน Calvo และคณะ (1998) ทำการศึกษาเชื้อราขวainในกลุ่ม *Coriolopsis gallica* เพื่อลดสีในน้ำทึ้งจากโรงงานกระดาษที่มีสภาพ

เป็นด่าง ( $\text{pH} < 7$ ) และพบว่าเชื้อ *C. gallica* จะสร้างเอนไซม์แคลเคสในระหว่างกระบวนการลดสี ซึ่งเอนไซม์แคลเคสจะถูกสร้างมากที่สุดในอาหารที่มีส่วนประกอบของน้ำทึ้งจากโรงงาน โดยกิจกรรมของเอนไซม์แคลเคสจะสามารถตรวจวัดได้หลังจากการระยะเวลาการบำบัด 2 วัน

## 6. การบำบัดน้ำเสียด้วยกระบวนการถังปฏิกรณ์เยื่อกรอง

ถังปฏิกรณ์เยื่อกรองเป็นระบบบำบัดน้ำเสียที่มีการผสมผสานกระบวนการพื้นฐาน 2 ขั้นตอน ที่ได้ปรับเปลี่ยนมาจากระบบแยกทิเวเต็ตสลัดจ์ คือ อาศัยการทำงานร่วมกันของการบำบัดทางชีวภาพและการบำบัดทางกายภาพ (พรทิพย์ และ ศุภลักษณ์, 2552) ซึ่งการทำงานของถังปฏิกรณ์เยื่อกรองจะทำการโดยสาร แขวนลอยและสารอินทรีย์เล็กๆ ถูกย่อยสลายได้ด้วยจุลินทรีย์จะถูกแยกตัวออกจากน้ำจากการกรองด้วยเยื่อเมมเบรน (จันทร์ทรงกลด, 2550)

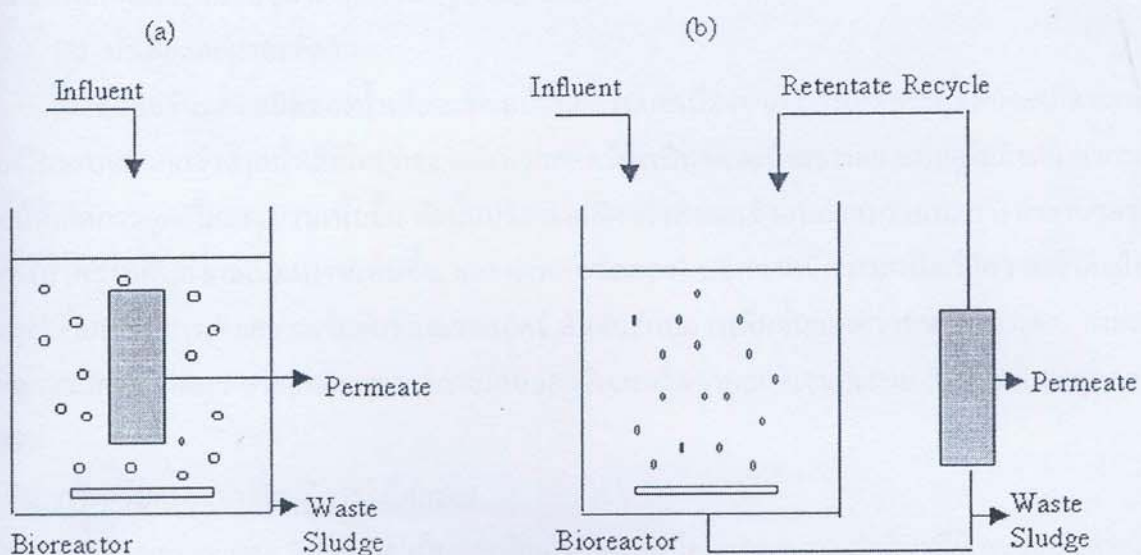
กระบวนการถังปฏิกรณ์เยื่อกรองมีลักษณะเฉพาะตัวซึ่งแตกต่างจากการแยกติเวเต็ตสลัดจ์ หลายประการ ตัวอย่างเช่น ถังปฏิกรณ์เยื่อกรองช่วยเพิ่มความเข้มข้นของชีวมวลในระบบทำให้มีประสิทธิภาพในการกำจัดสารได้สูงและช่วยลดขนาดของถังเนื่องจากไม่ต้องใช้ถังตกตะกอน ทำให้อัตราการไหลของน้ำเข้าระบบไม่มีผลต่อการตกตะกอนเหมือนที่เกิดในแยกติเวเต็ตสลัดจ์ และนอกจากนี้ Hydraulic shock/Organic shock มีผลน้อยมากต่อการทำงานของระบบเนื่องด้วยคุณสมบัติเหล่านี้จึงทำให้กระบวนการถังปฏิกรณ์เยื่อกรองจึงมีประสิทธิภาพในการบำบัดน้ำเสียได้สูงกว่าระบบบำบัดน้ำเสียแบบเดิม (พรทิพย์ และ ศุภลักษณ์, 2552)

ลักษณะทั่วไปของถังปฏิกรณ์เยื่อกรอง ภายในถังปฏิกรณ์น้ำเสียจะถูกสูบจากถังพักน้ำเสียเข้าถังที่มีการติดตั้งชุดเมมเบรนและที่เติมอากาศเพื่อให้สัมผัสกับตตะกอนจุลินทรีย์ภายในถัง จุลินทรีย์จะย่อยสลายสารอินทรีย์ในน้ำเสียด้วยการย่อยสลายแบบใช้ออกซิเจน และทำการกรองน้ำสะอาดออกด้วยเมมเบรนที่บรรจุอยู่ภายในถัง น้ำที่ผ่านการกรองแล้วจะถูกดึงออกจากระบบ ส่วนจุลินทรีย์จะถูกดึงกลับไปที่เครื่องทำปฏิกรณ์ทางชีวภาพและตะกอนของเสียที่เป็นส่วนเกินจะถูกสูบออกไป มวลจุลินทรีย์จะถูกจำกัดอยู่ภายในระบบที่มีการจัดเตรียมทั้งเรื่องการควบคุมอายุของเชื้อจุลินทรีย์ที่อยู่ในถังปฏิกรณ์การทำความสะอาดเมมเบรนสามารถทำได้โดยอาศัยหลักการเติมอากาศจากหัวปั๊มอากาศ ซึ่งอากาศจะถูกปล่อยเข้าไปจากด้านล่างของชุดเมมเบรนเพื่อให้ฟองอากาศยกตัวสัมผัสกับสิ่งสกปรกที่เกาะติดผิวน้ำของเมมเบรนและกำจัดสิ่งอุดตันที่ผิวน้ำของเมมเบรนออก นอกจากนั้นรูปแบบการกรองน้ำโดยให้เกิดทิศทางการไหลแบบ Cross Flow ก็จะช่วยป้องกันสิ่งตกค้างของตะกอนที่จะอุดตันผิวน้ำของเมมเบรน การทำความสะอาดเมมเบรนสามารถล้างกับน้ำหรือล้างด้วยสารเคมี

ระบบถังปฏิกรณ์เยื่อกรอง มีการใช้งานโดยทั่วไปมีอยู่ 2 รูปแบบ ได้แก่

(1) Submersed/Immersed เป็นชนิดที่ตัวของเมมเบรนจุ่มอยู่ในน้ำเสียโดยไม่ต้องดึงน้ำออกมา บำบัดข้างนอก เมมเบรนชนิดนี้จะมีราคาแพงกว่า ขึ้นอยู่กับการเลือกใช้งาน ดังแสดงในรูปที่ 2.8(a) น้ำเข้าจะถูกสูบเข้าถังปฏิกรณ์ชีวภาพเพื่อสัมผัสกับมวลชีวภาพและการกรองด้วยเมมเบรน การทำความสะอาดสามารถทำได้โดยการเติมอากาศ โดยอากาศจะถูกปล่อยเข้าไปจากทางด้านล่างของชุดเมมเบรนเพื่อกำจัดสิ่งอุดตันที่ผิวน้ำของเมมเบรนด้วยการยกตัวของฟองอากาศ (Airlift effect) การใช้งานแบบกรองข่านกับทิศทางการไหล (Cross flow) และฟองอากาศจะช่วยป้องกันสิ่งตอกเคียงของตะกอนที่จะอุดตันผิวน้ำของเมมเบรนและอากาศยังถูกใช้สำหรับการออกซิเดชันและการสันดาปภายในของจุลินทรีย์ น้ำที่ผ่านการบำบัดแล้วจะหล่อออกจากถังด้วยการดูดผ่านเมมเบรน ซึ่งในปัจจุบันการใช้เมมเบรนทั้ง MF และ UF จะใช้รูปแบบนี้

(2) Side Stream เป็นเมมเบรนชนิดที่อาศัยการดึงน้ำเสียออกมาระบบบำบัดด้วยเมมเบรนที่อยู่ข้างนอกดังแสดงในรูปภาพที่ 2.8(b) น้ำเข้าจะไหลสู่ถังปฏิกรณ์ชีวภาพ ซึ่งจะสัมผัสกับมวลชีวภาพ ของผิวน้ำจะถูกสูบจากถังปฏิกรณ์ภายใต้แรงดันไปถูกกรองผ่านเมมเบรน น้ำส่วนที่ผ่านเมมเบรนจะหล่อออกจากระบบในขณะที่มวลชีวภาพทั้งหมดจะถูกนำกลับไปสู่ถังปฏิกรณ์ ตะกอนส่วนเกินจะถูกสูบออกเพื่อควบคุมอายุตะกอนให้คงที่ และเมมเบรนจะถูกทำความสะอาดด้วยการล้างย้อนกลับ (Backwashing) ล้างด้วยสารเคมีหรือฟองอากาศ



รูปที่ 2.8 ประเภทของเมมเบรนที่มีการใช้งาน (a) เมมเบรนชนิด Submersed/Immersed MBR และ (b) เมมเบรนชนิด Side Stream MBR

ดังที่กล่าวมาข้างต้น ถังปฏิกรณ์เยื่อกรองที่นิยมใช้กันมากที่สุด คือ ชนิด Submersed/Immersed MBR เนื่องมาจากใช้พลังงานต่ำที่สุด โดยมีส่วนประกอบหลักดังนี้

### (1) เมมเบรน

ลักษณะเป็นแผ่นฟิล์มบางๆ ของสารอินทรีย์สังเคราะห์หรือสารอินทรีย์ ที่จะทำให้เกิดการแยกตัวอย่างละเอียดของอนุภาคในของเหลว เมมเบรนมีได้หลายรูปร่าง เช่น แผ่นเรียบ หลอดซึ่งมีหลายขนาด และ Hollow fiber ซึ่งที่เส้นผ่านศูนย์กลางภายในน้อยกว่าสิบเท่าของมิลลิเมตร โดยทั่วไปแล้วเมมเบรนที่ทำจากสารอินทรีย์จะมีความต้านทานต่อความดันและสารเคมี โดยเฉพาะการข้าวโพดด้วยคลอรีน แต่มีความยุ่งยากและราคาแพงกว่า เมมเบรนที่ทำจากสารอินทรีย์จะมีความยืดหยุ่นดีกว่าและสามารถใส่ไว้ในระบบที่มีเนื้อที่จำกัด ซึ่งจะได้พื้นที่ผิวต่อปริมาตรมาก (ชาลิต, 2548)

โดยทั่วไปแล้วโพลิเมอร์ส่วนใหญ่สามารถนำมารีไซเคิลเป็นเมมเบรนได้ วัสดุที่จะนำมาใช้เป็นเมมเบรนส่วนมากจะเป็นวัสดุพลาสติกที่ทนต่อแรงเชิงกลและสารเคมีที่ใช้ทำความสะอาด เป็นแบบขอบน้ำที่ทำให้เกิดการอุดตันต่ำและผลิตง่าย ราคาถูก พอลิเมอร์ที่นำมาทำเมมเบรน เช่น โพลีอีเทอร์ชัลฟอน (PES) โพลีไวนิลคลีนฟลูออโรเด (PVDF) โพลีเอทิลีน (PE) (ธนิตพร, 2552)

นอกจากนี้สมบัติทางกายภาพมีความสำคัญเป็นอย่างมาก โดยจะพิจารณาถึงขนาดของรูพรุนของเมมเบรน ทั้งนี้เพื่อเลือกใช้เมมเบรนที่มีรูพรุนเหมาะสมกับผลิตภัณฑ์ต่างๆ สมบัติทางเคมีของเมมเบรนก็มีความสำคัญมากเช่นเดียวกับคุณสมบัติทางกายภาพเมมเบรนที่ใช้จะต้องเป็นชนิดที่ขอบน้ำเพราะถ้าเป็นชนิดที่ไม่ขอบน้ำมักจะเกิดการสะสมของสารอินทรีย์ที่ผิวน้ำเมมเบรน โดยเมมเบรนอาจมีการเคลือบสารที่เป็นพลาสมาเพื่อให้เมมเบรนขอบน้ำมีความยึด性强ขึ้น (ธนปนิย์, 2548)

### (2) น้ำเสียและมวลสลัดจ์

ความเข้มข้นและชนิดของน้ำเสียจะมีผลน้อยต่อระบบเนื่องจาก การเกิดการอุดตันจะเกิดจากมวลสลัดจ์ในระบบมากกว่าจากน้ำเสียโดยตรง และมวลสลัดจ์ซึ่งเป็นของแข็งแขวนลอยที่อยู่ในถังเติมอากาศยังส่งผลให้เกิดการอุดตันเมมเบรนเพิ่มขึ้น ดังนั้นปริมาณสลัดจ์จึงส่งผลเชิงลบต่อสมรรถนะการทำงานของเมมเบรน (ค่าความดันส่งผลเมมเบรนเพิ่มขึ้น และค่าฟลักซ์ลดลง) นอกจากนี้ความหนืดก็มีความสำคัญในถังปฏิกรณ์เยื่อกรอง การเพิ่มความเข้มข้นของมวลสลัดจ์ สัมพันธ์กับการเพิ่มขึ้นของความหนืดในระบบ ส่งผลเชิงลบต่อการเกิดฟوارลิงและประสิทธิภาพการถ่ายโอนออกซิเจนหรือค่าออกซิเจนละลายน (พรทิพย์และศุภลักษณ์, 2552)

### (3) การควบคุมระบบถังปฏิกรณ์เยื่อกรอง

- Aeration or Gas Scouring เป็นการเติมอากาศเพื่อป้อนออกซิเจนแก่จุลินทรีย์ ควบคุมของเหลวและตะกอน และทำความสะอาดเมมเบรนโดยทำให้เกิดแรงเฉือนส่งผลให้ฟลักซ์สูง

- Solid Retention time (SRT) เป็นเวลาของอายุสลัดจ์ให้อยู่ในระบบ การเพิ่ม SRT เป็นการเพิ่ม MLSS และลดการเกิดสลัดจ์ที่ต้องดึงออก แต่ส่งผลให้เกิดปัญหาการอุดตันและทำให้เกิดการถ่ายเทออกซิเจน ทำได้ไม่ดี

การควบคุมการเกิดการอุดตันสำหรับระบบถังปฏิกรณ์เยื่อกรองทำได้โดยก่อนการบำบัดควรใช้การบำบัดขั้นต้น (Feed Pretreatment) เช่น ตะแกรงดักจับ หรืออาจใช้การทำความสะอาดทางกายภาพ (วิธีการล้างย้อน) หรืออาจจะมีการลดฟลักซ์โดยอัตราการไหลและลักษณะการเคลื่อนที่ของสารป้อนภายในแม่เบรน มีผลต่อการเพิ่มขึ้นของฟลักซ์และสามารถลดการเกิดการอุดตันหรือพาวลิ่งได้ ทั้งนี้เนื่องจากการเคลื่อนที่แบบปั่นป่วน มีแรงเฉือนสูง ทำให้การแพร์ลับของอนุภาคที่ผิวน้ำเมมเบรนมีมากขึ้น การสะสมของอนุภาคจึงลดลง (ฐานนี้, 2548) และเพิ่มอัตราการเติมอากาศ เพื่อให้ฟองอากาศกระจายฟองได้ดีขึ้นเพื่อช่วยลดการอุดตันทำให้ฟลักซ์สูงขึ้น นอกจากนี้อาจมีปรับสภาพของเหลวในถังปฏิกรณ์เยื่อกรอง โดยใช้วิธีการรวมตะกอน (coagulation/flocculation) โดยใช้สารพัก Alum และ Ferric chloride โดย Ferric chloride จะมีประสิทธิภาพดีกว่าแต่ราคาแพงกว่า หรืออาจมีการเพิ่มสารพักเหล็กให้แก่แบคทีเรียกลุ่มที่ย่อยซัลไฟด์เคลือบเมมเบรนด้วยสารพัก Ferric Hydroxide เติมสารดูดซับพวก PAC (Powder Activated Carbon) เพื่อให้แบคทีเรียเกาะตัวและดูดซับสารอินทรีย์ไปในตัว ซึ่งพบว่าจะช่วยลดการเกิดการอุดตันได้มาก นอกจากนั้นอาจใช้ zeolite และ cationic polymer ได้อีกด้วย (จันทร์ทรงกลด, 2550)

## 7. ปัจจัยที่ส่งผลต่อการทำางานของเมมเบรนภายในถังปฏิกรณ์เยื่อกรอง

(1) การสะสมความเข้มสูง (Concentration Polarization) คือ ปรากฏการณ์ที่เกิดการสะสมของสารอินทรีย์ หรืออนุภาคต่างๆ ใกล้ผิวน้ำเมมเบรน จนความเข้มข้นสูงกว่าค่าเฉลี่ยของสารนั้นในน้ำหลายเท่า ทำให้ฟลักซ์ลดลง แก้ไขโดยแรงดันน้ำล้างย้อน การถอดล้างด้วยสารเคมี หรือการกรองขานกับทิศทางการไหล (Cross Flow) เป็นต้น (รัตนานา, 2541)

(2) อุณหภูมิและพีอีซ อุณหภูมิที่เพิ่มขึ้น 1 องศาจะส่งผลให้ฟลักซ์เพิ่มขึ้น 3-5% แต่เมมเบรนอินทรีย์มักสลายตัวโดยปฏิกิริยาไฮโดรไลซิส ซึ่งเกิดได้ช้าที่อุณหภูมิต่ำกว่า 30 องศาเซลเซียส พีอีซ 3-7 จะทนทานต่อการต่อสารออกซิไดซ์ได้ดี ขณะที่เมมเบรนอินทรีย์ไม่ทนต่อสารออกซิไดซ์มากนัก แต่ทนทานต่อพีอีซในช่วงที่กว้างกว่า (พีอีซ 2-11) และอุณหภูมิทำงานที่ขีดจำกัดสูงกว่า 45 องศาเซลเซียส (พรทิพย์และศุภลักษณ์, 2552)

(3) ความดัน การเพิ่มแรงดันมากขึ้นจะทำให้ฟลักซ์ของเมมเบรนและคุณภาพน้ำที่ผลิตได้ดีขึ้น แต่ถ้าแรงดันเพิ่มขึ้นเกินขีดจำกัด (Critical Pressure) จะทำให้โครงสร้างและอนุภาคสารต่างๆ ที่สะสมบริเวณผิวน้ำเมมเบรนอัดตัวแน่นจนทำให้ค่าฟลักซ์ลดลง และอาจทำลายโครงสร้างภายในของเมมเบรน จนไม่อาจคืนสภาพการกรองน้ำได้ดังเดิมอีก (ฐานนี้, 2548)

(4) ความสกปรกของเมมเบรน เป็นผลมาจากการเกาสะสมของสารอินทรีย์และอนุภาคสิ่งสกปรก ต่างๆ ในรูปช่องของเมมเบรนทำให้อัตราการซึมผ่านลดลง ความดันใช้งานเพิ่มขึ้น และไม่สามารถคืนสภาพให้กลับเหมือนใหม่ได้ โดยการใช้แรงดันน้ำหรือสารเคมี ความสกปรกของเมมเบรนมีปัจจัยต่างๆ ที่เกี่ยวข้องดังต่อไปนี้

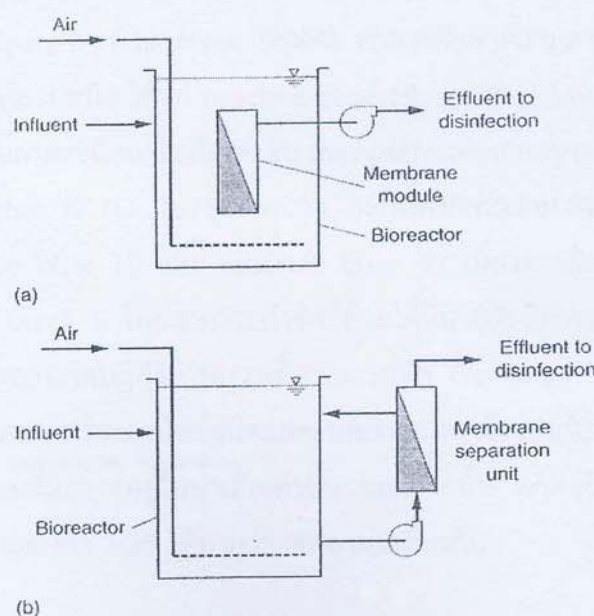
- ลักษณะของน้ำดิบที่นำมารองผ่านเมมเบรน น้ำที่นำมารองด้วยเมมเบรนนั้นมักจะมีสารอินทรีย์เพื่อป้องกันไม่มากก็น้อย สารอินทรีย์แต่ละประเภทมีผลต่อการเกิดความสกปรกต่างกันไปตามขนาดโครงสร้าง

ของไม่เลกุลและแรงกระทำระหว่างผิวเมมเบรนกับตัวมันเอง เมื่อสารอินทรีย์หล่ายังนิดรูมอยู่ในสารละลายนี้กันหรือมีความเข้มข้นสูงจะก่อให้เกิดความสกปรกมากกว่าที่อยู่เป็นชนิดเดียวๆหรือความเข้มข้นต่ำตามลำดับ

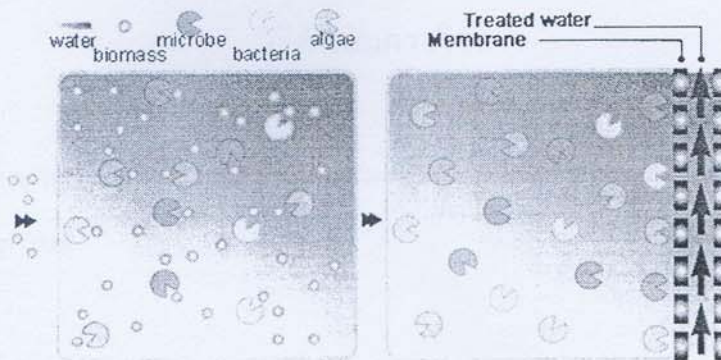
- วัสดุที่ใช้เมมเบรนรวมถึงขนาดและการกระจายของรูช่องว่างบนเมมเบรน มีผลต่ออัตราการเกิดความสกปรก เช่นกัน

- การปรับสภาพน้ำเบื้องต้น ได้แก่ การกำจัดอนุภาคแขวนลอยขนาดใหญ่ การปรับพีเอชและอุณหภูมิ และการกำจัดน้ำมัน ไขมัน เป็นต้น จะสามารถเพิ่มอัตราการซึมผ่านเมมเบรนและบรรเทาปัญหาความสกปรกให้ระบบมีอัตราการทำงานที่ยาวนานขึ้น (จันทร์ทรงกรด, 2550)

ปัจจุบันการประยุกต์ใช้กระบวนการไมโครฟิลตรציה (Microfiltration, MF) ได้ถูกนำมาใช้อย่างแพร่หลายในกระบวนการบำบัดน้ำเสียจากอุตสาหกรรมและชุมชน ทั้งในกระบวนการที่ต้องใช้อากาศและกระบวนการไร้อากาศ โดยมีวัสดุประสงค์หลักเพื่อใช้แยกของแข็งแขวนลอยและเซลล์ของจุลินทรีย์ออกจากน้ำเสียก่อนปล่อยสู่แหล่งรับน้ำทั้งภายนอก หลักการทำงานของกระบวนการ MF คือ การแยกส่วนของแข็งหรือแยกส่วนที่ไม่ต้องการออกจากของเหลวโดยการกรองผ่านเยื่อกรองที่มีขนาดรูพรุนขนาดเล็ก (Microporous) ซึ่งมีขนาดของรูพรุนอยู่ในช่วงระหว่าง 0.1-10 ไมโครเมตร โดยการติดตั้งแผ่นเยื่อกรองสามารถติดตั้งได้ทั้งภายในและภายนอกถังปฏิกรณ์เยื่อกรอง (membrane bioreactors, MBR) แสดงดังรูปที่ 2.9 ทั่วไประบบ MBR จะประกอบด้วย bioreactor ที่มีจุลินทรีย์ (biomass) กระจายอยู่ภายในถังปฏิกรณ์โดยจุลินทรีย์จะทำหน้าที่ย่อยสลายสารประกอบต่างๆ ของน้ำเสียในถังปฏิกรณ์ จากนั้นจึงแยกน้ำเสียที่ผ่านการบำบัดแล้วออกจากถังปฏิกรณ์โดยใช้เยื่อกรองแบบ MF ดังแสดงในรูปที่ 2.10



รูปที่ 2.9 ตำแหน่งการติดตั้งเยื่อกรอง (a) ติดตั้งภายในถังปฏิกรณ์ และ (b) ติดตั้งภายนอกถังปฏิกรณ์  
ที่มา: Tchobanoglous และคณะ 2003



รูปที่ 2.10 หลักการทำงานของถังปฏิกรณ์เยื่อกรอง

การประยุกต์ใช้ถังปฏิกรณ์เยื่อกรองร่วมกับเชื้อราขาวในการบำบัดน้ำเสียได้ถูกพัฒนาขึ้นอย่างแพร่หลาย โดย Kim และคณะ 2004 พบว่าการใช้ราขาว *Trametes versicolor* KCTC 16781 ในระบบ MBR และใช้แผ่นกรองชนิดօสโมซิสผันกลับ (reverse osmosis) เพื่อกำจัดสีเย้อม 3 ชนิด ได้แก่ reactive blue 19, reactive blue 49 และ reactive black 5 ในถังปฏิกรณ์ขนาด 2.5 ลิตร ซึ่งบรรจุอาหารแร่ธาตุ ตามสูตรของ Kirk ปริมาณ 1.7 ลิตร พบว่าสามารถลดปริมาณสีทั้ง 3 ชนิดได้ 76.9 %, 100 % และ 99.1 % ตามลำดับ และลดปริมาณ TOC ได้ 98.9% 94.8% และ 99.2% ตามลำดับ ซึ่งจะเห็นได้ว่าการประยุกต์ใช้ราขาวร่วมกับการกรองด้วยเมมเบรนเพื่อใช้ในการบำบัดสีเย้อมและสารอินทรีย์เป็นทางเลือกหนึ่งที่มีความน่าสนใจศึกษาต่อไป

นอกจากนี้ Tak-Hyun Kim และคณะ (2004) ทำการศึกษาความสามารถในการกำจัดสีของน้ำเสียสังเคราะห์ซึ่งเตรียมจากสีเย้อม 3 ชนิด ได้แก่ reactive blue 19, reactive blue 49 และ reactive black 5 โดยใช้ระบบ MBR และแผ่นกรองชนิดโนโนฟิลเตอร์ชั้น (Nanofiltration) และรือส์โมซิสผันกลับร่วมกับเชื้อราขาว *Trametes versicolor* KCTC 16781 พบว่า ระบบดังกล่าวสามารถที่จะกำจัดสีเย้อมทั้ง 3 ชนิดโดยเฉพาะอย่างยิ่ง reactive blue 19 และ reactive blue 49 เนื่องจากลักษณะโครงสร้างและขนาดของโมเลกุลเล็กกว่า reactive black 5 โดยสามารถกำจัดสีเย้อมได้มีประสิทธิภาพสูงกว่า 99% ภายในเวลาการบำบัด 8 ชั่วโมง ซึ่งระหว่างการเกิดปฏิกริยาพบว่าเชื้อราขาวชนิด *Trametes versicolor* จะไม่สร้างเอนไซม์ชนิดลิกนินเปอร์ออกซิเดสโดยจะสร้างเอนไซม์ชนิดแลคเคสและแมงกานีสเปอร์ออกซิเดสเพื่อย่อยสลายพื้นที่ต่างๆ ในโครงสร้างของสีเย้อมที่คล้ายอยู่ในน้ำเสียเท่านั้น นอกจากนั้น ระบบดังกล่าวที่ยังสามารถลดปริมาณสารอินทรีย์ที่ละลายน้ำในรูปของค่า TOC ได้มากกว่า 90% เช่นเดียวกัน

## บทที่ 3

### วิธีดำเนินการวิจัย

#### 1. การศึกษาชนิดของธาตุอาหารที่เหมาะสมต่อการผลิตเอนไซม์ย่อยสลายลิกนินของเชื้อราขาว

##### สายพันธุ์ *L. strigosus*

###### 1.1 การเตรียมกล้าเชื้อรา *L. strigosus*

เขี่ยเส้นไบรเวนที่กำลังเจริญของเชื้อรา *L. strigosus* จาก stock culture ที่เก็บรักษาไว้ที่ อุณหภูมิ 4 องศาเซลเซียส วางที่กลางภาชนะอาหาร PDA นานใหม่ นำไปปั่นที่อุณหภูมิห้อง (ประมาณ 30 องศาเซลเซียส) เป็นเวลา 5 วัน จนเส้นไสีขาวแพร่กระจายเต็มภาชนะอาหาร จากนั้นใช้แท่งเจาะรุน (Cork borer) เบอร์ 3 ขนาดเส้นผ่านศูนย์กลาง 7.0 มิลลิเมตร ตัดส่วนปลายเส้นไบรเวนริมขอบของ *L. strigosus* เพื่อใช้เป็นกล้าเชื้อ (Inoculum) สำหรับการทดลองต่อไป

###### 1.2 การศึกษาการเจริญและการผลิตเอนไซม์ย่อยสลายลิกนิน (Ligninolytic enzymes) ของเชื้อราขาว

##### สายพันธุ์ *L. strigosus*

ถ่ายกล้าเชื้อรา *L. strigosus* อายุ 5 วัน จำนวน 10 ชิ้นรุน ลงในขวดรูปทรงพู่ขนาด 250 มิลลิลิตร ที่บรรจุอาหาร Minimal Medium (MM) ปริมาตร 100 มิลลิลิตร โดยมีน้ำตาลกลูโคสและ yeast extract เป็นแหล่งคาร์บอนและในต่อเนื่องตามลำดับ จากนั้นทำการเพาะเลี้ยงบนเครื่องขยายความเร็วรอบที่ 150 รอบต่อนาที ที่อุณหภูมิห้อง โดยเก็บตัวอย่างทุกวันเพื่อวิเคราะห์น้ำหนักเซลล์แห้ง (Cell dry weight) และกิจกรรมเอนไซม์ย่อยสลายลิกนินทั้ง 3 ชนิด ได้แก่ เอนไซม์แลคเคส (LAC) เอนไซม์แมงกานีสเปอร์ออกซิเดส (MnP) และเอนไซม์ลิกนินเปอร์ออกซิเดส (LiP)

1.2.1 เอนไซม์แลคเคส วัดจากอัตราการเพิ่มขึ้นของค่าการดูดกลืนแสงของ cation radical (2, 2 azino-bis-3-ethylbenzothiazoline-6-sulfonate, ABTS<sup>•+</sup>) จากปฏิกิริยาออกซิเดชันของ ABTS ตามวิธีของ Eggert *et al.* (1996) โดยส่วนผสมที่เกิดปฏิกิริยา (Reaction mixture) ประกอบด้วยสารละลายน้ำ ABTS ความเข้มข้น 0.588 มิลลิโมลาร์ ปริมาตร 850 ไมโครลิตร เป็นสับสเตรต (Substrate) สารละลายน้ำออกซิเดตบัฟเฟอร์ pH 4.5 ความเข้มข้น 1 มิลลิลิตร ปริมาตร 100 ไมโครลิตร และสารละลายน้ำเอนไซม์ปริมาตร 50

ไมโครลิตเตอร์ หลังจากการทำปฏิกิริยา วัดอัตราการเพิ่มขึ้นของค่าการดูดกลืนแสงที่ความยาวคลื่น 420 นาโนเมตร แล้วคำนวณกิจกรรมของเอนไซม์จากค่า molar absorption coefficient ของ ABTS ซึ่งเท่ากับ 36,000 โมลต่อลิตรต่อเซนติเมตร โดย 1 หน่วยของเอนไซม์ คือ ปริมาณเอนไซม์ที่สามารถออกซิได้ซึ่ง ABTS 1 ไมโครโมล เป็น  $ABTS^{+}$  ในเวลา 1 นาที

1.2.2 เอนไซม์แมงกานีสเปอร์ออกซิเดส วัดจากอัตราการเพิ่มขึ้นของค่าการดูดกลืนแสงของ indamine dye จากปฏิกิริยาออกซิเดชันของ 3-methyl-2-benzothiazolinone hydrazone (MBTH) ตามวิธีของ Castello *et al.* (1994) โดยส่วนผสมที่เกิดปฏิกิริยา (Reaction mixture) ประกอบด้วยสารละลาย MBTH ความเข้มข้น 0.28 มิลลิโมลาร์ ปริมาตร 250 ไมโครลิตเตอร์ เป็นสับสเตรต (Substrate) สารละลาย DMAB ความเข้มข้น 4.95 มิลลิโมลาร์ ปริมาตร 200 ไมโครลิตเตอร์ สารละลายแมงกานีสชัลเฟต ความเข้มข้น 1.5 มิลลิโมลาร์ ปริมาตร 200 ไมโครลิตเตอร์ สารละลายอะซิเตตบัฟเฟอร์ พีเอช 4.5 ความเข้มข้น 1 โมลาร์ ปริมาตร 100 ไมโครลิตเตอร์ สารละลายไฮโดรเจนเปอร์ออกไซด์ ความเข้มข้น 0.25 มิลลิโมลาร์ ปริมาตร 200 ไมโครลิตเตอร์ และสารละลายเอนไซม์ปริมาตร 50 ไมโครลิตเตอร์ หลังจากการทำปฏิกิริยา วัดอัตราการเพิ่มขึ้นของค่าการดูดกลืนแสงที่ความยาวคลื่น 590 นาโนเมตร แล้วคำนวณกิจกรรมของเอนไซม์จากค่า molar absorption coefficient ของ MBTH ซึ่งเท่ากับ 53,000 โมลต่อลิตรต่อเซนติเมตร โดย 1 หน่วยของเอนไซม์ คือ ปริมาณเอนไซม์ที่สามารถออกซิได้ซึ่ง MBTH 1 ไมโครโมล เป็น indamine dye ในเวลา 1 นาที

1.2.3 เอนไซม์ลิกนินเปอร์ออกซิเดส วัดจากอัตราการเพิ่มขึ้นของค่าการดูดกลืนแสงของ veratraldehyde จากปฏิกิริยาออกซิเดชันของ veratryl alcohol ตามวิธีของ Tein and Kirk (1984) โดยส่วนผสมที่เกิดปฏิกิริยา (Reaction mixture) ประกอบด้วยสารละลาย veratryl alcohol ความเข้มข้น 1.43 มิลลิโมลาร์ ปริมาตร 700 ไมโครลิตเตอร์ สารละลายชักซิเนตบัฟเฟอร์ พีเอช 3.0 ความเข้มข้น 200 มิลลิโมลาร์ ปริมาตร 100 ไมโครลิตเตอร์ สารละลายไฮโดรเจนเปอร์ออกไซด์ ความเข้มข้น 2.00 มิลลิโมลาร์ ปริมาตร 100 ไมโครลิตเตอร์ และสารละลายเอนไซม์ปริมาตร 100 ไมโครลิตเตอร์ หลังจากการทำปฏิกิริยา วัดอัตราการเพิ่มขึ้นของค่าการดูดกลืนแสงที่ความยาวคลื่น 310 นาโนเมตร แล้วคำนวณกิจกรรมของเอนไซม์จากค่า molar absorption coefficient ของ veratryl alcohol ซึ่งเท่ากับ 9,300 โมลต่อลิตรต่อเซนติเมตร โดย 1 หน่วยของเอนไซม์ คือ ปริมาณเอนไซม์ที่สามารถออกซิได้ซึ่ง veratryl alcohol 1 ไมโครโมล เป็น veratraldehyde ในเวลา 1 นาที

#### 1.2.4 การคำนวณกิจกรรมของเอนไซม์

$$\text{กิจกรรมเอนไซม์ (หน่วยต่อลิตร)} = \frac{dA/dt \cdot V_T \cdot 10^6}{\epsilon \cdot l \cdot V_E}$$

โดย  $dA/dt$  คือ อัตราการเปลี่ยนแปลงค่าการดูดกลืนแสงต่อนาที

$V_T$  คือ ปริมาตรทั้งหมดของ reaction mixture (มิลลิลิตร)

$V_E$  คือ ปริมาตรของเอนไซม์ (มิลลิลิตร)

$\epsilon$  คือ ค่า molar absorption coefficient ของสับสเตรต (ไมลต์ต่อลิตร ต่อเซนติเมตร)

$l$  คือ ความกว้างของคิวเวตต์ (เซนติเมตร)

หมายเหตุ ใช้เอนไซม์ที่ถูก inactivate ในน้ำเดือดเป็นเวลา 20 นาที เป็น blank

#### 1.3 การหาแหล่งคาร์บอนที่เหมาะสมต่อการผลิตเอนไซม์ของเชื้อราขาวสายพันธุ์ *L. strigosus*

ถ่ายกล้าเชื้อรา *L. strigosus* อายุ 5 วัน จำนวน 20 ชิ้นวุ้น ลงในฟลาส์กขนาด 500 มิลลิลิตร ที่บรรจุอาหาร MM ปริมาตร 200 มิลลิลิตร โดยทำการทดลองจำนวน 8 ชุดการทดลอง (Treatment) ซึ่งแต่ละชุดทำการทดลองมีแหล่งคาร์บอนต่างชนิดกัน ได้แก่ น้ำตาลกลูโคส (Glucose) น้ำตาลฟรุกโตส (Fructose) น้ำตาลทรัฟาย (Sucrose) น้ำตาลมอลโตส (Maltose) น้ำตาลแลคโตส (Lactose) น้ำตาลเซลโลไบโอส (Cellobiose) โซลูบิลสตาร์ช (Soluble starch) และกลีเซอรอล (Glycerol) โดยทุกชุดการทดลองใช้ yeast extract เป็นแหล่งไนโตรเจน จากนั้นทำการเพาะเลี้ยงบนเครื่องเพาะเชื้อความเร็วรอบที่ 150 รอบต่อนาที ที่อุณหภูมิห้อง โดยเก็บตัวอย่างทุกๆ 2 วัน การทดลองละ 3 ชั้้า เพื่อวิเคราะห์กิจกรรมเอนไซม์แลคเคสและเอนไซม์แมงกานีส เปอร์ออกซิเดส (ในวิธีแสดงดังหัวข้อ 1.2.1 – 1.2.4)

#### 1.4 การหาแหล่งในโตรเจนที่เหมาะสมต่อการผลิตเอนไซม์ของเชื้อราขาวสายพันธุ์ *L. strigosus*

ถ่ายกล้าเชื้อรา *L. strigosus* อายุ 5 วัน จำนวน 20 ชิ้นวุ้น ลงในฟลาส์กขนาด 500 มิลลิลิตร ที่บรรจุอาหาร Minimal Medium ปริมาตร 200 มิลลิลิตร โดยทำการทดลองจำนวน 7 ชุดการทดลอง (Treatment) ซึ่งแต่ละชุดการทดลองมีแหล่งในโตรเจนต่างชนิดกัน ได้แก่ ยีสต์สกัด (Yeast extract) บีฟสกัด (Beef extract) เปปตโน (Peptone) แอล-แอสพาราจีน (L-Asparagine) และโมโนเนี่ยมไนเตรต ( $\text{NH}_4\text{NO}_3$ )

แอมโมเนียมซัลเฟต ( $(\text{NH}_3)_2\text{SO}_4$ ) และยูเรีย (Urea) โดยทุกชุดการทดลองใช้น้ำตาลกลูโคสเป็นแหล่งคาร์บอน จากนั้นทำการเพาะเลี้ยงบนเครื่องเพาะเชื้อความเร็วรอบที่ 150 รอบต่อนาที ที่อุณหภูมิห้อง โดยเก็บตัวอย่างทุก ๆ 2 วัน การทดลองละ 3 ชั้้า เพื่อวิเคราะห์กิจกรรมเอนไซม์แลคเคสและเอนไซม์เมганีสเปอร์ออกซิเดส (นิวิริ แสดงดังหัวข้อ 1.2.1 – 1.2.4)

2. การศึกษาองค์ประกอบของอาหารเลี้ยงเชื้อ (Medium composition) ที่เหมาะสมต่อการผลิตเอนไซม์ย่อยสลายลิกนินของ *L. strigosus*

การทดลองนี้พิจารณาปัจจัย (Factor) และระดับ (Level) ของปัจจัยที่มีผลต่อการผลิตเอนไซม์ย่อยสลายลิกนินของ *L. strigosus* จำนวน 4 ปัจจัย ประกอบด้วย ความเข้มข้นเซลโลไบโอด (กรัม/ลิตร) ความเข้มข้น peptone (กรัม/ลิตร) ความเข้มข้น L-Asparagine (กรัม/ลิตร) และความเข้มข้น  $\text{CuSO}_4$  (กรัม/ลิตร) โดยแต่ละปัจจัยจะมี 3 ระดับ ซึ่งวิธีทางวิจัยแสดงความสัมพันธ์ระหว่างจำนวนการทดลอง ปัจจัยและระดับของปัจจัยในรูปของ orthogonal array (OA) โดยการทดลองที่ประกอบด้วยปัจจัยที่มี 3 ระดับ จำนวน 4 ปัจจัย สามารถใช้ OA แบบ  $L_9(3^4)$  ดังแสดงในตารางที่ 3.1

ตารางที่ 3.1 ปัจจัยและระดับของปัจจัยที่กำหนด

ปัจจัย	ระดับ		
	1	2	3
1. ความเข้มข้นเซลโลไบโอด (กรัม/ลิตร): A	5.00	10.00	15.00
2. ความเข้มข้น peptone (กรัม/ลิตร): B	0.3125	0.6250	1.2500
3. ความเข้มข้น L-Asparagine (กรัม/ลิตร): C	0.3125	0.6250	1.2500
4. ความเข้มข้น $\text{CuSO}_4$ (กรัม/ลิตร): D	0.001	0.002	0.004

3. การทดสอบการบำบัดน้ำเสียที่ปนเปื้อนลิกนินโดยเอนไซม์ย่อยสลายลิกนิน ของ *L. strigosus*

ถ่ายกล้าเชื้อรา *L. strigosus* จำนวน 20 ชิ้นวัน ลงในฟลาสก์ขนาด 500 มิลลิลิตร ซึ่งบรรจุน้ำเสียปริมาตร 200 มิลลิลิตร ที่มีอาหาร Minimal Medium สูตร optimized เป็นองค์ประกอบหลักและผสมด้วยน้ำเสียจากโรงงานผลิตเยื่อและกระดาษ จากนั้นทำการเพาะเลี้ยงบนเครื่องเพาะเชื้อความเร็วรอบที่ 150 รอบต่อ

นาทีที่อุณหภูมิ ห้อง โดยเก็บตัวอย่างทุกชั่วโมงที่ 0 6 12 18 24 30 36 42 48 72 96 120 144 168 และ 192 ทำการทดลองละ 3 ช้ำ เพื่อวิเคราะห์ประสิทธิภาพการกำจัดสี (%) Decolorization และกิจกรรมเอนไซม์แลคเคนและเอนไซม์แมงกานีสเปอร์ออกซิเดส (ในวิธีแสดงดังหัวข้อ 1.2.1 1.2.4)

### 3.1 การหา้น้ำหนักเซลล์แห้ง

หา้น้ำหนักเซลล์แห้ง (Cell dry weight) ตามวิธีของ Erkurt และคณะ (2007) โดยนำกระดาษกรองเบอร์ 4 (Whatman, England) ไปอบในตู้ควบคุมอุณหภูมิที่ 90 องศาเซลเซียส เป็นเวลา 24 ชั่วโมง จากนั้นนำออกมายังในเดซิเคเตอร์เป็นเวลา 30 นาที จึงนำออกมายังหา้น้ำหนักที่แน่นอน (Constant weight) แล้วบันทึกค่าเป็นน้ำหนักกระดาษกรองเปล่า ( $W_2$ )

กรองเชื้อรา *L. strigosus* ที่เพาะเลี้ยงในฟลาสก์ผ่านกระดาษกรองที่ทราบน้ำหนัก นำไปอบในตู้ควบคุมอุณหภูมิที่ 90 องศาเซลเซียส เป็นเวลา 24 ชั่วโมง จากนั้นนำออกมายังในเดซิเคเตอร์เป็นเวลา 30 นาที จึงนำออกมายังหา้น้ำหนักที่แน่นอน บันทึกค่าเป็นน้ำหนักร่วมระหว่างกระดาษกรองและเชื้อรา *L. strigosus* ( $W_1$ ) โดยสามารถคำนวณน้ำหนักเซลล์แห้ง (Cell dry weight) ได้ดังนี้

$$\text{น้ำหนักเซลล์แห้ง (กรัม/ลิตรของอาหารเลี้ยงเชื้อ)} = (W_1 - W_2)$$

### 3.2 การหาร้อยละการกำจัดสี (%) Dye removal)

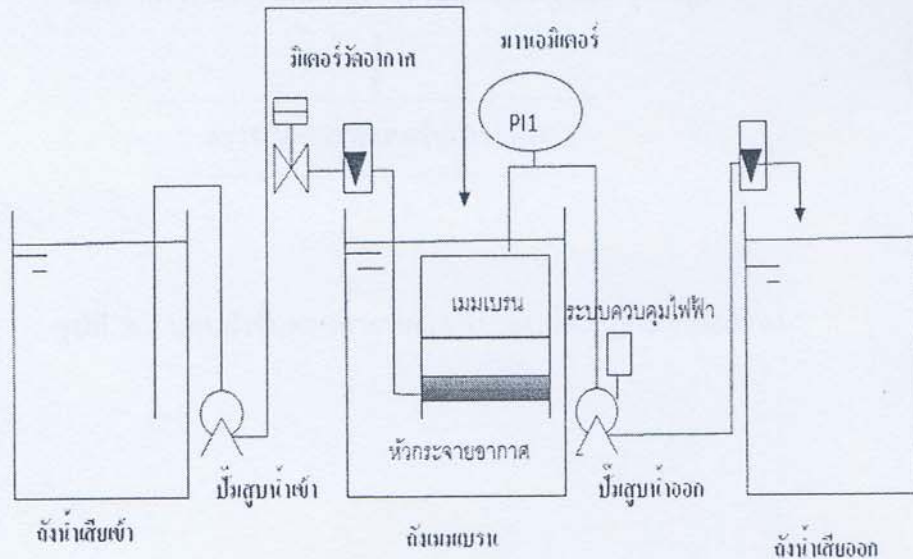
นำสารละลายตัวอย่างมาปั่นให้วิ่งเพื่อแยกส่วนใส่ด้วยเครื่องหมุนให้วิ่งที่ความเร็ว 10,000 รอบต่อนาที เป็นเวลา 10 นาที จากนั้นนำสารละลายส่วนใส่ที่ได้มารัดค่าการดูดกลืนแสง (Absorbance, Abs) ที่ความยาวคลื่นสูงสุด ( $\lambda_{max}$ ) ของสีย้อมแต่ละชนิด (ความยาวคลื่นสูงสุดของสี RBBR, RB5 และ indigo 4B มีค่าเท่ากับ 591, 597 และ 595 นาโนเมตร ตามลำดับ) จากนั้นนำค่าการดูดกลืนแสงไปคำนวณหาค่าร้อยละการกำจัดสีได้ดังนี้

$$\text{ร้อยละการกำจัดสี} = \frac{(\text{ค่า Abs. ก่อนการกำจัดสี} - \text{ค่า Abs. หลังการกำจัดสี}) \times 100}{\text{ค่า Abs. ก่อนการกำจัดสี}}$$

หมายเหตุ ชุดการทดลองควบคุม (Control) คือ ชุดการทดลองที่ปราศจากเชื้อรา

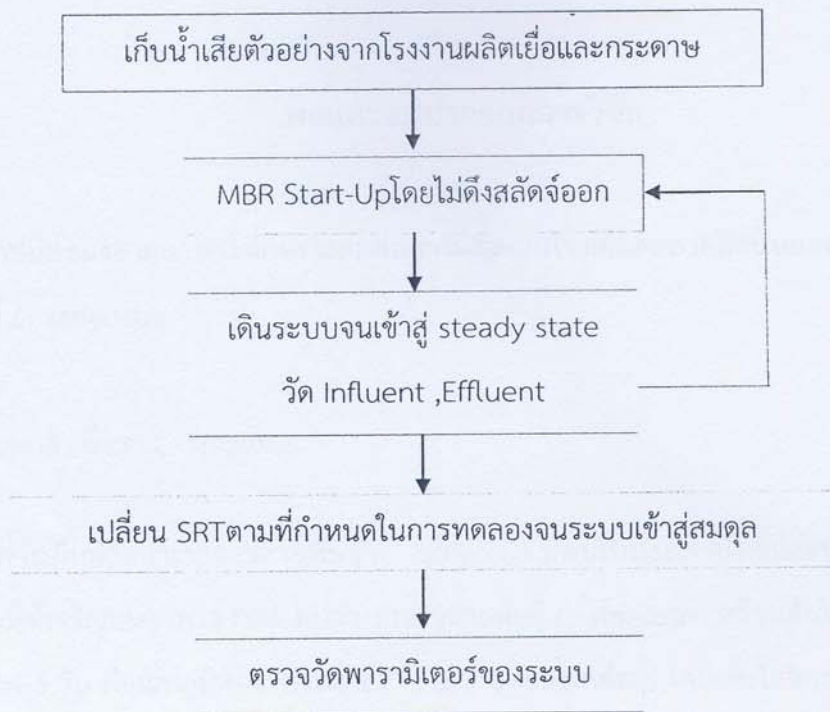
#### 4. การศึกษาการบำบัดสีจากน้ำทึ้งอุตสาหกรรมเยื่อและกระดาษของเชื้อราข้าว *L. strigosus* ภายในถังปฏิกรณ์เยื่อกรอง

แบบจำลองการบำบัดน้ำเสียจากอุตสาหกรรมการผลิตเยื่อและกระดาษของเชื้อราข้าว *L. strigosus* ภายในถังปฏิกรณ์เยื่อกรองแสดงดังรูปที่ 3.1 ซึ่งมีส่วนประกอบดังนี้ ถังปฏิกรณ์เยื่อกรองเป็นถังทำมาจากอะลิสต์ ความสูง 0.42 เมตร กว้าง 0.17 เมตร และยาว 0.17 เมตร ภายในตัวถังบรรจุเฟรมเมมเบรนทำจากเหล็กสแตนเลส ขนาดความกว้าง 15 เซนติเมตร ความยาว 7 เซนติเมตร และสูง 27 เซนติเมตร โดยมีจำนวนเมมเบรนผูกติดกับเฟรม 2 ชุด ด้านล่างจะมีหัวกระจายอากาศ 2 หัว ซึ่งจะต่อกับปั๊มอากาศ ใน 1 โมดูลของเมมเบรนจะมีพื้นที่ทั้งหมด 0.04 ตารางเมตร



รูปที่ 3.1 ผังการทำงานของระบบถังปฏิกรณ์เยื่อกรองที่ใช้ในการทดลอง

ในการทดลองใช้เมมเบรนที่ทำมาจาก Polyvinylidene fluoride (PVDF) มีพื้นที่ผิวจำเพาะ 0.02 ตารางเมตรต่อหนึ่งชุดเมมเบรน จำนวน 23 เส้น แต่ละเส้นยาว 10 เซนติเมตร 1 โมดูลของเมมเบรนจะมีพื้นที่ทั้งหมด 0.04 ตารางเมตร และควบคุมฟลักซ์ของเมมเบรนเท่ากับ 25 ลิตรต่อตารางเมตรต่อชั่วโมง ทั้งนี้ได้ติดตั้งเกจวัดความดันเพื่อติดตามความดันคร่อมเมมเบรนระหว่างด้าน Feed และด้าน Permeate โดยเมื่อความดันคร่อมเมมเบรนขึ้นถึง 15 กิโลปascal แสดงว่าเกิดการอุดตันเมมเบรน (fouling) จะถอดเมมเบรนล้างด้วยโซเดียมไอกลูโคไอิด 3,000 มก.ต่อลิตร เป็นเวลา 2 ชั่วโมง เพื่อทำความสะอาด ขั้นตอนการดำเนินการทดลองเพื่อประยุกต์ใช้เชื้อราข้าวร่วมบำบัดในถังปฏิกรณ์เยื่อกรองแสดงได้ดังรูปที่ 3.2



รูปที่ 3.2 แผนผังขั้นตอนการทดลองในระบบถังปฏิกรณ์เยื่อกรอง

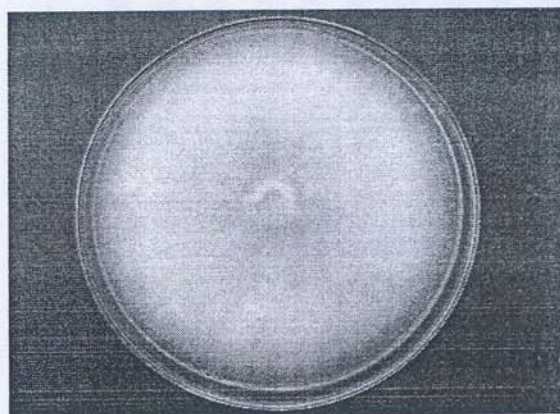
## บทที่ 4

### ผลและอภิปรายผลการวิจัย

- การศึกษาชนิดของราดอาหารที่เหมาะสมต่อการผลิตเนื้อไชเมี่ยมย่อยสลายลิกลินของเชื้อราขาวสายพันธุ์ *L. strigosus*

#### 1.1 การเตรียมกล้าเชื้อรา *L. strigosus*

จากการเก็บตัวอย่างราขาวสายพันธุ์ *L. strigosus* ที่พับในประเทศไทยและนำมาเพาะเลี้ยงภายในห้องปฏิบัติการให้เจริญบนอาหาร PDA พบว่า ราขาวสายพันธุ์ *L. strigosus* สร้างสีเส้นใบบางๆ สีขาว และใช้ระยะเวลาเพียง 5 วัน ที่อุณหภูมิห้อง (ประมาณ  $30 \pm 2$  องศาเซลเซียส) โดยเส้นใยจะกระจายจนเต็มจานเพาะ เชือค่อนข้างรวดเร็ว แสดงดังรูปที่ 4.1

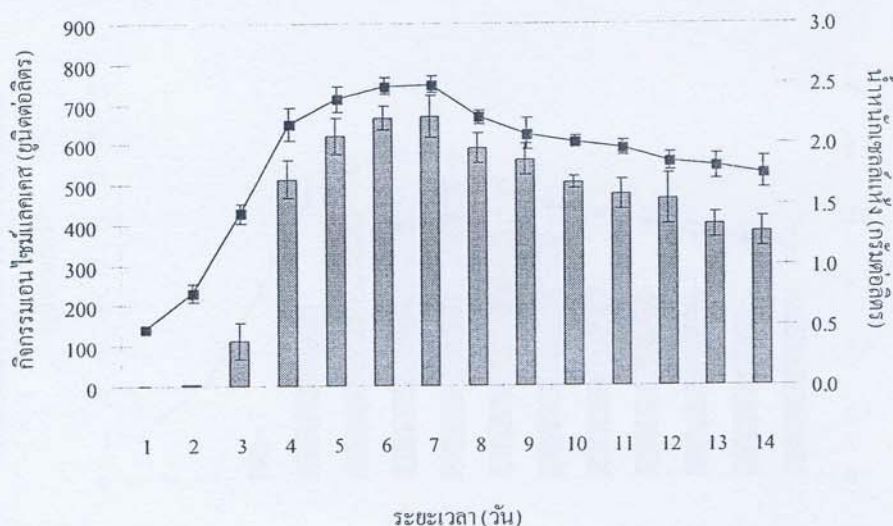


รูปที่ 4.1 การเจริญของ *L. strigosus* หรือเห็ดเพ็กในระยะสร้างสีเส้นใบบนอาหาร PDA ที่เวลา 5 วัน

1.2 การศึกษาการเจริญและการผลิตเอนไซม์ย่อยสลายลิกนิน (Ligninolytic enzymes) ของเชื้อราขา  
สายพันธุ์ *L. strigosus*

ผลจากการทดลองเพื่อศึกษาการเจริญและความสามารถในการผลิตเอนไซม์ย่อยสลายลิกนินของ *L. strigosus* ในระดับฟลาสก์ โดยใช้อาหาร Minimal Medium (MM) ที่มีกลูโคสและ yeast extract เป็นแหล่ง  
คาร์บอนและแหล่งไนโตรเจนตามลำดับ พบว่า *L. strigosus* สามารถผลิตเอนไซม์ย่อยสลายลิกนินได้ 2 ชนิด  
คือ เอนไซม์แลคเคส (Lac) และเอนไซม์แมงกานีสเปอร์ออกซิเดส (MnP) โดยตลอดระยะเวลา 14 วัน ของการ  
ทดลอง ไม่พบกิจกรรมเอนไซม์ลิกนินเปอร์ออกซิเดส (LiP) ความสัมพันธ์ระหว่างการเจริญของ *L. strigosus*  
และความสามารถในการผลิตเอนไซม์แลคเคสและเอนไซม์แมงกานีสเปอร์ออกซิเดส แสดงดังรูปที่ 4.2 และ

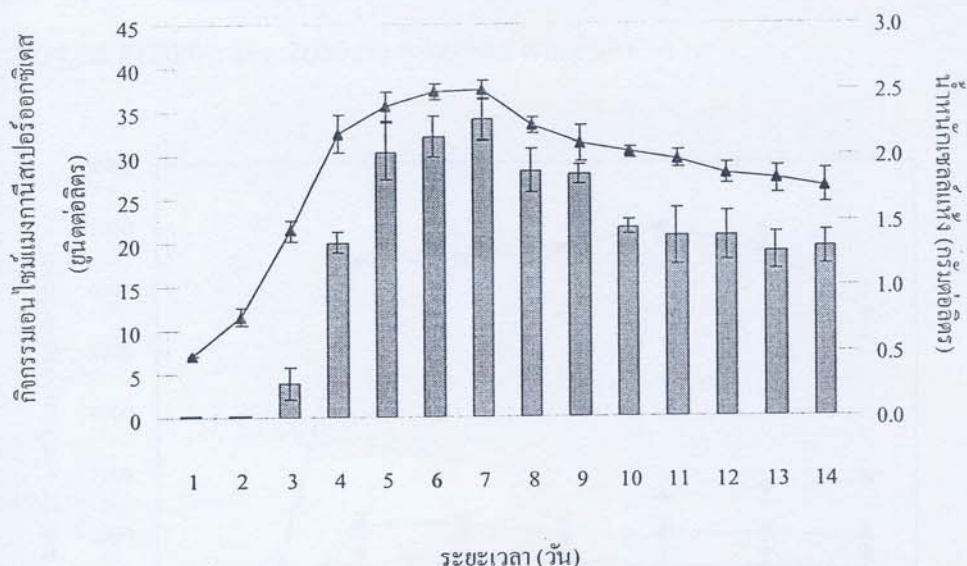
4.3 ตามลำดับ



รูปที่ 4.2 ความสัมพันธ์ระหว่างน้ำหนักเซลล์แห้ง (—■—) และกิจกรรมเอนไซม์แลคเคส (■) ของ *L. strigosus* ในช่วงของการทดลอง

น้ำหนักเซลล์แห้งของ *L. strigosus* หลังจากการทดลองผ่านไป 1 วัน มีค่าเท่ากับ 0.47 กรัม/ลิตร  
จากนั้นจะเพิ่มขึ้นอย่างรวดเร็วในช่วงการเจริญปฐมภูมิ (Primary growth) และเข้าสู่ช่วงการเจริญทุดิยภูมิ  
(Secondary growth) ในวันที่ 4 ของการทดลอง ซึ่งมีค่าน้ำหนักเซลล์แห้งเท่ากับ 2.17 กรัม/ลิตร หลังจากนั้น  
น้ำหนักเซลล์แห้งมีค่าเพิ่มขึ้นเล็กน้อยในวันที่ 5 (2.37 กรัม/ลิตร) และคงที่ในวันที่ 6 (2.48 กรัม/ลิตร) และ 7  
(2.49 กรัม/ลิตร) ของการทดลอง ส่วนกิจกรรมเอนไซม์แลคเคสในวันแรกของการทดลองมีค่าเท่ากับ 0.29 ยู  
นิต/ลิตร และเพิ่มขึ้นตามลำดับในวันที่ 2 และ 3 จากนั้นกิจกรรมเอนไซม์แลคเคสเพิ่มขึ้นอย่างรวดเร็วในวันที่

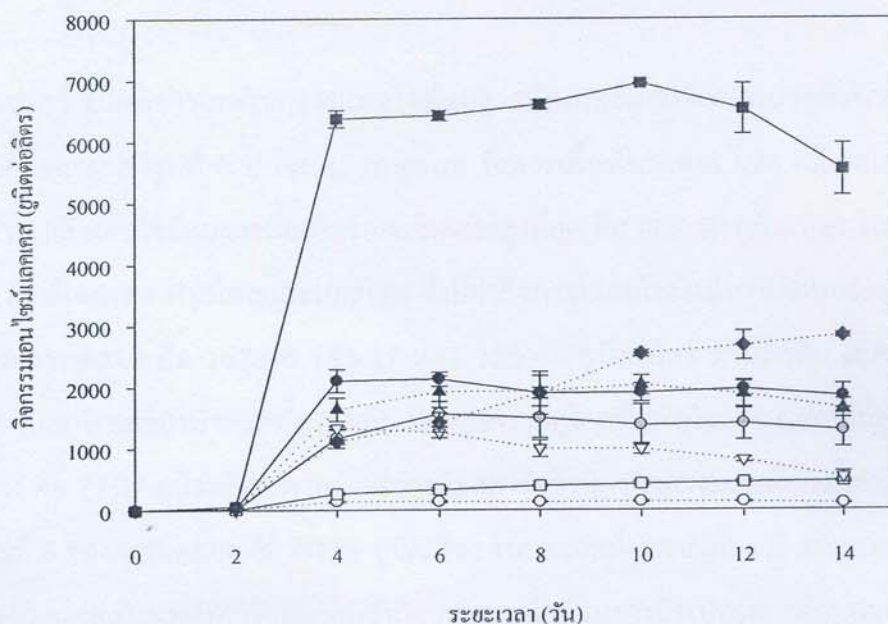
4 ของการทดลอง คือ 513.33 ยูนิต/ลิตร และเพิ่มขึ้นต่อไปจนมีค่าสูงสุดในวันที่ 7 ของการทดลอง คือ 669.81 ยูนิต/ลิตร หลังจากเวลาผ่านไป 7 วัน พบว่าทั้งน้ำหนักเซลล์แห้งและกิจกรรมเอนไซม์แลคเคสมีค่าลดลง ซึ่งสอดคล้องกับงานวิจัยของ Arora และ Gill (2000) ที่พบว่าน้ำหนักเซลล์แห้งของ *Phlebia* spp. และกิจกรรมจำเพาะของเอนไซม์แลคเคส (Specific activity) มีค่าลดลงสัมพันธ์กันในช่วงท้ายของการเจริญเติบโตเมื่อเลี้ยงในอาหาร Mineral salts broth โดยเกิดจากการสลายตัวเอง (Autolysis) ของเซลล์เชื้อราจากข้อมูลการทดลองแสดงให้เห็นว่าเอนไซม์แลคเคสของ *L. strigosus* ถูกสร้างในช่วงการเจริญทุติยภูมิโดยสอดคล้องกับรายงานของ Teerapatsakul และคณะ (2007) ซึ่งพบว่ากิจกรรมเอนไซม์แลคเคสของเชื้อรา *Ganoderma* sp. KU-Alk4 ที่เพาะเลี้ยงในอาหารเหลว Standard kirk s basal medium ถูกสร้างในช่วงการเจริญทุติยภูมิเช่นกัน นอกจากนี้ Wesenberg และคณะ (2003) ได้รายงานว่าโดยทั่วไปเชื้อราขาวจะผลิตเอนไซม์ย่อยสลายลิกนินในช่วง secondary metabolism เนื่องจากการออกซิเดชันของลิกนินในธรรมชาติจะไม่ให้พลังงานแก่เชื้อรา



รูปที่ 4.3 ความสัมพันธ์ระหว่างน้ำหนักเซลล์แห้ง (■) และกิจกรรมเอนไซม์แมงกานีสเปอร์ออกซิเดส (▲) ของ *L. strigosus* ในช่วงของการทดลอง

### 1.3 การหาแหล่งคาร์บอนที่เหมาะสมต่อการผลิตเอนไซม์ของเชื้อรากขาวสายพันธุ์ *L. strigosus*

จากการศึกษาแหล่งคาร์บอนที่เหมาะสมต่อการผลิตเอนไซม์แลคเคสของ *L. strigosus* จำนวน 8 ชนิด ได้แก่ กลูโคส ฟรุกโตส ซูโคส มอลโตส แลคโตส เซลโลไบโอล โซลูเบิลสตาร์ชและกลีเซอรอล พบว่า *L. strigosus* สามารถผลิตเอนไซม์แลคเคสได้สูงที่สุดเมื่อเพาะเลี้ยงในอาหาร Minimal Medium (MM) ที่มีน้ำตาลเซลโลไบโอลเป็นแหล่งคาร์บอน โดยมีกิจกรรมเอนไซม์แลคเคสเท่ากับ 58.95 ยูนิต/ลิตร ในวันที่ 2 ของการทดลอง (ภาพที่ 4.4) และเพิ่มสูงขึ้นจนมีค่าเท่ากับ 6374.27 ยูนิต/ลิตร ในวันที่ 4 ของการทดลอง จากนั้นกิจกรรมเอนไซม์เพิ่มขึ้นอีกเล็กน้อยจนมีค่าสูงสุดในวันที่ 10 ของการทดลอง คือ 6947.26 ยูนิต/ลิตร และค่อย ๆ ลดลงตามระยะเวลาเพาะเลี้ยงที่มากขึ้น ขณะที่เมื่อเพาะเลี้ยง *L. strigosus* ในอาหาร MM ที่มีกลีเซอรอล ฟรุกโตส และมอลโตสเป็นแหล่งคาร์บอนพบว่าสามารถผลิตเอนไซม์แลคเคสได้ต่ำกว่าเซลโลไบโอล แต่ยังมีระดับที่สูงกว่าเมื่อใช้กลูโคสเป็นแหล่งคาร์บอน โดยกิจกรรมเอนไซม์แลคเคสของ *L. strigosus* ที่ใช้กลีเซอรอล ฟรุกโตส และมอลโตสเป็นแหล่งคาร์บอนพบว่ามีค่าสูงที่สุดในวันที่ 14 6 และ 10 ของการทดลอง คือ 2834.58 2126.67 และ 2030.00 ยูนิต/ลิตร ตามลำดับ



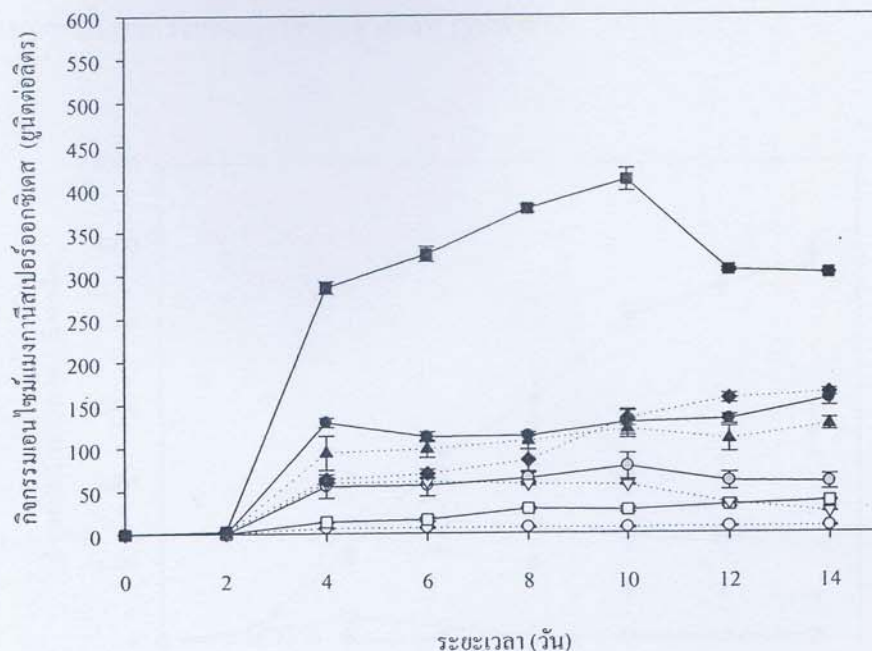
รูปที่ 4.4 ความสัมพันธ์ระหว่างกิจกรรมเอนไซม์แลคเคส (ยูนิต/ลิตร) ที่ผลิตโดย *L. strigosus*

เมื่อเพาะเลี้ยงในอาหาร MM และระยะเวลา (วัน) ที่มีแหล่งคาร์บอนต่างชนิดกัน ดังนี้

(—○— กลูโคส; —●— ฟรุกโตส; ···○··· ซูโคส; ···▲··· มอลโตส; ···□··· แลคโตส; —■— เซลโลไบโอล;  
···▽··· โซลูเบิลสตาร์ช และ ···◆··· กลีเซอรอล)

จากผลการทดลองข้างต้นพบว่ากิจกรรมเอนไซม์แลคเคสของ *L. strigosus* มีค่าสูงเมื่อใช้เซลโลไบโอด์เป็นแหล่งคาร์บอน โดยสอดคล้องกับงานวิจัยของ Galhaup *et al* (2002) ซึ่งรายงานว่าเซลโลไบโอด์และกลูโคสเป็นแหล่งคาร์บอนที่เหมาะสมของ *Trametes pubescens* MB 89 ที่เพาะเลี้ยงในอาหาร Basal medium เนื่องจากเป็นสับสเตรตที่ใช้ได้ง่ายโดยเชื้อราและเมื่อใช้กลีเซอรอลเป็นแหล่งคาร์บอนของ *L. strigosus* พบร่วมค่ากิจกรรมเอนไซม์แลคเคสของจากเซลโลไบโอด์ แต่สูงกว่าแหล่งคาร์บอนชนิดอื่น ๆ โดยกิจกรรมเอนไซม์แลคเคสค่อนข้างต่ำ เมื่อเพิ่มขึ้นในช่วง 8 วันแรกของการทดลองและสูงขึ้นอย่างชัดเจนตั้งแต่วันที่ 10 ของการทดลองเป็นต้นไป โดยผลการทดลองที่ได้มีความใกล้เคียงกับงานวิจัยของ Teerapatsakul *et al* (2007) ซึ่งรายงานว่ากลีเซอรอลเป็นแหล่งคาร์บอนที่เหมาะสมต่อการผลิตเอนไซม์แลคเคสของ *Ganoderma* sp. KU-Alk4 ภายใต้การออกแบบการทดลองแบบ box-behnken design เมื่อจากกลีเซอรอลถูกใช้อย่างช้า เมื่อเปรียบเทียบกับกลูโคส นอกจากนี้ในกรณีของโซลูบิลสตาร์ชอาจเป็นไปได้ว่า *L. strigosus* ไม่สามารถผลิตเอนไซม์ประเภทที่ไฮโดรไลซ์สารจำพวกสตาร์ชได้ ทำให้กิจกรรมเอนไซม์แลคเคสมีค่าไม่สูงมากนัก และเมื่อพิจารณาจากการทดลองข้างต้นรวมทั้งรายงานการศึกษาความสามารถในการผลิตเอนไซม์แลคเคสโดยทั่วไปของราไว์รوثที่เพาะเลี้ยงในอาหารเหลว (Submerged culture) จึงอาจกล่าวได้ว่า การพิจารณาเลือกแหล่งคาร์บอนที่เหมาะสมต่อการผลิตเอนไซม์แลคเคสโดยเชื้อรากขึ้นอยู่กับสายพันธุ์ของเชื้อรากข้าวตัวย

นอกจากนี้ เมื่อพิจารณา กิจกรรมเอนไซม์แมงกานีสเปอร์ร์ออกซิเดสพบว่ามีแนวโน้มเช่นเดียวกับกิจกรรมเอนไซม์แลคเคส (รูปที่ 4.5) โดย *L. strigosus* ที่เพาะเลี้ยงในอาหาร MM ที่มีเซลโลไบโอด์เป็นแหล่งคาร์บอนสามารถผลิตเอนไซม์แมงกานีสเปอร์ร์ออกซิเดสได้สูงที่สุด คือ 409.49 ยูนิต/ลิตร ในวันที่ 10 ของการทดลองตามด้วยกลีเซอรอล ฟรุกโตสและมอลโตส ซึ่งมีค่ากิจกรรมเอนไซม์แมงกานีสเปอร์ร์ออกซิเดสสูงที่สุดในวันที่ 14 ของการทดลอง คือ 162.08 155.17 และ 125.45 ยูนิต/ลิตร ตามลำดับ โดยกิจกรรมเอนไซม์แมงกานีสเปอร์ร์ออกซิเดสของน้ำตาลทั้ง 3 ชนิด มีค่าสูงกว่ากลูโคสที่มีค่ากิจกรรมเอนไซม์สูงที่สุดในวันที่ 10 ของการทดลอง คือ 77.39 ยูนิต/ลิตร ตามด้วยโซลูบิลสตาร์ชซึ่งมีค่ากิจกรรมเอนไซม์แมงกานีสเปอร์ร์ออกซิเดสสูงที่สุดในวันที่ 6 ของการทดลอง คือ 60.26 ยูนิต/ลิตร ในขณะที่เมื่อเพาะเลี้ยง *L. strigosus* ในอาหาร MM ที่มีโซลูบิลสตาร์ชและแลคโตสเป็นแหล่งคาร์บอน พบร่วมกิจกรรมเอนไซม์แมงกานีสเปอร์ร์ออกซิเดสลดลงอย่างรวดเร็ว 14 ของการทดลองมีค่าต่ำกว่า 40 ยูนิต/ลิตร จากผลการศึกษาชนิดของแหล่งคาร์บอนที่เหมาะสมต่อการผลิตเอนไซม์แลคเคสของ *L. strigosus* พบร่วมค่ากิจกรรมเอนไซม์แมงกานีสเปอร์ร์ออกซิเดสลดลงอย่างรวดเร็ว 14 ของการทดลองมีค่าต่ำกว่า 40 ยูนิต/ลิตร จากการทดลองมีค่ากิจกรรมเอนไซม์แลคเคสของ *L. strigosus* เนื่องจากมีรายงานว่าแหล่งในโตรเจนที่เหมาะสมต่อการผลิตเอนไซม์แลคเคสของเชื้อราก (Galhaup *et al.*, 2001; Stajic *et al.*, 2006)

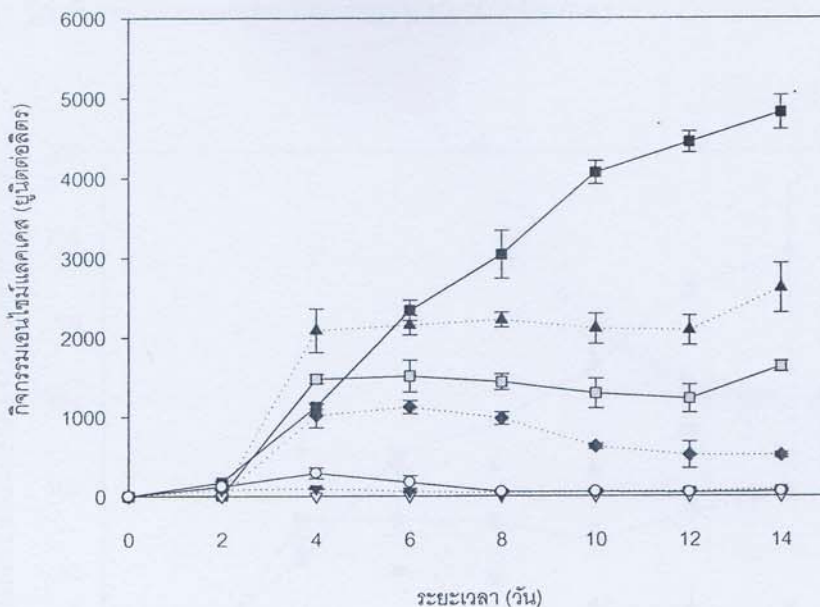


รูปที่ 4.5 ความสัมพันธ์ระหว่างกิจกรรมเอนไซม์แมงกานีสเปอร์รอกซิเดส (ยูนิต/ลิตร) ที่ผลิตโดย *L. strigosus* เมื่อเพาะเลี้ยงในอาหาร MM และระยะเวลา (วัน) ที่มีแหล่งการบอนต่างชนิดกัน ดังนี้  
 (-○- กลูโคส; -●- ฟรุกโตส; ...○- ซูครอส; ....▲- มอลโตส; -□- แลคโตส; -■- เขโลโล  
 ไบโอล; ...▽- โซลูเบิลสตาร์ช และ ...◆- กลีเซอรอล)

#### 1.4 การหาแหล่งในโตรเจนที่เหมาะสมต่อการผลิตเอนไซม์ของเชื้อราขาวสายพันธุ์ *L. strigosus*

จากการศึกษาแหล่งในโตรเจนที่เหมาะสมต่อการผลิตเอนไซม์แลคเตสของ *L. strigosus* จำนวน 7 ชนิด ได้แก่ yeast extract L-Asparagine peptone beef extract urea  $\text{NH}_4\text{NO}_3$  และ  $(\text{NH}_4)_2\text{SO}_4$  พบว่า *L. strigosus* สามารถผลิตเอนไซม์แลคเตสได้สูงที่สุดเมื่อเพาะเลี้ยงในอาหาร Minimal Medium (MM) ที่มี L-Asparagine เป็นแหล่งในโตรเจน โดยกิจกรรมเอนไซม์แลคเตสเพิ่มสูงขึ้นอย่างชัดเจนตั้งแต่วันที่ 2 ของ การทดลองไปจนถึงวันที่ 10 ของการทดลอง ซึ่งมีค่ากิจกรรมเอนไซม์แลคเตสเท่ากับ 4068.31 ยูนิต/ลิตร และ ค่อย ๆ เพิ่มอีกเล็กน้อยจนกระทั่งวันที่ 14 ของการทดลองซึ่งเป็นวันที่กิจกรรมเอนไซม์แลคเตสมีค่าสูงที่สุด คือ 4818.60 ยูนิต/ลิตร ขณะที่เมื่อเพาะเลี้ยง *L. strigosus* ในอาหาร MM ที่มีแหล่งในโตรเจนอื่น ๆ (peptone, yeast extract และ beef extract) พบว่ากิจกรรมเอนไซม์แลคเตสมีค่าต่ำกว่าเมื่อใช้ L-Asparagine เป็น

แหล่งในต่อเจน โดยกิจกรรมเอนไซม์แลคเคสเพิ่มขึ้นอย่างรวดเร็วจากวันที่ 2 ของการทดลองไปจนถึงวันที่ 4 ของการทดลอง จากนั้นกิจกรรมเอนไซม์ค่อนข้างคงที่ (รูปที่ 4.6)



รูปที่ 4.6 ความสัมพันธ์ระหว่างกิจกรรมเอนไซม์แลคเคส (ยูนิต/ลิตร) ที่ผลิตโดย *L. strigosus*

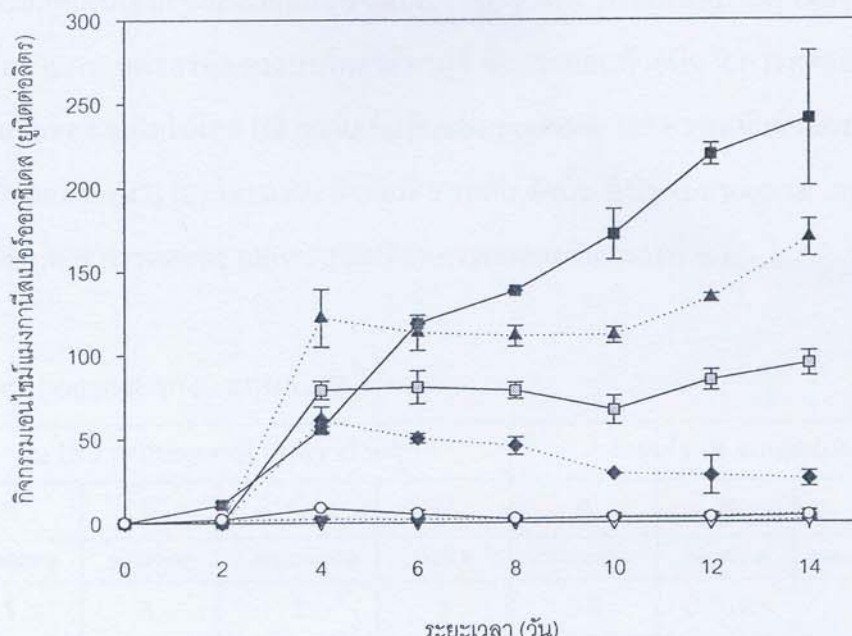
เมื่อเพาะเลี้ยงในอาหาร MM และระยะเวลา (วัน) ที่มีแหล่งในต่อเจนต่างชนิดกัน ดังนี้

(—□— Yeast extract; —■— L-Asparagine; ...▲... Peptone; ...◆... Beef extract; ...▽... Urea;  
...▼...  $\text{NH}_4\text{NO}_3$  และ ...○...  $(\text{NH}_4)_2\text{SO}_4$  )

ส่วนการเพาะเลี้ยง *L. strigosus* ในอาหาร MM ที่มี urea  $\text{NH}_4\text{NO}_3$  และ  $(\text{NH}_4)_2\text{SO}_4$  เป็นแหล่งในต่อเจนพบว่า กิจกรรมเอนไซม์แลคเคสลดลงอย่างรวดเร็วจากวันที่ 2 ของการทดลอง ลดลงเหลือ 0 ยูนิต/ลิตร โดยกิจกรรมเอนไซม์แลคเคสของ *L. strigosus* เมื่อใช้ urea  $\text{NH}_4\text{NO}_3$  และ  $(\text{NH}_4)_2\text{SO}_4$  เป็นแหล่งในต่อเจนมีค่ากิจกรรมเอนไซม์สูงที่สุดเท่ากับ 2.94 95.08 และ 288.83 ยูนิต/ลิตร ในวันที่ 10 4 และ 4 ของการทดลอง ตามลำดับ

สำหรับการศึกษากิจกรรมเอนไซม์เมงกานีสเปอร์ออกซิเดส (รูปที่ 4.7) พบว่ามีแนวโน้มเช่นเดียวกับกิจกรรมเอนไซม์แลคเคส โดย *L. strigosus* ที่เพาะเลี้ยงในอาหาร MM ที่มี L-Asparagine เป็นแหล่งในต่อเจนสามารถผลิตเอนไซม์เมงกานีสเปอร์ออกซิเดสได้สูงที่สุด คือ 241.11 ยูนิต/ลิตร ในวันที่ 14 ของการทดลอง ขณะที่เมื่อเพาะเลี้ยง *L. strigosus* โดยใช้ peptone เป็นแหล่งในต่อเจน พบว่ากิจกรรมเอนไซม์เมงกานีสเปอร์ออกซิเดสมีค่าสูงสุดในวันที่ 14 ของการทดลอง คือ 169.88 ยูนิต/ลิตร ตามด้วย yeast

extract และ beef extract ซึ่งมีค่ากิจกรรมเอนไซม์แมงกานีสเปอร์ออกซิเดสสูงที่สุดในวันที่ 14 แล้ว 4 ของ การทดลอง คือ 94.90 และ 61.34 ยูนิต/ลิตร ตามลำดับ ส่วนการทดลองเพาะเลี้ยง *L. strigosus* ในอาหาร MM ที่มี urea  $\text{NH}_4\text{NO}_3$  และ  $(\text{NH}_4)_2\text{SO}_4$  เป็นแหล่งไนโตรเจนพบว่า กิจกรรมเอนไซม์แมงกานีสเปอร์ออกซิเดสลดลงระหว่าง 14 วัน ของการทดลอง มีค่าต่ำกว่า 10.00 ยูนิต/ลิตร



รูปที่ 4.7 ความสัมพันธ์ระหว่างกิจกรรมเอนไซม์แมงกานีสเปอร์ออกซิเดส (ยูนิต/ลิตร) ที่ผลิตโดย *L. strigosus* เมื่อเพาะเลี้ยงในอาหาร MM และระยะเวลา (วัน) ที่มีแหล่งไนโตรเจนต่างชนิดกัน ดังนี้  
 (—■— Yeast extract; —■— L-Asparagine; ....▲.. Peptone; ....◆.. Beef extract; ....▽.. Urea;  
 ....▼..  $\text{NH}_4\text{NO}_3$  และ —○—  $(\text{NH}_4)_2\text{SO}_4$  )

จากการศึกษาชนิดของแหล่งไนโตรเจนที่เหมาะสมต่อการผลิตเอนไซม์ย่อยสลายลิกนิน ของ *L. strigosus* พบว่า L-Asparagine และ peptone สามารถเพิ่มประสิทธิภาพการผลิตเอนไซม์แลคเคสได้สูงกว่า yeast extract ประมาณ 3 และ 1.6 เท่า ตามลำดับ นอกจากนี้ยังพบว่าแหล่งไนโตรเจนประเภทสารอินทรีย์มี ความจำเป็นต่อการผลิตเอนไซม์ย่อยสลายลิกนินของ *L. strigosus* มากกว่าแหล่งไนโตรเจนประเภทสาร อินทรีย์อีกด้วย

2. การศึกษาองค์ประกอบของอาหารเลี้ยงเชื้อ (Medium composition) ที่เหมาะสมต่อการผลิตเอนไซม์ย่อยสลายลิกนินของ *L. strigosus*

2.1 การผลิตเอนไซม์ย่อยสลายลิกนินจาก *L. strigosus* ตามการทดลองที่ออกแบบโดยวิธีทางคุณภาพ

การผลิตเอนไซม์ย่อยสลายลิกนินจาก *L. strigosus* ในระดับพลาสติก โดยใช้องค์ประกอบของอาหารเลี้ยงเชื้อตามการทดลองที่ออกแบบโดยวิธีทางคุณภาพ ซึ่งประกอบด้วยปัจจัยการทดลอง จำนวน 4 ปัจจัย ได้แก่ ความเข้มข้นของเซลโลไบโอล (A) ความเข้มข้นของ peptone (B) ความเข้มข้นของ L-Asparagine (C) และความเข้มข้นของ CuSO<sub>4</sub> (D) โดยแต่ละปัจจัยมี 3 ระดับ ดังนั้น จึงใช้ orthogonal array แบบ L<sub>9</sub> (3<sup>4</sup>) ที่มีการทดลองทั้งหมด 9 การทดลอง แสดงรายละเอียดการทดลองดังตารางที่ 4.1

ตารางที่ 4.1 orthogonal array แบบ L<sub>9</sub> (3<sup>4</sup>)

Run No.	L <sub>9</sub> (3 <sup>4</sup> ) orthogonal array design				levels of variables (กรัม/ลิตร)			
	A		B		C		D	
	cellobiose	peptone	L-Asparagine	CuSO <sub>4</sub>	cellobiose	peptone	L-Asparagine	CuSO <sub>4</sub>
1	1	1	1	1	5.0	0.3125	0.3125	0.001
2	1	2	2	2	5.0	0.6250	0.6250	0.002
3	1	3	3	3	5.0	1.2500	1.2500	0.004
4	2	1	2	3	10.0	0.3125	0.6250	0.004
5	2	2	3	1	10.0	0.6250	1.2500	0.001
6	2	3	1	2	10.0	1.2500	0.3125	0.002
7	3	1	3	2	15.0	0.3125	1.2500	0.002
8	3	2	1	3	15.0	0.6250	0.3125	0.004
9	3	3	2	1	15.0	1.2500	0.6250	0.001

โดยเมื่อทำการทดลองโดยเพาะเลี้ยง *L. strigosus* ในพลาสติกขนาด 500 มิลลิลิตร ที่บรรจุอาหาร MM (องค์ประกอบแตกต่างกันในแต่ละชุดการทดลอง) pH 5.5 จำนวน 200 มิลลิลิตร เติมหัวเชื้อของ *L. strigosus* จำนวน 20 ชิ้นวัน ลงในพลาสติกแล้วนำไปเขย่าบนเครื่องเขย่าความเร็วรอบที่ 150 รอบต่อนาที เป็นเวลา 14 วัน ที่อุณหภูมิห้อง (ประมาณ 30 ± 2 องศาเซลเซียส) โดยค่าพารามิเตอร์ (Parameter) ของการ

ทดลอง คือ กิจกรรมเอนไซม์แลคเคส (LAC) และกิจกรรมเอนไซม์เมงกานีสเปอร์ออกซิเดส (MnP) จากชุดการทดลองทั้ง 9 การทดลองดังแสดงในตารางที่ 4.2 และ 4.3 ตามลำดับ

ตารางที่ 4.2 กิจกรรมเอนไซม์แลคเคสของ *L. strigosus* ในวันที่ 12 ของการทดลองภายใต้องค์ประกอบของอาหารเลี้ยงเชื้อที่แตกต่างกันตามการทดลองโดยวิธีทางวิชี

Run No.	levels of variables (กรัม/ลิตร)				Lac activity (ยูนิต/ลิตร)		
	cellobiose	peptone	asparagine	CuSO <sub>4</sub>	ครั้งที่ 1	ครั้งที่ 2	ค่าเฉลี่ย
1	5.0	0.3125	0.3125	0.001	1,853.33	1,780.00	1,816.67
2	5.0	0.6250	0.6250	0.002	9,426.67	8,808.89	9,117.78
3	5.0	1.2500	1.2500	0.004	11,173.33	11,300.00	11,236.67
4	10.0	0.3125	0.6250	0.004	6,782.22	7,186.67	6,984.44
5	10.0	0.6250	1.2500	0.001	15,831.11	16,475.56	16,153.33
6	10.0	1.2500	0.3125	0.002	9,346.67	8,540.00	8,943.33
7	15.0	0.3125	1.2500	0.002	36,627.83	31,283.82	33,955.83
8	15.0	0.6250	0.3125	0.004	5,988.93	6,620.71	6,304.82
9	15.0	1.2500	0.6250	0.001	15,388.72	15,911.76	15,650.24

ตารางที่ 4.3 กิจกรรมเอนไซม์แมงกานีสเปอร์ออกซิเดสของ *L. strigosus* ในวันที่ 12 ของการทดลอง  
ภายใต้อัองค์ประกอบของอาหารเลี้ยงเชื้อที่แตกต่างกันตามการทดลองโดยวิธีทากุชิ

Run No.	levels of variables (กรัม/ลิตร)				MnP activity (ยูนิต/ลิตร)		
	cellobiose	peptone	asparagine	CuSO <sub>4</sub>	ครั้งที่ 1	ครั้งที่ 2	ค่าเฉลี่ย
1	5.0	0.3125	0.3125	0.001	197.25	200.74	198.99
2	5.0	0.6250	0.6250	0.002	1,087.86	1,035.34	1,061.60
3	5.0	1.2500	1.2500	0.004	1,334.59	1,439.87	1,387.23
4	10.0	0.3125	0.6250	0.004	783.17	757.84	770.51
5	10.0	0.6250	1.2500	0.001	2,019.93	2,050.51	2,035.22
6	10.0	1.2500	0.3125	0.002	1,079.61	1,065.71	1,072.66
7	15.0	0.3125	1.2500	0.002	4,172.90	3,356.23	3,764.57
8	15.0	0.6250	0.3125	0.004	505.94	588.65	547.30
9	15.0	1.2500	0.6250	0.001	2,025.70	2,009.77	2,017.74

จากผลการทดลองการผลิตเอนไซม์ย่อยสลายลิกนินจาก *L. strigosus* ในระดับพลาสต์ภายใต้อัองค์ประกอบของอาหารเลี้ยงเชื้อที่แปรผัน 4 ปัจจัย (9 ชุดการทดลอง) ดังแสดงในตารางที่ 5 และ 6 พบว่า ชุดการทดลองที่ 7 มีค่ากิจกรรมเอนไซม์แลคเคสสูงที่สุด คือ 33,955.83 ยูนิต/ลิตร ในวันที่ 12 ของการทดลอง ซึ่งชุดการทดลองที่ 7 มีระดับของแต่ละปัจจัยในการทดลองดังนี้ คือ ความความเข้มข้นของเซลโลไบโอล 15 กรัม/ลิตร ความเข้มข้นของ peptone 0.3125 กรัม/ลิตร ความเข้มข้นของ L-Asparagine 1.2500 กรัม/ลิตร และความเข้มข้นของ CuSO<sub>4</sub> 0.002 กรัม/ลิตร นอกจากนี้จากผลการทดลองยังพบว่ากิจกรรมเอนไซม์แมงกานีสเปอร์ออกซิเดสที่ผลิตโดย *L. strigosus* ในวันที่ 12 ของการทดลอง มีค่าสูงที่สุดเท่ากับ 3,764.57 ยูนิต/ลิตร เมื่อเพาะเลี้ยงในอาหาร Minimal Medium ที่มีอัองค์ประกอบของอาหารเลี้ยงเชื้อตามชุดการทดลองที่ 7 เช่นเดียวกัน

2.2 การหางค์ประกอบของอาหารเลี้ยงเชื้อที่เหมาะสมต่อการผลิตเนื้อไชเม่ย้อยลายลิกนินของ *L. strigosus* โดยวิธีทางชีวิทยา

นำค่าเฉลี่ยของแต่ละระดับของปัจจัย มาหาค่าอิทธิพลของปัจจัย และระดับของปัจจัยที่เหมาะสมดังแสดงในตารางที่ 4.4 และ 4.5 โดยพิจารณาจากค่ากิจกรรมเนื้อไชเม่ย��เคสและกิจกรรมเนื้อไชเม่ยเมงกานีส เปอร์ออกซิเดส ตามลำดับ

ตารางที่ 4.4 ค่าอิทธิพลเฉลี่ยที่ได้จากการผลิตเนื้อไชเม่ย��เคสของ *L. strigosus* เมื่อแปรผันปัจจัยที่ระดับต่าง ๆ ของแต่ละการทดลอง

ระดับ	ค่าอิทธิพล			
	เซลโลไบโอด	เบปตัน	แอลแอสพาราจีน	คอปเปอร์ชัลเฟต
1	7,390.369	14,252.311	5,688.273	11,206.747
2	10,693.706	10,525.311	10,584.155	17,338.978
3	18,636.960	11,943.414	20,448.607	8,175.310
ค่าต่ำสุด	7,390.369	10,525.311	5,688.273	8,175.310
ค่าสูงสุด	18,636.960	14,252.311	20,448.607	17,338.978
ค่าอิทธิพล <sup>1</sup>	11246.591	3727.000	14760.334	9163.668
% ค่าอิทธิพล <sup>2</sup>	28.91 %	9.58 %	37.95 %	23.56 %

หมายเหตุ <sup>1</sup> ค่าอิทธิพลเท่ากับผลต่างของค่าต่ำสุดและค่าสูงสุด

<sup>2</sup> % ค่าอิทธิพล ใช้ค่าอิทธิพลรวมเท่ากับ 38897.593

ตารางที่ 4.5 ค่าอิทธิพลเฉลี่ยที่ได้จากการผลิตเอนไซม์แมงกานีสเปอร์ออกซิเดส 'L. strigosus'

เมื่อแปรผันปัจจัยที่ระดับต่าง ๆ ของแต่ละการทดลอง

ระดับ	ค่าอิทธิพล			
	เซลโลไบโอด	เปปตอน	แอลแอสพาราจีน	โคปเปอร์ชัลเฟต
1	882.608	1578.021	606.316	1417.316
2	1292.795	1214.704	1283.279	1966.274
3	2109.864	1492.541	2395.671	901.676
ค่าต่ำสุด	882.608	1214.704	606.316	901.676
ค่าสูงสุด	2109.864	1578.021	2395.671	1966.274
ค่าอิทธิพล <sup>1</sup>	1227.256	363.317	1789.355	1064.598
% ค่าอิทธิพล <sup>2</sup>	27.61 %	8.18 %	40.26 %	23.95 %

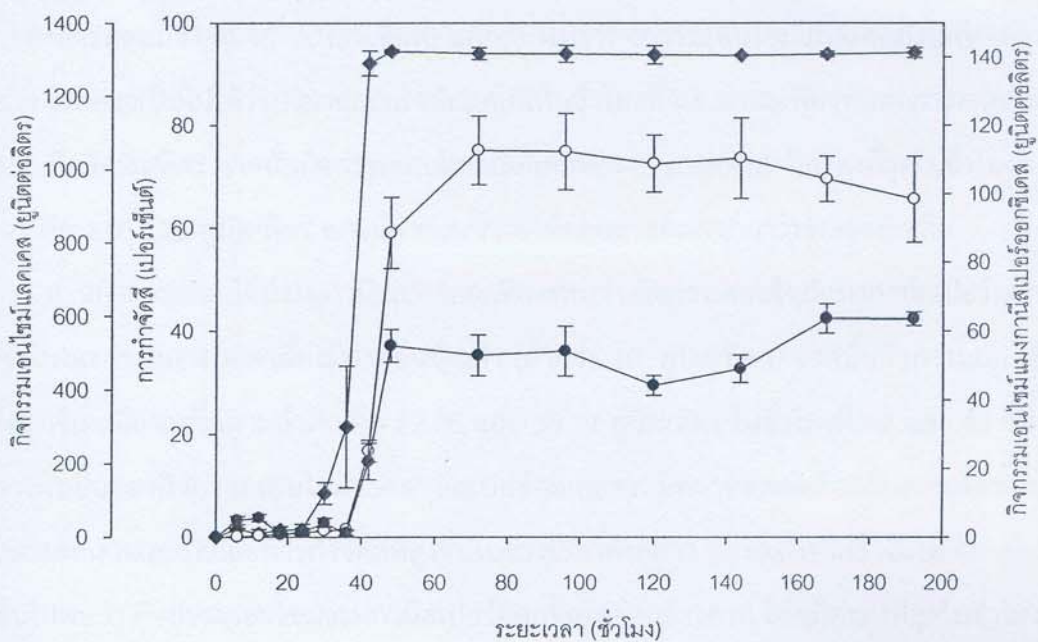
หมายเหตุ <sup>1</sup> ค่าอิทธิพลเท่ากับผลต่างของค่าต่ำสุดและค่าสูงสุด

<sup>2</sup> % ค่าอิทธิพล คำนวณดังสูตรคำนวณในภาคผนวก ค โดยใช้ค่าอิทธิพลรวมเท่ากับ 4444.526

จากการวิเคราะห์อิทธิพลของแต่ละปัจจัยการทดลองจากค่ากิจกรรมเอนไซม์แลคเคสและกิจกรรมเอนไซม์แมงกานีสเปอร์ออกซิเดสในตารางที่ 5 และ 6 พบว่า เมื่อพิจารณาค่ากิจกรรมเอนไซม์แลคเคสสามารถเรียงลำดับร้อยละอิทธิพลของปัจจัยการทดลองจากมากไปน้อยได้ดังนี้ ความเข้มข้นของ L-Asparagine (37.95 เปอร์เซ็นต์) ความเข้มข้นของเซลโลไบโอด (28.91 เปอร์เซ็นต์) ความเข้มข้นของ CuSO<sub>4</sub> (23.56 เปอร์เซ็นต์) และความเข้มข้นของ peptone (9.58 เปอร์เซ็นต์) ตามลำดับ ซึ่งสอดคล้องกับเมื่อพิจารณาค่ากิจกรรมเอนไซม์แมงกานีสเปอร์ออกซิเดสสามารถเรียงลำดับร้อยละอิทธิพลของปัจจัยการทดลองจากมากไปน้อยได้ดังนี้ ความเข้มข้นของ L-Asparagine (40.26 เปอร์เซ็นต์) ความเข้มข้นของเซลโลไบโอด (27.61 เปอร์เซ็นต์) ความเข้มข้นของ CuSO<sub>4</sub> (23.95 เปอร์เซ็นต์) และความเข้มข้นของ peptone (8.18 เปอร์เซ็นต์) ตามลำดับ ดังนั้นจะเห็นได้ว่าความเข้มข้นของ L-Asparagine มีอิทธิพลต่อการผลิตเอนไซม์ย่อยสลายลิกนินทั้ง 2 ชนิด ของ *L. strigosus* มากที่สุด

### 3. การทดสอบการบำบัดน้ำเสียที่ปนเปื้อนลิกนินโดยเอนไซม์ย่อยสลายลิกนินของ *L. strigosus*

จากการศึกษาความสามารถของ *L. strigosus* ในการกำจัดสีของน้ำเสียจากอุตสาหกรรมการผลิตเยื่อและกระดาษ ที่ความเข้มข้นลิกนินเริ่มต้น 500 มิลลิกรัม/ลิตร ในอาหาร Minimal Medium (MM) พบว่า ความเข้มสีเริ่มลดลงตั้งแต่ชั่วโมงที่ 24 ของการทดลอง และลดลงอย่างรวดเร็วตั้งแต่ชั่วโมงที่ 30 ไปจนถึงชั่วโมงที่ 48 ของการทดลอง ซึ่งมีค่าร้อยละการกำจัดสี (% color removal) สูงที่สุด คือ 94.45 เปอร์เซ็นต์ จากนั้นความเข้มสี ค่อนข้างคงที่ตลอดระยะเวลาการทดลองที่เหลือ โดยมีค่าร้อยละการกำจัดสีเท่ากับ 94.19 เปอร์เซ็นต์ ในชั่วโมงที่ 192 ซึ่งเป็นชั่วโมงสุดท้ายของการทดลอง แสดงดังรูปที่ 4.8



รูปที่ 4.8 การกำจัดสีจากลิกนินโดย *L. strigosus* ที่เพาะเลี้ยงในอาหาร MM โดยแสดงความสัมพันธ์ระหว่างร้อยละการกำจัดสี (◆—◆) กิจกรรมเอนไซม์แลคเคส (○—○) และกิจกรรมเอนไซม์แมกนีสเปอร์ออกซิเดส (●—●)

โดยทั่วไปแล้วการลดความเข้มของลิกนินโดยเชื้อราขาวเกิดขึ้นด้วยกลไกหลัก 2 ชนิดคือ การดูดซับทางชีวภาพ (Biosorption) และการย่อยสลายทางชีวภาพโดยเอนไซม์ ดังนั้นเพื่อเป็นการยืนยันว่ากลไกหลักของการลดความเข้มสีของลิกนินโดย *L. strigosus* เป็นการย่อยสลายทางชีวภาพโดยการทำงานของเอนไซม์

ย่อยสลายลิกนิน (Robinson *et al.*, 2001) จึงได้ทำการตรวจวัดกิจกรรมเอนไซม์แคลคेसและกิจกรรมเอนไซม์แมงกานีสเปอร์ออกซิเดสในระหว่างการทดลองการบำบัดสีย้อมของ *L. strigosus*

จากการทดลองพบว่าในช่วง 24 ชั่วโมงแรกของการเพาะเลี้ยงสามารถตรวจพบกิจกรรมเอนไซม์และแคลคेसได้เพียงเล็กน้อย (ต่ำกว่า 10 ยูนิต/ลิตร) อาจเนื่องมาจากเป็นช่วงเวลาของการเจริญและเพิ่มจำนวนเซลล์ของ *L. strigosus* ซึ่งสอดคล้องกับร้อยละการกำจัดสีใน 24 ชั่วโมงแรกของการทดลองที่มีค่าเพียง 1.42 เปอร์เซ็นต์ จากนั้นกิจกรรมเอนไซม์แคลคेसค่อยๆ เพิ่มสูงขึ้นอย่างรวดเร็wtตั้งแต่ชั่วโมงที่ 30 ของการทดลองเป็นต้นไป โดยกิจกรรมเอนไซม์แคลคे�สในชั่วโมงที่ 30 36 42 และ 48 ของการทดลอง มีค่าเท่ากับ 17.11 20.69 234.67 และ 826.56 ยูนิต/ลิตร ตามลำดับ ซึ่งการเพิ่มขึ้นของกิจกรรมเอนไซม์แคลคे�สสอดคล้องกับร้อยละการกำจัดสีที่เพิ่มขึ้นในช่วงเวลาดังกล่าว อย่างไรก็ตามแม้ว่าร้อยละการกำจัดสีจะมีค่าสูงสุดในชั่วโมงที่ 48 ของการทดลอง (94.45 เปอร์เซ็นต์) แต่กลับพบว่ากิจกรรมเอนไซม์แคลคे�สยังไม่ถึงจุดสูงสุดที่ชั่วโมงดังกล่าว โดยอาจเป็นไปได้ว่าปริมาณเอนไซม์แคลคे�สในชั่วโมงที่ 48 น่าจะเพียงพอต่อการลดความเข้มข้นของสีที่ 500 มิลลิกรัม/ลิตร จากนั้นกิจกรรมเอนไซม์แคลคे�สของ *L. strigosus* มีค่าสูงที่สุดในชั่วโมงที่ 72 ของการทดลอง คือ 1,051.25 ยูนิต/ลิตร และมีค่าค่อนข้างคงที่ตลอดระยะเวลาการทดลองที่เหลือ

ส่วนกิจกรรมเอนไซม์แมงกานีสเปอร์ออกซิเดสพบว่า กิจกรรมเอนไซม์แมงกานีสเปอร์ออกซิเดสในช่วง 36 ชั่วโมงแรกของการเพาะเลี้ยงมีค่าค่อนข้างต่ำ (ต่ำกว่า 10 ยูนิต/ลิตร) จากนั้นกิจกรรมเอนไซม์แมงกานีสเปอร์ออกซิเดสมีค่าสูงขึ้นตามลำดับ คือ 22.06 และ 55.77 ยูนิต/ลิตร ในชั่วโมงที่ 42 และ 48 ของการทดลอง ซึ่งการเพิ่มขึ้นของกิจกรรมเอนไซม์แมงกานีสเปอร์ออกซิเดส มีความสอดคล้องกับการเพิ่มขึ้นของกิจกรรมเอนไซม์แคลคेसและร้อยละการกำจัดสีที่สูงขึ้นในช่วงเวลาดังกล่าว และหลังจากชั่วโมงที่ 48 ของการทดลองเป็นต้นไปพบว่า กิจกรรมเอนไซม์แมงกานีสเปอร์ออกซิเดสค่อนข้างคงที่ โดยมีค่าสูงที่สุดในชั่วโมงที่ 168 ของการทดลอง คือ 63.58 ยูนิต/ลิตร

#### 4. การศึกษาการบำบัดสีจากน้ำทึ้งอุตสาหกรรมเยื่อและกระดาษของเชื้อราขาว *L. strigosus* ภายใต้

##### ปฏิกรณ์เยื่อกรอง

ทำการเริ่มต้นระบบ (Start-Up) โดยมีการเดินระบบขานานกัน 3 ถัง ในช่วงเริ่มแรกของการทดลองจะทำการเติมเชื้อราขาว *L. strigosus* ให้สามารถปรับตัวเข้ากับสภาพน้ำเสียก่อน โดยการนำเชื้อราขาว *L. strigosus* ที่ได้มาเจือจากับอัตราส่วนน้ำเสียให้ได้ค่าเอ็มแอลเอสเอสในระบบประมาณ 2,000 มิลลิกรัมต่อลิตร และเติมลงในระบบเป่าอากาศตลอดเวลา เลี้ยงตะกอนแบบต่อเนื่อง (Continuous) โดยใช้น้ำเสียจาก

อุตสาหกรรมเยื่อและกระดาษให้แก่ระบบ เมื่อเลี้ยงเชื้อราขาว *L. strigosus* ดังกล่าวต่อไประยะเวลาหนึ่งจนปริมาณเชื้อราขาว *L. strigosus* สามารถปรับตัวได้ดี จึงทำการควบคุมสัดจีวีที่ 3 5 10 20 30 วัน และระยะเวลาอนันต์ (ไม่มีการดึงสัดจีวออก) โดยจะใช้พารามิเตอร์ที่ควบคุมระบบ คือ อัตราการทิ้งสัดจีวีน่องจากเป็นตัวกำหนดประสิทธิภาพในการบำบัดน้ำเสีย และนำน้ำเสียที่ผ่านการบำบัดมาวิเคราะห์ปริมาณสี และสารอินทรีย์ของน้ำทิ้งภายหลังการบำบัดเพื่อวิเคราะห์ประสิทธิภาพของระบบดังกล่าว

#### 4.1 ประสิทธิภาพการกำจัดสีและสารอินทรีย์ของเชื้อราขาว *L. strigosus* ภายใต้ถังปฏิกรณ์เยื่อกรอง

ผลการศึกษาประสิทธิภาพการกำจัดสารสีและสารอินทรีย์ในน้ำทิ้งจากอุตสาหกรรมเยื่อและกระดาษที่ควบคุมค่าอายุสัดจีวต่างๆ กัน คือ 5 10 20 30 วัน และอายุสัดจีวอนันต์ ภายใต้สภาวะแบบแอลริกเป็นหลัก โดยไม่มีการเจือจางความเข้มข้นของน้ำเสีย (ความเข้มข้นสีเริ่มต้นเท่ากับ 500 หน่วย และซีโอดีเริ่มต้นเท่ากับ 210 มิลลิกรัมต่อลิตร)

จากการทดลองเพื่อหาประสิทธิภาพในการกำจัดสีและสารอินทรีย์ในรูปซีโอดีที่ระบบสามารถรับได้โดยการเพิ่มอายุสัดจีว 5 10 20 30 วัน และค่าอายุสัดจีวอนันต์(ไม่มีการดึงตะกอนออก) ให้ผลการทดลองดังรายละเอียดดังตารางที่ 4.6

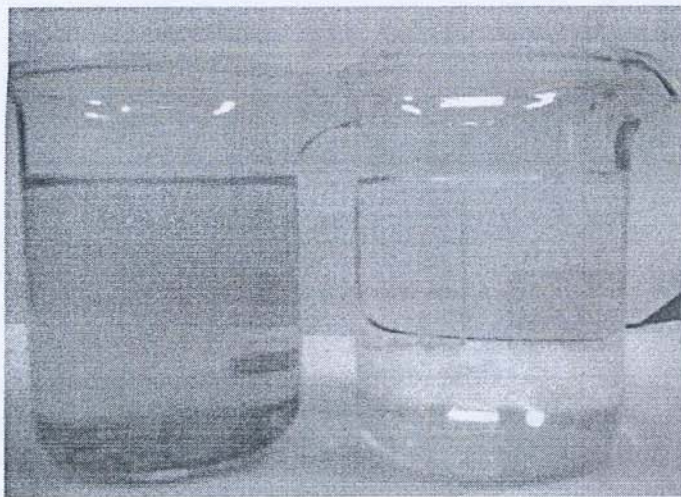
ตารางที่ 4.6 ประสิทธิภาพในการบำบัดสีและสารอินทรีย์เมื่อทำการควบคุมระบบที่ SRT ต่างๆ

SRT (วัน)	COD in (มก./ล.)	COD out (มก./ล.)	% การกำจัด ซีโอดี	สี in (หน่วย)	สี out (หน่วย)	% การกำจัด สี
5	210±10.5	22.9	89.1	500±20.0	72.5	85.5
10		16.2	92.3		59.0	88.2
20		41.4	80.3		56.0	88.8
30		36.3	82.7		49.5	90.1
อนันต์		7.2	96.6		33.5	93.3

จากตารางที่ 4.6 กรณีเริ่มต้นระบบนำตัวอย่างมีค่าซีโอดีเฉลี่ย  $210\pm10.5$  มิลลิกรัมต่อลิตร ควบคุมที่ค่าอายุสัดจีว 5 10 20 30 วันและอายุอนันต์ ตามลำดับ โดยหลังจากผ่านระบบนำแพร่ผ่านเมมเบรนมีค่าซีโอดีเฉลี่ยเท่ากับ 22.9 16.2 41.4 36.3 และ 7.2 มิลลิกรัมต่อลิตร ตามลำดับ คิดเป็นประสิทธิภาพการกำจัดซีโอดีเฉลี่ยร้อยละ 89.1 92.3 80.3 81.2 82.7 และ 96.6 ตามลำดับ จะเห็นได้ว่าทุกๆ การทดลองให้

ประสิทธิภาพในการกำจัดซีโอดีที่ไม่แตกต่างกันอย่างมีนัยสำคัญ โดยประสิทธิภาพโดยรวมในการกำจัดมากกว่าร้อยละ 80.0 และในน้ำทึบภายในห้องการบำบัดด้วยถังปฏิกรณ์เยื่อกรองจะมีค่าสีเฉลี่ยเท่ากับ 72.5-59.0 56.0 49.5 และ 33.5 มิลลิกรัมต่อลิตร ตามลำดับ คิดเป็นประสิทธิภาพการกำจัดสีได้เฉลี่ยมากกว่าร้อยละ 85.0 โดยเมื่อควบคุมอายุสลัดจ์ที่อายุอนันต์จะมีประสิทธิภาพในการบำบัดสารอินทรีย์ในรูปของซีโอดีและสีของน้ำทึบสูงสุด

จากรูปที่ 4.9 จะสังเกตสีของน้ำเสียจากอุตสาหกรรมเยื่อและกระดาษที่นำมาใช้ในการทดลองเริ่มต้นซึ่งจะมีลักษณะสีเหลือง ชุ่น มีปริมาณของแข็งแขวนลอยอยู่มาก แต่เมื่อน้ำนำเสียมาผ่านกระบวนการบำบัดน้ำเสียด้วยเชื้อราขาว *L. strigosus* ภายในถังปฏิกรณ์เยื่อกรองที่ใช้เมมเบรนที่มีขนาดรูพรุน 0.4 ไมครอน ผลให้ลักษณะสมบัติของน้ำที่ผ่านการบำบัดแล้วจะมีลักษณะใส ปริมาณของแข็งแขวนลอยหลุดปนออกมากับน้ำน้อยมากหรือแทบจะไม่มีของแข็งปนหลุดออกมาก ดังนั้นการบำบัดน้ำทึบจากอุตสาหกรรมเยื่อและกระดาษด้วยเชื้อราขาว *L. strigosus* ภายในถังปฏิกรณ์เยื่อกรองจะส่งผลให้น้ำทึบที่ผ่านการบำบัดได้มีคุณภาพได้มาตรฐานน้ำทึบ

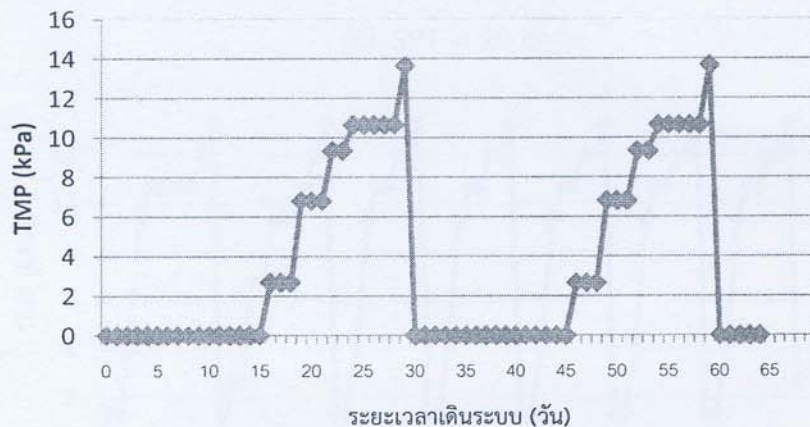


รูปที่ 4.9 ลักษณะของน้ำเสียก่อน (a) และหลังการบำบัด (b) ด้วยเชื้อราขาว *L. strigosus* ภายในถังปฏิกรณ์เยื่อกรองที่ใช้เมมเบรนที่มีขนาดรูพรุน 0.4 ไมครอน

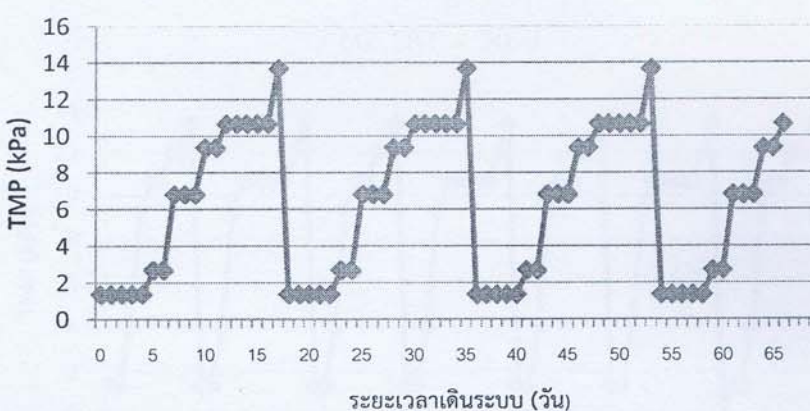
สำหรับการประยุกต์ใช้ถังปฏิกรณ์เยื่อกรองร่วมกับการบำบัดน้ำเสียโดย เชื้อราขาว *L. strigosus* การใช้เมมเบรนสำหรับกรองเชื้อราและน้ำทึบที่ผ่านการบำบัดแล้วในระยะแรกจะเป็นเมมเบรนที่ไม่ได้ผ่านการใช้งานมาก่อน โดยเมื่อใช้งานกรองน้ำเสียภายในถังปฏิกรณ์เยื่อกรองเมมเบรนจะทำให้เกิดการอุดตัน (fouling) ที่พิเศษของเมมเบรนเพิ่มมากขึ้นส่งผลให้ค่าความดันคร่อมเมมเบรน (Transmembrane Pressure TMP)

เพิ่มขึ้นตามระยะเวลาในการเดินระบบ ซึ่งในการศึกษาได้มีการควบคุมไม่ให้เมมเบรนมีความดันคร่อมเกิน 15 kPa ซึ่งหากเกินกว่านี้แล้วจะทำให้เมมเบรนอุดตัน และปั๊มน้ำทำงานหนัก จึงต้องมีการนำเมมเบรนออกมาล้างทำความสะอาดด้วยสารทำความสะอาดด้วยสารละลาย NaOCl เป็นช่วงๆ

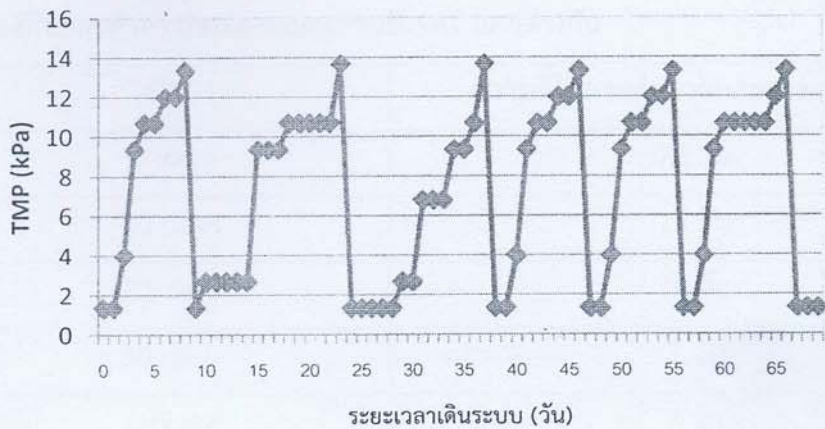
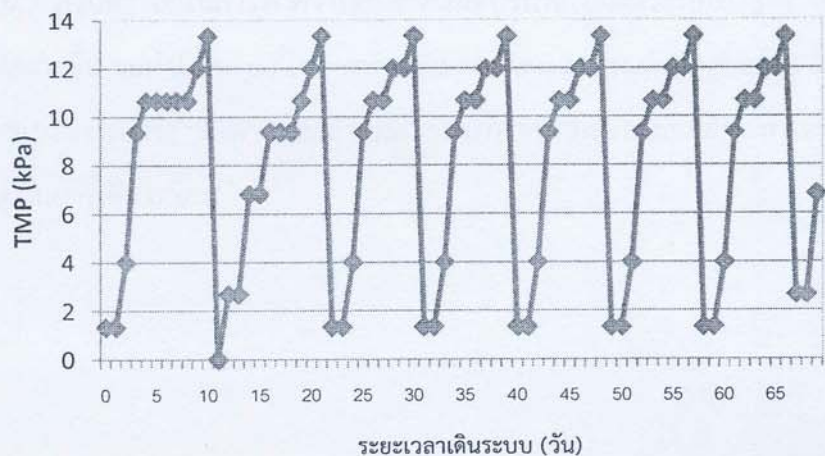
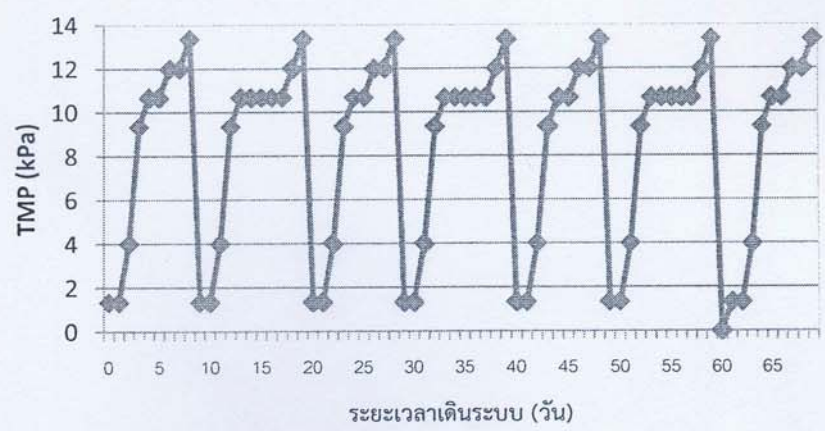
รูปที่ 4.10 แสดงผลของความดันคร่อมเมมเบรนที่ SRT แตกต่างกันในช่วงที่ระบบเข้าสู่สภาวะสมดุล แล้ว ซึ่งในแต่ละการทดลองจะเห็นการเพิ่มขึ้นของ TMP ที่แตกต่างกัน จากผลการทดลองดังกล่าวจะทำให้สามารถกำหนดระยะเวลาในการทำความสะอาดของเมมเบรนในระบบได้ดังตารางที่ 4.7



(g) SRT = 5 d



(h) SRT = 10 d

(ค)  $SRT = 20\text{ d}$ (ง)  $SRT = 30\text{ d}$ (จ)  $SRT = \text{Infinity}$ 

รูปที่ 4.10 ผลของความดันคร่อมเมมเบรน (TMP) ที่ SRT แตกต่างกัน

ตารางที่ 4.7 ความถี่ในการทำความสะอาดเมมเบรนที่ SRT แตกต่างกัน

SRT	ความถี่ในการทำความสะอาดเมมเบรน
5 days	28 วัน
10 days	18 วัน
20 days	10 วัน
30 days	7 วัน
Infinity	7 วัน

ตารางที่ 4.7 สรุปความถี่ในการทำความสะอาดเมมเบรนที่การเดินระบบที่ SRT แตกต่างกัน จะเห็นว่ายิ่ง SRT ยาวนานมากขึ้น จะทำให้ความถี่ในการทำความสะอาดเมมเบรนต้องสูงขึ้นด้วย โดยเป็นปัจจัยที่ต้องคำนึงถึงในการออกแบบระบบจริง ซึ่งหากต้องนำเมมเบรนมาทำความสะอาดบ่อยๆ ทำให้เกิดความไม่สะอาด และเกิดค่าใช้จ่ายสูงในการเดินระบบ

## บทที่ 5

### สรุปผลการวิจัย

- (1) การเจริญเติบโตและช่วงเวลาของการผลิตเอนไซม์ย่อยสลายลิกนินของ *Lentinus strigosus* ในอาหาร Minimal Medium (MM) ที่มีกูลูโคสและ yeast extract เป็นแหล่งคาร์บอนและไนโตรเจน ตามลำดับพบว่า กิจกรรมเอนไซม์แลคเคสและเอนไซม์แมงกานีสเปอร์ออกซิเดสมีค่าสูงที่สุด คือ 1,560.0 และ 77.4 ยูนิต/ลิตร ตามลำดับ
- (2) เอนไซม์แลคเคสและเอนไซม์แมงกานีสเปอร์ออกซิเดสเป็นผลิตภัณฑ์ที่มีศักยภาพ แหล่งสารร้างในช่วงการเจริญที่มีศักยภาพ (Secondary growth phase) ของ *L. strigosus* เมื่อศึกษาชนิดของแหล่งคาร์บอน และไนโตรเจนที่เหมาะสมต่อการผลิตเอนไซม์แลคเคสและเอนไซม์แมงกานีสเปอร์ออกซิเดสของ *L. strigosus* พบว่า เชลโลไบโอดีสเป็นแหล่งคาร์บอนที่ให้ค่ากิจกรรมเอนไซม์ทั้ง 2 ชนิด สูงที่สุด คือ 6,947.26 และ 409.49 ยูนิต/ลิตร ตามลำดับ และ L-Asparagine เป็นแหล่งไนโตรเจนที่ให้ค่ากิจกรรมเอนไซม์ทั้ง 2 ชนิด สูงที่สุด คือ 4,818.60 และ 241.11 ยูนิต/ลิตร ตามลำดับ
- (3) องค์ประกอบของอาหาร Minimal Medium ที่เหมาะสมต่อการผลิตเอนไซม์ย่อยสลายลิกนินของ *L. strigosus* โดยแปรผันปัจจัย 4 ปัจจัย โดยอาศัยการออกแบบการทดลองด้วยวิธีทางคณิตศาสตร์ ซึ่งใช้ orthogonal array แบบ L9 (3<sup>4</sup>) พบว่า องค์ประกอบของสารอาหารที่เหมาะสม ได้แก่ เชลโลไบโอดีส 15 กรัม/ลิตร Peptone 0.3125 กรัม/ลิตร L-Asparagine 1.2500 กรัม/ลิตร และ CuSO<sub>4</sub> 0.002 กรัม/ลิตร โดยมีค่ากิจกรรมเอนไซม์แลคเคสและเอนไซม์แมงกานีสเปอร์ออกซิเดสเท่ากับ 33,955.83 และ 3,764.57 ยูนิต/ลิตร ตามลำดับ
- (4) ความสามารถของ *L. strigosus* ในการกำจัดสีของน้ำเสียจากอุตสาหกรรมการผลิตเยื่อและกระดาษ ที่ความสามารถเริ่มต้น 500 มิลลิกรัม/ลิตร ในอาหาร Minimal Medium (MM) พบว่าความสามารถเข้มสีเริ่มลดลงตั้งแต่ช่วงโมงที่ 24 ของการทดลอง และลดลงอย่างรวดเร็วตั้งแต่ช่วงโมงที่ 30 ไปจนถึงช่วงโมงที่ 48 ของการทดลอง ซึ่งมีค่าร้อยละการกำจัดสี (% color removal) สูงที่สุด คือ 94.45 เปอร์เซ็นต์ จากนั้นความสามารถเข้มสี ค่อนข้างคงที่ตลอดระยะเวลาการทดลองที่เหลือ โดยมีค่าร้อยละการกำจัดสีเท่ากับ 94.19 เปอร์เซ็นต์ ในช่วงโมงที่ 192

(5) การประยุกต์ใช้เชื้อราชา *L. strigosus* ในถังปฏิกรณ์เยื่อกรอง พบว่า เมื่อควบคุมน้ำด้วยร่างที่เข้าสู่ระบบให้มีค่าซีโอดีเฉลี่ย  $210 \pm 10.5$  มิลลิกรัมต่อลิตร และความเข้มข้นของสีในน้ำเสียเท่ากับ  $500 \pm 20.0$  หน่วย เมื่อควบคุมที่ระบบค่าอายุสลัด  $5, 10, 20, 30$  วันและอายุอนันต์ ตามลำดับ พบว่า ประสิทธิภาพในการบำบัดสารอินทรีย์ในรูปซีโอดีมีประสิทธิภาพมากกว่าร้อยละ 80.0 และ ประสิทธิภาพการกำจัดสีของน้ำทึบได้เฉลี่ยมากกว่าร้อยละ 85.0 โดยเมื่อควบคุมอายุสลัดที่อายุ อนันต์จะมีประสิทธิภาพในการบำบัดสารอินทรีย์ในรูปของซีโอดีและสีของน้ำทึบสูงสุด

(6) การใช้ถังปฏิกรณ์เยื่อกรองจำเป็นต้องพิจารณาความถี่ในการทำความสะอาดเมมเบรนที่การเดินระบบ ที่ SRT แตกต่างกัน จากผลการทดลองจะเห็นว่าเมื่อควบคุมระบบให้มี SRT ยาวนานมากขึ้น จะทำให้ ความถี่ในการทำความสะอาดเมมเบรนต้องสูงขึ้นด้วย

## บทที่ 6

### เอกสารอ้างอิง

Adler, E. 1997. Lignin chemistry-past, present and future. *Wood Sci Technol.* 11: 169-218.

Arora, D.S. and P.K. Gill. 2001. Effect of various media and supplements on laccase production by some white rot fungi. *Bioresour. Technol.* 77: 89-91.

Banat, M.I., P. Nigam, D. Singh and R. Marchant. 1996. Microbial decolorization of textile dye containing effluents. *Bioresour. Technol.* 58: 217-227.

Borchert, M. and J.A. Libra. 2001. Decolorization of reactive dyes by the white rot fungus *Trametes versicolor* in sequencing batch reactors. *Biotechnol. Bioeng.* 75: 313-321.

Eggert, C., U. Temp and K.-E.-L. Eriksson. 1996. Laccase-producing white-rot fungus lacking lignin peroxidase and manganese peroxidase: role of laccase in lignin biodegradation, pp. 130-150. In T.W. Jeffries and L. Viikari, eds. *Enzymes for Pulp and Paper Processing*. American Chemical Society, Washington, D.C.

Eriksson, K.E., R.A. Blanchette and P. Ander. 1990. *Microbial and enzymatic degradation of wood and wood components*. Springer-Verlag, Berlin.

Golovleva, L.A., A.A. Leontievsky, O.V. Maltseva and N.M. Myasoedova. 1993. Ligninolytic enzymes of the fungus *Panus tigrinus*: Biosynthesis, purification and properties. *J. Biotechnol.* 30: 71-77.

Haglund, C. 1999. Biodegradation of xenobiotic compounds by the white-rot fungus *Trametes trogii*. Master s degree project, Uppsala University.

Hatakka, A., A. Kantelin, A. Tervila-Wilo and A. Viikari. 1987. Production of ligninases by *Phlebia radiata* in agitated cultures, pp. 141-160. In: Odier E ed. *Lignin Enzymatic and Microbial Degradation*. INRA Publications, Paris.

Hatakka, A. 1994. Lignin-modifying enzymes from selected white rot fungi-production and role in lignin degradation. *FEMS Microbiol. REV.* 13: 125-135.

Hernández, M., Rodríguez, M.I. Pérez, A.S. Ball and M.E. Arias. (1997), <sup>13</sup>C NMR cross polarization and magic angle spinning (CPMAS) and gas chromatography/mass spectrometry analysis of the products from a soda pulp mill effluent decolourised by two *Streptomyces* strains. *Appl. Microbiol. Biotechnology*. 47(3): 272-278.

Kim, T.H., Y. Lee., J. Yang., B. Lee., C. Park and S. Kim. (2004), Decolorization of dye solutions by a membrane bioreactor (MBR) using white-rot fungi. *Desalination*. 168: 287-293.

Kirk, T.K. and R.L. Farrell. 1987. Enzymatic combustion: The microbial degradation of lignin. *Annu. Rev. Microbiol.* 41: 465-505.

Lacorte, S., A. Latorre, D. Barceló, A. Rigol, A. Malmqvist and T. Welander. (2003), Organic compounds in paper-mill process waters and effluents. *Trends in Analytical Chemistry*. 22(10): 212-221.

Maltseva, O.V., M.L. Niku-Paavola, A.A. Leontievsky, N.M. Myasoedova and L.A. Golovleva. 1991. Ligninolytic enzymes of the white rot fungus *Panus tigrinus*. *Biotechnology and Applied Biochemistry*. 13: 291-302.

Mohan, S.V., N.C. Rao, K.K. Prasad and J. Karthikeyan. 2002. Treatment of simulated Reactive Yellow 22 (azo) dye effluents using *Spirogyra* species. *Waste Management* 22: 575-582.

Moldes, D., S.R. Couto, C. Cameselle and M.A. Sanroman. 2003. Study of the degradation of dyes by MnP of *Phanerochaete chrysosporium* produced in a fixed-bed bioreactor. *Chemosphere*. 51: 295-303.

Nerud, F., Z. Zouchova and Z. Misurcova. 1991. Ligninolytic properties of different white-rot fungi. *Biotechnology Letters*. 13: 657-660.

Niku-Paavola, M.L., E. Karhunen, P. Salola and V. Raunio. 1988. Ligninolytic enzymes of the white-rot fungus *Phlebia radiata*. *J. Biochemistry*. 354: 877-884.

Orth, A.B., D.J. Royse and M. Tien. 1993. Ubiquity of lignin-degrading peroxidases among various wood-degrading fungi. *Appl Environ Microbiol*. 12: 4017-4023.

P. Vaithanomsat, W. Apiwattanapiwat , T. Kreetachat and P. Siriacha. (2006), Comparison of White-Rot Fungi and Ozone for Decolorization of Wastewater from Pulp and Paper Industry, Proceeding of the 4<sup>th</sup> International Conference on Oxidation Technologies for Water and Wastewater Treatment, 27-29 August 2006, Goslar, Germany.

Palmieri, G., G. Cennamo and G. Sammia. 2005. Remazol Brilliant Blue R decolorization by the fungus *Pleurotus ostreatus* and its oxidative enzymatic system. *Enzyme Microb. Technol.* 36: 17-24.

Radha, K.V., I. Regupathi, A. Arunagiri and T. Muregesan. 2005. Decolorization studies of synthetic dyes using *Phanerochaete chrysosporium* and their kinetics. *Process Biochem.* 40: 3337-3345

Ralph, J.P., D.E.A. Catcheside. 2002. Biodegradation by white-rot fungi. In: H.D. Osiewacz, ed. *The Mycota, Industrial Application*. 15: 303-326.

Revankar, M.S. and S.S. Lele. 2006. Increased production of extracellular laccase by the white rot fungus *Coriolus versicolor* MTCC 138. *Microbiol & Biotechnol*. 22: 921-926.

Swamy, J. and J.A. Ramsay. 1999. The evaluation of white rot fungi in the decoloration of textile dyes. *Enzyme Microb. Technol.* 24: 130-137.

T. Kreetachat, M. Damrongsri, V. Punsuwon, P. Vaithanomsat, C. Chiemchaisri and C. Chomsurin. (2007), Effects of ozonation process on lignin-derived compounds in pulp and paper mill effluents, *Journal of hazardous materials*. 142: 250 -257.

T. Kreetachat, M. Damrongsri and P. Vaithanomsat. (2006), Effect of Ozone on Lignin-derived Compounds in Pulp and Paper Mill Effluent, *Proceeding of the 4<sup>th</sup> International Conference on Oxidation Technologies for Water and Wastewater Treatment*, 27-29 August 2006, Goslar, Germany.

Tak-Hyun Kim, Yuri Lee, Jeongmok Yang, Byunghwan Lee, Chulhwan Park and Sangyong Kim. (2004), Decolorization of dye solutions by a membrane bioreactor (MBR) using white-rot fungi, *Desalination* 168: 287-293.

Teerapatsakul, C., R. Parra, C. Bucke and L. Chitradon. 2007. Improvement of laccase production from *Ganoderma* sp. KU-Alk4 by medium engineering. *J. Microbiol Biotechnol.* 23: 1519-1527.

Tein, M. and K. Kirk. 1984. Lignin-degrading enzyme from *Phanerochaete chrysosporium*: Purification, characterization, and catalytic properties of a unique H<sub>2</sub>O<sub>2</sub>-requiring oxygenes. *Proc. Natl. Acad. Sci. USA.* 81: 2280-2284.

Vares, T., M. Kalsi and A. Hatakka. 1995. Lignin peroxidase, manganese peroxidase and other ligninolytic enzyme produced by *Phlebia radiata* during solid state fermentation of wheat straw. *Appl. Environ. Microb.* 61: 3515-3520.

Ward, G., Y. Hadar and C.G. Dosoretz. 2004. The biodegradation of lignocellulose by white rot fungi, pp. 393-407. In D.K. Arora, P.D. Bridge and D. Bhatnagar, eds. *Fungal Biotechnology in Agricultural, Food and Environmental Applications*. CRC Press, London.

Wesenberg, D., I. Kyriakides and S.N. Agathos. 2003. White-rot fungi and their enzymes for the treatment of industrial dye effluents. *Biotechnol. Adv.* 22: 161-187.